

1ª EDIÇÃO

Grafos e Inteligência Artificial

Uma Fundamentação Teórica e
Aplicada para Orquestração de
Sistemas

KALLEBE LINS

Grafos e Inteligência Artificial

Uma Fundamentação Teórica e Aplicada para Orquestração de
Sistemas

Kallebe Lins

Dados Internacionais de Catalogação na Publicação (CIP)

(Câmara Brasileira do Livro, SP, Brasil)

Lins, Kallebe

Grafos e inteligência artificial [livro eletrônico] : uma fundamentação teórica e aplicada para orquestração de sistemas / Kallebe Lins. – 1. ed. – Brasília : Ed. do Autor, 2025. PDF

ISBN 978-65-01-66708-9

1. Aplicação de programa - Desenvolvimento
2. Governança
3. Grafos - Teoria
4. Inteligência artificial
- I. Título.

25-298030.0

CDD-006.3

Índices para catálogo sistemático:

1. Inteligência artificial : Ciência da computação 006.3

Maria Alice Ferreira - Bibliotecária - CRB-8/7964

Resumo

Este livro apresenta uma fundamentação teórica e aplicada para a orquestração de sistemas de Inteligência Artificial em grafos. Partindo das limitações de pipelines lineares (chains), demonstra-se formalmente que grafos (DAGs) oferecem maior expressividade, paralelismo e governança. São discutidos teoremas de expressividade, execução como trilhas e caminho crítico, álgebra de grafos, processos estocásticos (Markov), resiliência probabilística e integração com Graph Neural Networks. Casos práticos, métricas e guias de topologia consolidam a aplicação em ambientes de produção.

Palavras-chave: grafos, orquestração, IA, DAG, makespan, governança, GNN, Markov

Abstract

This book provides a theoretical and applied foundation for orchestrating Artificial Intelligence systems as graphs. Starting from the limitations of linear pipelines (chains), it formally shows that graphs (DAGs) offer higher expressiveness, parallelism, and governance. It covers expressivity theorems, execution as paths and critical path, graph algebra, stochastic processes (Markov), probabilistic resilience, and integration with Graph Neural Networks. Practical cases, metrics, and topology guides consolidate adoption in production environments.

Keywords: grafos, orquestração, IA, DAG, makespan, governança, GNN, Markov

Créditos Editoriais

- Autor: Kallebe Lins
 - Editora: Publicação Independente
 - Edição: 1ª edição
 - Local e data: Brasil, 2025
 - Direitos autorais: © 2025 Kallebe Lins — CC BY 4.0
 - Diagramação e capa: Autor
 - Contato: kallebe.santos@gmail.com
 - ISBN: 978-65-01-66708-9
 - ORCID: 0009-0008-5026-0608
-

Como Citar

Lins, K. (2025). Grafos e inteligência artificial: uma fundamentação teórica e aplicada para orquestração de sistemas. Brasília: Ed. do Autor, 1. ed., 2025. ISBN 978-65-01-66708-9.

Licença

Este livro é disponibilizado sob a licença Creative Commons Atribuição 4.0 Internacional (CC BY 4.0). Você pode compartilhar e adaptar, desde que atribua o crédito apropriado. Texto completo: <https://creativecommons.org/licenses/by/4.0/>

Errata

Envie correções e sugestões abrindo issues no repositório do projeto: <https://github.com/kallebelins/graph-ia-book>.

As erratas reportadas e confirmadas serão listadas nesta seção.

Guia do Leitor

O Desafio da Complexidade em IA

A Inteligência Artificial está em rápida expansão. Modelos de linguagem ([Large Language Models \(LLMs\)](#)), modelos treinados em larga escala para compreender e gerar texto), sistemas multimodais (que integram diferentes tipos de dados, como texto, imagem e áudio) e agentes inteligentes (programas que percebem o ambiente, tomam decisões e agem de forma autônoma para atingir objetivos) estão sendo aplicados em áreas como saúde, finanças, turismo, direito e educação. No entanto, a forma como esses sistemas são **orquestrados** ainda é um grande desafio.

Hoje, a maioria das arquiteturas é baseada em **pipelines lineares** (*chains*), em que cada etapa depende rigidamente da anterior. Esse modelo, embora útil em protótipos simples, apresenta sérias limitações:

- **Fragilidade** diante de falhas;
- **Baixa escalabilidade**;
- **Dificuldade de auditoria e explicabilidade**;
- **Incapacidade de lidar com multimodalidade** (texto, voz, imagem, dados estruturados);
- **Ausência de governança granular**.

Se quisermos que a IA seja **robusta, confiável e regulada**, precisamos ir além da linearidade.

A Tese Central

Os grafos são a arquitetura natural e necessária para a próxima geração de sistemas de Inteligência Artificial.

Enquanto pipelines lineares são trilhos fixos, os **grafos funcionam como mapas flexíveis**, permitindo múltiplos caminhos, decisões dinâmicas, resiliência a falhas, integração multimodal e auditabilidade.

Em termos formais:

- **Todo pipeline linear pode ser representado como um grafo**,
 - **Mas nem todo grafo pode ser reduzido a um pipeline linear**. Ou seja, grafos **contêm e superam** os chains.
-

O Que o Leitor Vai Encontrar

Este livro apresenta um percurso em três dimensões:

1. Teórica e Formal

- Provas matemáticas da superioridade dos grafos.
- Definições rigorosas (grafos, DAGs, chains).
- Comparações de expressividade e complexidade.

2. Técnica e Aplicada

- Exemplos em turismo, finanças e saúde.
- Códigos em .NET integrados ao Semantic Kernel e Semantic Kernel Graph.
- Métricas de desempenho e resiliência.

3. Estratégica e Crítica

- Discussão sobre governança e segurança.
 - Limitações e trade-offs (compensações entre critérios, como custo vs desempenho) dos grafos.
 - Tendências futuras: grafos dinâmicos, adaptativos e cognitivos.
-

Por Que Isso Importa

- **Gestores** entenderão que **grafos oferecem governança e auditabilidade**, elementos cruciais para conformidade regulatória e confiança dos usuários.
 - **Engenheiros** verão como **modularidade e paralelismo reduzem custos e aumentam eficiência**.
 - **Pesquisadores** encontrarão aqui uma **base teórica sólida** para expandir o uso de grafos como modelo cognitivo da IA.
-

Como Ler Este Livro

Este livro foi escrito para ser acessível a diferentes públicos:

- Leitores curiosos encontrarão explicações em linguagem direta. Sempre que possível, apresentamos uma visão “Em termos simples” antes da formulação técnica.
- Profissionais e pesquisadores encontrarão definições formais, fórmulas e referências mais profundas.

Sugestões de leitura:

- Se você está chegando agora, comece pelos capítulos iniciais e consulte o glossário sempre que surgir um termo novo.

- Se o seu foco é engenharia e prática, priorize as seções com exemplos, métricas e topologias de orquestração.
- Se busca fundamentos, consulte as provas e modelos formais nas Partes V–VII.

Símbolos e notação:

- Usamos $|V|$ e $|E|$ para o número de nós e arestas, respectivamente.
- A matriz de adjacência A^ℓ indica alcançabilidade em ℓ passos; quando dissermos “aritmética booleana”, usamos operações lógicas em vez de somas reais.
- Makespan refere-se ao tempo total de conclusão do fluxo; o “caminho crítico” é o limitante inferior desse tempo.

Com isso, você pode alternar entre a intuição e o formalismo de acordo com sua necessidade.

Como Reproduzir os Relatórios de Benchmark

Todos os benchmarks apresentados neste livro são reproduzíveis. O código-fonte completo está disponível no repositório:

<https://github.com/kallebelins/graph-ia-book>

Pré-requisitos

- .NET 8.0 ou superior
- PowerShell (Windows) ou Bash (Linux/macOS)

Configuração Inicial

1. Clone o repositório:

```
git clone https://github.com/kallebelins/graph-ia-book.git
cd graph-ia-book
```

2. Restaure as dependências:

```
dotnet restore
```

3. Execute um benchmark de exemplo:

```
# PowerShell
./Scripts/run.ps1 -chapter 1 -mode b

# Bash
bash Scripts/run.sh 1 b
```

Estrutura dos Resultados

Os resultados são salvos em `src/Benchmark/results/` com nomenclatura padronizada: - `cap{N}_benchmark_{tipo}-summary.json|.md` - Dados principais
- `cap{N}theory{aspecto}-summary.json|.md` - Validações teóricas

Parâmetros dos Scripts

- `-chapter N` ou `N`: Capítulo a executar (1-25)
 - `-mode b`: Benchmark A/B (chain vs graph)
 - `-mode c`: Apenas chain (Semantic Kernel)
 - `-mode g`: Apenas graph (Semantic Kernel Graph)
-

Conclusão

A orquestração linear foi suficiente para a fase inicial da IA. Mas à medida que sistemas se tornam **mais complexos, multimodais e críticos**, a linearidade se transforma em um gargalo.

Os grafos representam o futuro inevitável da Inteligência Artificial:

- **mais robusta,**
- **mais auditável,**
- **mais adaptativa,**
- **mais humana em sua cognição.**

Este livro é, portanto, um convite:

- **aos engenheiros**, para adotarem novas práticas;
 - **aos gestores**, para compreenderem o impacto estratégico;
 - **aos acadêmicos**, para aprofundarem pesquisas neste campo;
 - **à sociedade**, para enxergar uma IA mais confiável, segura e responsável.
-

Lista de Figuras

2.1	Chain linear (esquerda) vs. Grafo com ramificação e convergência (direita)	8
3.1	Grafo dirigido simples (vértices, arestas e aciclicidade/DAG)	13
4.1	Decisão condicional seguida de convergência (merge) em orquestração	18
5.1	Explosão de estados em chain (combinações independentes)	24
5.2	Convergência em grafo reduzindo o espaço efetivo de estados	24
6.1	Trilha de auditoria: anotações por aresta (confiança, política, latência)	28
7.1	Fan-out paralelo com agregador (estrela com merge)	34
8.1	Fallback: alternativa v'_2 quando v_2 falha	39
9.1	Fusão multimodal: texto, imagem e áudio convergindo em nó de decisão	45
10.1	Governança em grafo: política de guarda e anonimização com desvio seguro	50
11.1	Diamante com gargalo em nó de merge (trade-offs e caminho crítico)	57
12.1	Concierge de viagens: subgrafos de hotéis, clima e eventos com fusão	61
16.1	Chains: caminho único e grau máximo 1	89
16.2	DAG: ramificação e convergência (mais expressivo que chain)	90
17.1	DAG em camadas e execução por ordem topológica	95
18.1	Adjacência e incidência: ramificação e convergência em DAG	98
19.1	AFND induzido por grafo rotulado: exemplo simples	105
20.1	Propriedades decidíveis em DAG vs indecidíveis com computação arbitrária	109
21.1	Cadeia de Markov com estado absorvente e transições entre transitórios	113
22.1	Resiliência: caminhos alternativos convergindo em agregador OR	116
23.1	Agregador com alta betweenness e diâmetro curto	122
24.1	Diamante com agregação determinística (ex.: max, votação, média ponderada)	126
26.1	Piloto Graph Neural Network (GNN): pesos previstos orientando a escolha de caminho	133

Lista de Tabelas

2.1	Resumo de latência vs. custo (50 iterações)	8
2.2	Benchmark por modo (30 iterações por modo)	8
2.3	Parâmetros teóricos e limites (makespan e caminho crítico)	9
3.1	Benchmark A/B de latência por modo (30 iterações por modo)	14
3.2	Parâmetros teóricos de expressividade e estrutura	14
4.1	Benchmark A/B de latência por modo (50 iterações)	18
4.2	Agregado de latência de referência	19
4.3	Parâmetros de corretude do merge determinístico	19
5.1	Benchmark A/B de latência por modo (30 iterações por modo)	25
5.2	Parâmetros teóricos: explosão de estados e convergência	25
6.1	Benchmark A/B de latência por modo (30 iterações por modo)	29
6.2	Parâmetros teóricos: explicabilidade e trilhas de auditoria	29
7.1	Benchmark A/B de latência por modo (30 iterações por modo)	34
7.2	Parâmetros teóricos: caminho crítico e paralelismo (fan-out/fan-in)	34
8.1	Taxa de sucesso com fallback (Graph, SKG)	39
8.2	Latência p95/p99 com fallback (Graph, SKG)	39
8.3	Comparação A/B: chain com falha injetada vs grafo com fallback	40
8.4	Teoria vs medido: sucesso composto sob fallback	40
9.1	Benchmark A/B de latência por modo (24 iterações por modo)	46
9.2	Parâmetros teóricos: fusão multimodal e makespan aproximado	46
10.1	Benchmark A/B de latência por modo (24 iterações por modo)	51
10.2	Parâmetros teóricos: governança por nó e desvio seguro	51
11.1	Comparação formal entre chains e grafos (critérios e evidências)	56
11.2	Benchmark A/B de latência por modo (30 iterações por modo)	58
11.3	Parâmetros teóricos: makespan do diamante	58
12.1	Turismo — latência por modo (30 iterações por modo)	65
12.2	Finanças — latência por modo (30 iterações por modo)	65
12.3	Saúde — latência por modo (30 iterações por modo)	65
12.4	Parâmetros teóricos por domínio	66
13.1	Benchmark A/B de latência por modo (30 iterações por modo)	70
13.2	Parâmetros teóricos: autonomia estrutural e aciclicidade	70

14.1 Chain vs Graph — latência por modo (50 iterações por modo)	78
14.2 Indicadores de ganho vs custo	78
14.3 Latência agregada do cenário simplificado	78
15.1 Parâmetros da regra dinâmica de adaptação por latência	83
16.1 Benchmark A/B de latência por modo (30 iterações por modo)	90
16.2 Parâmetros teóricos: expressividade e redução com k módulos	90
17.1 Benchmark A/B de latência por modo (30 iterações por modo)	96
17.2 Parâmetros teóricos: caminho crítico	96
18.1 Benchmark A/B de latência por modo (30 iterações por modo)	100
18.2 Parâmetros teóricos: adjacência, A^2 e aciclicidade	100
19.1 Benchmark A/B de latência por modo (20 iterações por modo)	105
19.2 Parâmetros teóricos: regularidade em DAGs rotulados	105
20.2 Baseline provisório de observações	110
21.1 Benchmark A/B de latência por modo (30 iterações por modo)	114
21.2 Parâmetros teóricos: cadeia de Markov com estados absorventes	114
22.1 Benchmark A/B de latência por modo (30 iterações por modo)	118
22.2 Parâmetros teóricos: p_{total} e tempo esperado (seq vs OR)	118
23.1 Benchmark A/B de latência por modo (30 iterações por modo)	124
23.2 Parâmetros teóricos e métricas estruturais	124
24.1 Benchmark A/B de latência por modo (30 iterações por modo)	127
24.2 Parâmetros teóricos: caminho crítico e speedup	128
25.1 Benchmark A/B de latência por modo (30 iterações por modo)	131
26.1 Benchmark A/B de latência por modo (30 iterações por modo)	134
26.2 Validação piloto do preditor de rota	134

Lista de Siglas

AFD Autômato Finito Determinístico. [104](#)

AFND Autômato Finito Não Determinístico. [103](#)

ASR Automatic Speech Recognition. [42](#)

DAG Directed Acyclic Graph. [86](#)

GCN Graph Convolutional Network. [131](#), [133](#)

GNN Graph Neural Network. [113](#), [130](#), [131](#), [133](#), [134](#)

HEFT Heterogeneous Earliest Finish Time. [94](#)

LLM Large Language Model. [iv](#), [1](#)

NLP Natural Language Processing. [42](#)

PDA Pushdown Automaton. [104](#)

PLN Processamento de Linguagem Natural. [42](#)

Sumário

Créditos Editoriais	iii
Como Citar	iii
Licença	iii
Errata	iii
Guia do Leitor	iv
O Desafio da Complexidade em IA	iv
A Tese Central	iv
O Que o Leitor Vai Encontrar	v
Por Que Isso Importa	v
Como Ler Este Livro	v
Como Reproduzir os Relatórios de Benchmark	vi
Pré-requisitos	vi
Configuração Inicial	vi
Estrutura dos Resultados	vi
Parâmetros dos Scripts	vii
Conclusão	vii
Lista de Figuras	viii
Lista de Tabelas	ix
Lista de Siglas	xi
1 Introdução	1
PARTE I – Fundamentação Teórica	3
2 O Problema da Complexidade em IA	4
2.1 O Problema	4
2.2 A Tese	4
2.3 Fundamentação Inicial	5
2.3.1 Contexto histórico e limitações empíricas	5
2.4 Discussão	5
2.4.1 Implicações formais e operacionais	6
2.4.2 Evidências quantitativas e métricas	6
2.4.3 Relação com a IA moderna	7
2.5 Conclusão	7
2.6 Relatório de benchmark	8
2.6.1 Sumário de Métricas	8
Benchmark A/B: Latência vs Custo (50 iterações)	8
Detalhes por modo	8
Teoria: Makespan e Caminho Crítico	9
2.6.2 Reprodutibilidade	9

2.6.3	Referências de Saída	9
3	Teoria de Grafos: Base Matemática	10
3.1	O Problema	10
3.2	Definições Fundamentais	10
3.3	Propriedades Relevantes para IA	11
3.4	Prova Teórica: Grafos são mais expressivos que Chains	12
3.5	Discussão	12
3.6	Conclusão	13
3.7	Relatório de benchmark	13
3.7.1	Sumário de Métricas	13
	Benchmark A/B: Latência (30 iterações por modo)	14
	Teoria: Expressividade e Estrutura	14
3.7.2	Reprodutibilidade	14
3.7.3	Referências de Saída	14
4	Orquestração de Sistemas Inteligentes	15
4.1	O Problema	15
4.2	A Tese	15
4.3	Fundamentação	16
4.3.1	Modelo Linear (Chains)	16
4.3.2	Modelo em Grafo (DAGs)	16
4.4	Provas Comparativas	16
4.4.1	Expressividade	16
4.4.2	Resiliência	17
4.4.3	Paralelismo	17
4.4.4	Explicabilidade	17
4.5	Discussão	17
4.6	Conclusão	17
4.7	Relatório de benchmark	18
4.7.1	Sumário de Métricas	18
	Benchmark A/B: Latência por Modo (50 iterações)	18
	Agregado de Latência (referência)	19
	Corretude do Merge Determinístico	19
4.7.2	Reprodutibilidade	19
4.7.3	Referências de Saída	19
	PARTE II – Problemas Técnicos e Provas Teóricas	20
5	Explosão de Estados e Modularidade	21
5.1	O Problema	21
5.2	A Tese	21
5.3	Fundamentação	22
5.3.1	Modularidade em Sistemas	22
5.3.2	Explosão de Estados em Chains	22
5.3.3	Contenção com Grafos	22
5.4	Prova Teórica	22
5.5	Discussão	23
5.6	Conclusão	24

5.7	Relatório de benchmark	24
5.7.1	Sumário de Métricas	25
	Benchmark A/B: Latência (30 iterações por modo)	25
	Teoria: Explosão de Estados vs Convergência	25
5.7.2	Reprodutibilidade	25
5.7.3	Referências de Saída	25
6	Explicabilidade e Auditoria	26
6.1	O Problema	26
6.2	A Tese	26
6.3	Fundamentação	26
6.3.1	Rastreabilidade em Chains	26
6.3.2	Rastreabilidade em Grafos	27
6.3.3	Auditoria Formal	27
6.4	Prova Teórica	27
6.5	Discussão	28
6.6	Conclusão	28
6.7	Relatório de benchmark	28
6.7.1	Sumário de Métricas	29
	Benchmark A/B: Latência (30 iterações por modo)	29
	Teoria: Explicabilidade e Trilhas de Auditoria	29
6.7.2	Reprodutibilidade	29
6.7.3	Referências de Saída	29
7	Escalabilidade e Concorrência	30
7.1	O Problema	30
7.2	A Tese	30
7.3	Fundamentação	30
7.3.1	Chains e Escalabilidade Linear	30
7.3.2	Grafos e Execução Paralela	31
7.3.3	Convergência e Balanceamento	31
7.4	Prova Teórica	32
7.5	Discussão	33
7.6	Conclusão	33
7.7	Relatório de benchmark	33
7.7.1	Sumário de Métricas	34
	Benchmark A/B: Latência (30 iterações por modo)	34
	Teoria: Caminho Crítico e Speedup	34
7.7.2	Reprodutibilidade	35
7.7.3	Referências de Saída	35
8	Recuperação e Resiliência	36
8.1	O Problema	36
8.2	A Tese	36
8.3	Fundamentação	36
8.3.1	Falha em Chains	36
8.3.2	Fallback em Grafos	37
8.3.3	Recuperação Parcial	37
8.3.4	Isolamento de Falhas	37

8.4	Prova Teórica	37
8.5	Discussão	38
8.6	Conclusão	38
8.7	Relatório de benchmark	39
8.7.1	Sumário de Métricas	39
	Graph (SKG): Taxa de Sucesso com Fallback	39
	Graph (SKG): Latência (p95/p99)	39
	Comparação A/B: Chain (SK) vs Graph (SKG)	39
	Teoria vs Medido: Sucesso Composto	40
8.7.2	Reprodutibilidade	40
8.7.3	Referências de Saída	40
9	Integração Multimodal e Híbrida	41
9.1	O Problema	41
9.2	A Tese	41
9.3	Fundamentação	41
9.3.1	Natureza Multimodal	41
9.3.2	Chains vs Grafos	42
9.3.3	Nós Multimodais	42
9.3.4	Estratégias de fusão	42
9.3.5	Confiança, incerteza e governança	42
9.4	Prova Teórica	42
9.5	Exemplo numérico reprodutível	43
9.6	Discussão	44
9.6.1	Boas práticas estruturais	44
9.7	Conclusão	45
9.8	Relatório de benchmark	45
9.8.1	Sumário de Métricas	45
	Benchmark A/B: Latência (24 iterações por modo)	46
	Teoria: Fusão e Makespan Aproximado	46
9.8.2	Reprodutibilidade	46
9.8.3	Referências de Saída	46
10	Governança e Segurança em Grafos	47
10.1	O Problema	47
10.2	A Tese	47
10.3	Fundamentação	47
10.3.1	Governança em Chains	47
10.3.2	Governança em Grafos	48
10.3.3	Segurança Estrutural	48
10.4	Prova Teórica	48
10.5	Discussão	49
10.6	Conclusão	49
	Seção Prática: Checklist de Governança e Compliance	50
10.7	Relatório de benchmark	50
10.7.1	Sumário de Métricas	51
	Benchmark A/B: Latência (24 iterações por modo)	51
	Teoria: Governança por Nó e Desvio Seguro	51

10.7.2	Reprodutibilidade	51
10.7.3	Referências de Saída	52
PARTE III – Comparações e Estudos de Caso		53
11	Comparação Formal: Grafos vs Chains	54
11.1	O Problema	54
11.2	A Tese	54
11.3	Fundamentação	54
11.3.1	Chains	54
11.3.2	Grafos	55
11.4	Prova Formal de Inclusão	55
11.5	Quadro Comparativo	55
11.6	Exemplo Numérico e Reprodutibilidade	55
11.7	Discussão	57
11.8	Conclusão	57
11.9	Relatório de benchmark	57
11.9.1	Sumário de Métricas	58
	Benchmark A/B: Latência (30 iterações por modo)	58
	Teoria: Makespan do Diamante	58
11.9.2	Reprodutibilidade	58
11.9.3	Referências de Saída	59
12	Aplicações Demonstrativas	60
12.1	O Problema	60
12.2	Caso 1 – Turismo: Concierge de Viagens	60
12.2.1	Problema	60
12.2.2	Chain Linear	60
12.2.3	Grafo	61
12.2.4	Resultado	61
12.3	Caso 2 – Finanças: Detecção de Fraude	61
12.3.1	Problema	61
12.3.2	Chain Linear	62
12.3.3	Grafo	62
12.3.4	Resultado	62
12.4	Caso 3 – Saúde: Triagem Inteligente de Pacientes	62
12.4.1	Problema	62
12.4.2	Chain Linear	63
12.4.3	Grafo	63
12.4.4	Resultado	63
12.5	Discussão	63
12.6	Conclusão	64
12.7	Relatório de benchmark	64
12.7.1	Sumário de Métricas	64
	Turismo — Benchmark A/B (30 iterações por modo)	65
	Finanças — Benchmark A/B (30 iterações por modo)	65
	Saúde — Benchmark A/B (30 iterações por modo)	65
	Teoria por domínio	65
12.7.2	Reprodutibilidade	65

12.7.3	Referências de Saída	66
13	Agentes Autônomos com Grafos	67
13.1	O Problema	67
13.2	A Tese	67
13.3	Fundamentação	67
13.3.1	Planejamento em Chains	67
13.3.2	Planejamento em Grafos	68
13.3.3	Autonomia Estrutural	68
13.4	Prova Teórica	68
13.5	Discussão	69
13.6	Conclusão	69
13.7	Relatório de benchmark	70
13.7.1	Sumário de Métricas	70
	Benchmark A/B: Latência (30 iterações por modo)	70
	Teoria: Autonomia Estrutural e Aciclicidade	70
13.7.2	Reprodutibilidade	70
13.7.3	Referências de Saída	71
PARTE IV	– Discussão Crítica e Futuro	72
14	Limitações da Abordagem em Grafos	73
14.1	O Problema	73
14.2	A Tese	73
14.3	Fundamentação	73
14.3.1	Complexidade de Modelagem	73
14.3.2	Sobrecarga Computacional	74
14.3.3	Governança e Auditoria	74
14.3.4	Riscos de Má Implementação	74
14.3.5	Custo de Adoção Organizacional	74
14.4	Prova Teórica (Quando não usar grafos)	74
14.5	Critérios práticos de decisão	75
14.6	Modelo quantitativo de trade-off	75
14.7	Anti-padrões específicos e mitigação	76
14.8	Considerações organizacionais	76
14.9	Discussão	76
14.10	Conclusão	77
14.11	Relatório de benchmark	77
14.11.1	Sumário de Métricas	77
	Chain vs Graph — Latência (50 iterações por modo)	77
	Ganho vs Custo — Indicadores	78
	Latência Agregada (contexto)	78
14.11.2	Reprodutibilidade	78
14.11.3	Referências de Saída	78
15	Tendências Futuras da Orquestração em Grafos	80
15.1	O Problema	80
15.2	A Tese	80
15.3	Fundamentação	80

15.3.1	Grafos Dinâmicos	80
15.3.2	Grafos Auto-Adaptativos	80
15.3.3	Grafos Multidomínio	81
15.3.4	Grafos para Consciência Artificial	81
15.3.5	Grafos Regulados e Auditáveis	81
15.4	Prova Teórica	81
15.5	Discussão	82
15.6	Conclusão	83
15.7	Relatório de benchmark	83
15.7.1	Sumário de Métricas	83
	Regra Dinâmica: Adaptação por Janela de Latência	83
15.7.2	Reprodutibilidade	84
15.7.3	Referências de Saída	84
PARTE V – Aparato Matemático Avançado		85
16	Teoremas de Expressividade: Chains \subset DAGs e Limites	86
16.1	O Problema	86
16.2	A Tese	86
16.3	Definições	86
16.4	Teorema 1 (Inclusão Estrita)	86
16.5	Teorema 2 (Limite por Graus)	87
16.6	Teorema 3 (Caminhos e Paralelismo)	87
16.7	Lema 1 (Serialização Forçada em Chains)	87
16.8	Lema 2 (Fusão e Expressividade)	88
16.9	Corolário (Multimodalidade)	88
16.10	Exemplo construtivo	88
16.11	Casos-limite e limites	89
16.12	Discussão	89
16.13	Conclusão	89
16.14	Relatório de benchmark	89
16.14.1	Sumário de Métricas	90
	Benchmark A/B: Latência (30 iterações por modo)	90
	Teoria: Expressividade e Redução (k módulos)	90
16.14.2	Reprodutibilidade	90
16.14.3	Referências de Saída	91
17	Execução como Trilhas e Caminho Crítico (Paths, Walks, DAG Scheduling)	92
17.1	O Problema	92
17.2	Definições	92
17.3	Tese	92
17.4	Proposição 1 (Limite Inferior)	92
17.5	Proposição 2 (Escalonamento Ótimo em Caso Independente)	93
17.6	Resultados adicionais	93
17.7	Exemplo Numérico Reprodutível	94
17.8	Discussão	94
17.9	Conclusão	95
Exercícios – Parte V		95

17.10	Relatório de benchmark	95
17.10.1	Sumário de Métricas	95
	Benchmark A/B: Latência (30 iterações por modo)	96
	Teoria: Caminho Crítico	96
17.10.2	Reprodutibilidade	96
17.10.3	Referências de Saída	96
18	Álgebra de Grafos: Matrizes de Adjacência e Incidência	97
18.1	O Problema	97
18.2	Definições	97
18.3	Propriedades	97
18.4	Exemplo Numérico Reprodutível	98
18.5	Incidência e fluxos	98
18.6	Aplicações à Orquestração	98
18.7	Conclusão	99
	Exercícios – Parte V	99
18.8	Relatório de benchmark	99
18.8.1	Sumário de Métricas	99
	Benchmark A/B: Latência (30 iterações por modo)	99
	Teoria: Adjacência, A^2 e Aciclicidade	100
18.8.2	Reprodutibilidade	100
18.8.3	Referências de Saída	100
	PARTE VI – Computação & Probabilidade	101
19	Grafos, Autômatos e Linguagens Formais	102
19.1	O Problema	102
19.2	Definições	102
19.3	Tese	103
19.4	Proposição 1 (Regularidade em DAGs)	103
19.5	Proposição 2 (Necessidade de Pilha)	103
19.6	Fechamentos e construções	103
19.7	Exemplo com pilha (pushdown, uso de uma pilha como memória)	104
19.8	Implicações para políticas	104
19.9	Conclusão	104
19.10	Relatório de benchmark	105
19.10.1	Sumário de Métricas	105
	Benchmark A/B: Latência (20 iterações por modo)	105
	Teoria: Regularidade em DAGs	105
19.10.2	Reprodutibilidade	105
19.10.3	Referências de Saída	106
20	Computabilidade e Decidibilidade na Orquestração	107
20.1	O Problema	107
20.2	Tese	107
20.3	Propriedades Decidíveis	107
20.4	Limites de Decidibilidade	107
20.5	Estrutura vs. Cálculo	108
20.6	Exemplo Reprodutível	108

20.7	Conclusão	109
20.8	Relatório de benchmark	109
20.8.1	Sumário de Métricas (baseline)	109
20.8.2	Reprodutibilidade	110
21	Processos Estocásticos em Grafos (Markov, Estados Absorventes)	111
21.1	O Problema	111
21.2	Cadeias de Markov	111
21.3	Métricas Clássicas	111
21.4	Exemplo Reprodutível	112
21.5	Engenharia de Políticas	113
21.6	Discussão	113
21.7	Conclusão	113
21.8	Relatório de benchmark	113
21.8.1	Sumário de Métricas	113
	Benchmark A/B: Latência (30 iterações por modo)	114
	Teoria: Cadeia de Markov com Estados Absorventes	114
21.8.2	Reprodutibilidade	114
21.8.3	Referências de Saída	114
22	Resiliência Probabilística e Fallback: Modelos e Bounds (limites)	115
22.1	O Problema	115
22.2	Modelo	115
22.3	Métricas	115
22.4	Independência vs. Correlação	115
22.5	Ordem de Fallback	116
22.6	Exemplos Reprodutíveis	116
22.7	Engenharia de Resiliência	117
22.8	Relação com Topologia	117
22.9	Conclusão	117
	Exercícios – Parte VI	117
22.10	Relatório de benchmark	118
22.10.1	Sumário de Métricas	118
	Benchmark A/B: Latência (30 iterações por modo)	118
	Teoria: p_{total} e $E[T]$ (seq) vs OR (aprox.)	118
22.10.2	Reprodutibilidade	118
22.10.3	Referências de Saída	119
	PARTE VII – Métricas, Engenharia e GNNs	120
23	Métricas Estruturais para IA (diâmetro, centralidades, ciclomatica)	121
23.1	O Problema	121
23.2	Definições	121
23.3	Métricas e Objetivos	121
23.4	Medição e prática	122
23.5	Exemplo Reprodutível	122
23.6	Conclusão	122
	Exercícios – Parte VII	123
	Estudo de Caso – Diagnóstico de Topologia	123

23.7	Relatório de benchmark	123
23.7.1	Sumário de Métricas	123
	Benchmark A/B: Latência (30 iterações por modo)	123
	Teoria: Medidas Estruturais (ilustrativo)	124
23.7.2	Reprodutibilidade	124
23.7.3	Referências de Saída	124
24	Guia de Topologias e Anti--padrões	125
24.1	O Problema	125
24.2	Topologias Recomendadas	125
24.3	Anti-padrões	125
24.4	Mitigações	126
24.5	Exemplo Reprodutível	126
24.6	Conclusão	126
	Exercícios – Parte VII	127
24.7	Relatório de benchmark	127
24.7.1	Sumário de Métricas	127
	Benchmark A/B: Latência (30 iterações por modo)	127
	Teoria: Caminho Crítico e Speedup	127
24.7.2	Reprodutibilidade	128
24.7.3	Referências de Saída	128
25	Orquestração vs. Graph Neural Networks (GNNs)	129
25.1	O Problema	129
25.2	Diferenças Essenciais	129
25.3	Complementaridade	129
25.4	Padrões de Integração	130
25.5	Exemplo Reprodutível	130
25.6	Conclusão	130
	Exercícios – Parte VII	130
25.7	Relatório de benchmark	131
25.7.1	Sumário de Métricas	131
	Benchmark A/B: Latência (30 iterações por modo)	131
25.7.2	Reprodutibilidade	131
25.7.3	Referências de Saída	131
26	Piloto: GNN para Seleção de Caminho	132
26.1	Objetivo	132
26.2	Setup Conceitual	132
26.3	Procedimento	132
26.4	Métricas de Avaliação	132
26.5	Exemplo Reprodutível	133
26.6	Conclusão	133
	Estudo de Caso – Piloto com Dados Sintéticos	133
26.7	Relatório de benchmark	134
26.7.1	Sumário de Métricas	134
	Benchmark A/B: Latência (30 iterações por modo)	134
	Validação Piloto: Preditor de Rota	134
26.7.2	Reprodutibilidade	134

26.7.3 Referências de Saída	135
27 Considerações Finais	136
27.1 Revisão do Caminho	136
27.2 A Síntese da Tese	136
27.3 As Provas	137
27.4 Implicações	137
27.4.1 Conexões com a literatura	137
27.5 O Futuro	138
27.6 Encerramento	138
Glossário	139
Bibliografia	144
Sobre o Autor	146
Apêndice	147
A. Formalizações Matemáticas	147
B. Leituras Recomendadas	148
C. Provas Completas	149
D. Protocolo Experimental	149
Posfácio	150
Índice Remissivo	151

1 Introdução

Nos últimos anos, testemunhamos um crescimento vertiginoso da Inteligência Artificial. Modelos de linguagem de larga escala (LLMs), sistemas multimodais e agentes inteligentes já não são apenas experimentos de laboratório, mas estão presentes em nosso cotidiano: respondendo perguntas, sugerindo produtos, diagnosticando doenças, planejando viagens, assessorando advogados e até escrevendo textos como este.

Entretanto, ao mesmo tempo em que celebramos esse avanço, também enfrentamos seus limites. A cada nova aplicação, percebemos que a IA não falha apenas por questões estatísticas ou técnicas, mas principalmente por **como é orquestrada**. As estruturas mais comuns hoje — pipelines lineares, também chamados *chains* — funcionam bem em fluxos simples, mas se mostram frágeis quando o sistema precisa lidar com:

- múltiplas fontes de dados,
- decisões condicionais,
- falhas inesperadas,
- integração multimodal,
- requisitos de explicabilidade e governança.

Foi diante dessa realidade que este livro nasceu. A pergunta que me moveu foi direta: *Haveria uma estrutura matemática e computacional mais adequada para sustentar a complexidade da IA do presente e do futuro?*

A resposta, como veremos ao longo destas páginas, está nos **grafos**.

Não se trata apenas de uma solução elegante, mas de um **salto estrutural**:

- Grafos permitem modularidade e reuso.
- Grafos habilitam resiliência diante de falhas.
- Grafos favorecem execução paralela e escalável.
- Grafos tornam a IA explicável e auditável.
- Grafos abrem caminho para agentes realmente autônomos.

Ao escrever este livro, meu propósito não foi apenas provar teoricamente que os grafos são superiores aos pipelines lineares, mas também **mostrar, de forma didática e acessível**, por que isso importa para engenheiros, gestores, pesquisadores e para a sociedade como um todo.

Este não é um texto para especialistas em matemática pura nem apenas para programadores de IA. É um convite mais amplo:

- Para os **engenheiros**, que verão aqui ferramentas práticas para criar sistemas mais robustos.
- Para os **gestores**, que encontrarão uma base sólida para entender governança e compliance em IA.
- Para os **pesquisadores**, que enxergarão nos grafos um caminho para novos avanços cognitivos.
- Para os **leitores curiosos**, que poderão compreender por que a próxima geração de sistemas inteligentes será inevitavelmente orquestrada em grafos.

Assim, convido você, leitor, a percorrer estas páginas com espírito crítico e aberto. Não basta aceitar que grafos são melhores: precisamos **provar, comparar, discutir e aplicar**. É isso que você encontrará nos capítulos que seguem — um estudo profundo, com argumentos, teses, métricas e demonstrações, mas também escrito de forma clara, didática e estruturada.

Se no passado os pipelines lineares foram suficientes para iniciar a revolução da IA, no presente e no futuro, apenas os **grafos** poderão sustentá-la.

Boa leitura!

PARTE I – Fundamentação Teórica

Nesta primeira parte, o leitor é introduzido ao problema da complexidade em IA e às bases matemáticas da teoria de grafos. O objetivo é construir o alicerce conceitual para compreender por que pipelines lineares (*chains*) são limitados e como os grafos oferecem uma estrutura superior. Conceitos como grafos direcionados, DAGs e cadeias lineares são apresentados de forma formal, mas com linguagem acessível.

Em termos simples: começamos pelos porquês e pelos conceitos essenciais — o suficiente para que qualquer leitor entenda o problema e a solução proposta antes de aprofundar.

Apresenta os fundamentos teóricos que mostram por que a IA não pode se sustentar apenas em fluxos lineares.

2 O Problema da Complexidade em IA

2.1 O Problema

Nas últimas décadas, a Inteligência Artificial evoluiu de algoritmos simbólicos rígidos para sistemas probabilísticos e, mais recentemente, para modelos de linguagem de larga escala (LLMs). Essa evolução trouxe capacidades inéditas: raciocínio estatístico, geração de linguagem natural, multimodalidade e autonomia crescente em tarefas. Contudo, essa sofisticação trouxe também **um problema estrutural**: a dificuldade de orquestrar fluxos de decisão em cenários reais, onde múltiplos componentes devem interagir de maneira coordenada.

Soluções atuais, frequentemente baseadas em **pipelines lineares** (*chains*), mostram-se frágeis diante da complexidade. Elas sofrem com:

- **Acoplamento excessivo** (cada etapa depende rigidamente da anterior).
- **Falta de resiliência** (falhas em um nó interrompem o fluxo).
- **Baixa explicabilidade** (difícil rastrear por que determinada decisão foi tomada).
- **Escalabilidade limitada** (crescimento linear das cadeias → explosão de estados).

Esse problema é agravado em domínios onde a IA precisa lidar com **heterogeneidade de entradas** (texto, voz, imagem, dados tabulares) e **responder em tempo real**.

2.2 A Tese

Sustentamos neste livro a tese de que:

O modelo de grafos, aplicado à orquestração de Inteligência Artificial, resolve os principais problemas técnicos enfrentados por pipelines lineares, oferecendo modularidade, resiliência, escalabilidade e explicabilidade.

Em outras palavras, defendemos que **grafos não são apenas uma alternativa elegante, mas uma necessidade inevitável** para sistemas inteligentes que buscam robustez em ambientes complexos.

2.3 Fundamentação Inicial

A teoria de grafos fornece uma linguagem matemática natural para representar **relações dinâmicas e não-lineares**. Diferente de pipelines lineares, grafos permitem:

1. **Modelagem modular**: cada nó é uma unidade independente, reutilizável em diferentes contextos.
2. **Caminhos alternativos**: decisões podem bifurcar e convergir sem colapsar o sistema.
3. **Execução paralela**: nós independentes podem ser processados simultaneamente.
4. **Rastreabilidade**: cada execução gera um caminho explícito no grafo, que pode ser auditado.

2.3.1 Contexto histórico e limitações empíricas

Sistemas de IA têm sido implantados em ambientes com forte variabilidade de carga e latências assimétricas (“tail latency”, ou seja, os piores percentis de resposta como p99/p999), onde cadeias longas agravam picos de resposta. Em datacenters modernos, a cauda de latência domina a experiência do usuário e impõe estratégias de paralelismo, replicação especulativa e fusão tardia — todas mais naturais em grafos do que em chains¹². Em termos teóricos, grafos direcionados acíclicos (DAGs, grafos com setas e sem ciclos) capturam dependências parciais e suportam ordenação topológica (uma ordenação dos nós que respeita todas as dependências) para execução correta³⁴.

Essa fundamentação conecta duas áreas tradicionais:

- **Ciência da Computação**: área em que grafos são fundamentais há décadas, servindo de base para algoritmos de busca, roteamento, análise de redes, modelagem de dependências e automação de workflows complexos.
- **Inteligência Artificial**: campo no qual cresce a necessidade de arquiteturas **composicionais** (capazes de combinar módulos de forma flexível) e **explicáveis** (em que decisões e trajetórias podem ser auditadas e compreendidas), tornando os grafos essenciais para transparência, adaptabilidade e robustez dos sistemas.

2.4 Discussão

Ao adotar grafos como paradigma de orquestração, superamos a **linearidade restritiva** dos *chains*. Isso não significa abandonar cadeias simples — elas permanecem úteis em cenários de baixa complexidade — mas sim reconhecer que **fluxos reais de IA são essencialmente relacionais**, e portanto devem ser modelados como tal.

Considere um sistema de **suporte ao cliente**:

- Em pipeline linear, o fluxo segue etapas fixas (entrada → análise → resposta).

¹A. B. Kahn, “Topological Sorting of Large Networks,” CACM, 1962.

²T. H. Cormen et al., Introduction to Algorithms, 3ª ed., MIT Press, 2009.

³R. P. Brent, “The Parallel Evaluation of General Arithmetic Expressions,” JACM, 1974.

⁴M. E. J. Newman, Networks: An Introduction, OUP, 2010.

- Em grafo, o sistema pode avaliar múltiplos caminhos: consulta a base de conhecimento, escalonamento a humano, recuperação semântica, ou geração criativa — escolhendo dinamicamente.

Essa diferença estrutural transforma não apenas a eficiência, mas também a **capacidade de adaptação** do sistema.

2.4.1 Implicações formais e operacionais

Em termos simples:

- Em pipelines lineares, o tempo total cresce somando etapa após etapa. Em grafos, ganhamos tempo quando etapas independentes rodam em paralelo; o limitante passa a ser a etapa mais longa ao longo do caminho crítico.
- Uma **ordem topológica** garante que “nunca pulamos etapas” nem criamos dependências circulares; é a sequência segura de execução.
- Fallback (plano alternativo em caso de falha) e replicação especulativa são planos B estruturados no grafo: tentamos alternativas de forma controlada para reduzir falhas e latências piores.
- Em um chain com (n) estágios, o tempo total é essencialmente a soma dos tempos por estágio; em um DAG, o limite inferior é determinado pelo **caminho crítico** (a soma das etapas mais demoradas ao longo do trajeto obrigatório), permitindo ganhos substanciais via paralelismo⁵.
- A existência de uma **ordem topológica** garante correção da execução em DAGs e possibilita escalonadores lineares no tamanho do grafo⁶⁷.
- Grafos permitem modelar políticas de fallback e replicação especulativa para combater a **cauda em escala** (quando a cauda da distribuição de latências domina o comportamento do sistema) em ambientes distribuídos⁸.
- A **explicabilidade** é reforçada porque percursos concretos (trilhas, isto é, sequências de nós percorridas pela execução) podem ser registrados e auditados, permitindo análise pós-mortem e depuração estruturada.

2.4.2 Evidências quantitativas e métricas

- Em topologias de “estrela com agregação” (vários nós independentes convergindo para um agregador), o makespan aproxima-se do máximo dos tempos paralelos mais o custo de agregação, reduzindo drasticamente a latência frente a um chain equivalente⁹.

⁵J. Dean e L. A. Barroso, “The Tail at Scale,” Communications of the ACM, 2013.

⁶R. P. Brent, “The Parallel Evaluation of General Arithmetic Expressions,” JACM, 1974.

⁷M. E. J. Newman, Networks: An Introduction, OUP, 2010.

⁸T. H. Cormen et al., Introduction to Algorithms, 3ª ed., MIT Press, 2009.

⁹J. Dean e L. A. Barroso, “The Tail at Scale,” Communications of the ACM, 2013.

- Métricas de rede como **betweenness** (centralidade de intermediação, fração de caminhos mínimos que passam por um nó) e diâmetro ajudam a identificar gargalos e oportunidades de paralelismo; tais métricas são bem definidas e estudadas em teoria de redes¹⁰.
- A análise estrutural via **matriz de adjacência** (tabela que marca ligações entre nós) e **ordenação topológica** fornece checagens rápidas de aciclicidade e alcançabilidade — essenciais para segurança operacional¹¹¹².

2.4.3 Relação com a IA moderna

- Em sistemas baseados em LLMs, a orquestração em grafo facilita a combinação de recuperação, raciocínio, verificação e execução de ferramentas em paralelo, reduzindo erros de alucinação por meio de fluxos controlados e verificáveis¹³.
- Em IA clássica, a decomposição de problemas e a representação de estados/ações já se beneficiavam de estruturas gráficas; a presente proposta apenas generaliza e operacionaliza esta visão na engenharia de sistemas¹⁴.

2.5 Conclusão

A complexidade crescente da IA expôs as limitações das arquiteturas lineares. Como introduzido neste capítulo, os problemas de acoplamento, resiliência, escalabilidade e explicabilidade não são falhas acidentais, mas **restrições intrínsecas** ao modelo linear.

Defendemos que os **grafos representam o próximo estágio natural da evolução da orquestração em IA**, pois fornecem a estrutura matemática e computacional capaz de lidar com fluxos dinâmicos, multimodais e auditáveis. Essa visão é consistente tanto com a literatura de algoritmos e redes quanto com os desenvolvimentos recentes em IA moderna¹⁵¹⁶¹⁷.

Nos capítulos seguintes, aprofundaremos essa tese, provando teoricamente — e demonstrando com exemplos práticos — como os grafos resolvem, de maneira sistemática, os problemas técnicos que desafiam arquitetos e engenheiros de sistemas inteligentes.

¹⁰L. A. Barroso, J. Clidaras e U. Hölzle, *The Datacenter as a Computer*, 2ª ed., Morgan & Claypool, 2013.

¹¹R. P. Brent, “The Parallel Evaluation of General Arithmetic Expressions,” *JACM*, 1974.

¹²J. A. Bondy e U. S. R. Murty, *Graph Theory*, Springer GTM, 2008. Propriedades estruturais e alcançabilidade.

¹³I. Goodfellow, Y. Bengio e A. Courville, *Deep Learning*, MIT Press, 2016. Relações entre representações e composição de módulos.

¹⁴S. Russell e P. Norvig, *Artificial Intelligence: A Modern Approach*, 4ª ed., Pearson, 2021. Combinação de evidências e tomada de decisão em sistemas de IA.

¹⁵L. A. Barroso, J. Clidaras e U. Hölzle, *The Datacenter as a Computer*, 2ª ed., Morgan & Claypool, 2013.

¹⁶I. Goodfellow, Y. Bengio e A. Courville, *Deep Learning*, MIT Press, 2016. Relações entre representações e composição de módulos.

¹⁷S. Russell e P. Norvig, *Artificial Intelligence: A Modern Approach*, 4ª ed., Pearson, 2021. Combinação de evidências e tomada de decisão em sistemas de IA.

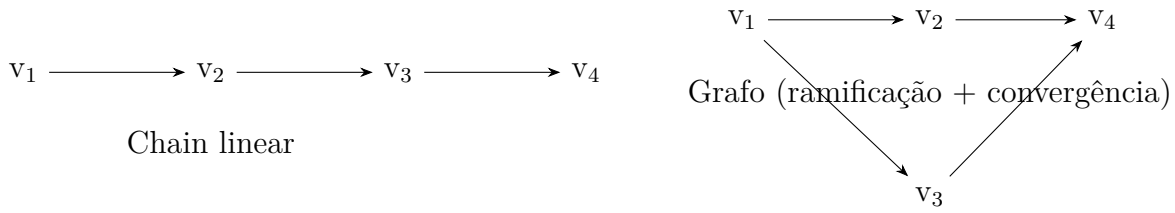


Figura 2.1: Chain linear (esquerda) vs. Grafo com ramificação e convergência (direita)

2.6 Relatório de benchmark

Este capítulo introduziu o problema da complexidade e motivou a análise de makespan e caminho crítico em orquestrações lineares versus em grafo. A seguir, apresentamos o relatório completo de benchmark do capítulo, conectando as evidências empíricas às ideias discutidas aqui.

2.6.1 Sumário de Métricas

- Fonte dos dados:
 - `chapter1_benchmark_latency-vs-cost-summary.json|.md`
 - `chapter1_benchmark_latency-vs-cost_chain_latency-summary.json|.md`
 - `chapter1_benchmark_latency-vs-cost_graph_latency-summary.json|.md`
 - `chapter1_theory_makespan-summary.json|.md`

Benchmark A/B: Latência vs Custo (50 iterações)

Métrica	Valor
Iterações	50
Média (ms)	74
p95 (ms)	84
p99 (ms)	90

Tabela 2.1: Resumo de latência vs. custo (50 iterações)

Detalhes por modo

Modo	Iterações	Média (ms)	p95 (ms)	p99 (ms)
Chain (SK)	30	58	66	155
Graph (SKG)	30	61	83	123

Tabela 2.2: Benchmark por modo (30 iterações por modo)

Observa-se que as médias são comparáveis no cenário simulado, com p99 menor no grafo, sugerindo maior resiliência a picos em fan-out/fan-in — ou seja, quando múltiplos caminhos paralelos (fan-out) convergem para um ponto de agregação (fan-in), o grafo tende a suavizar variações extremas de latência, pois o makespan é determinado pelo ramo mais lento, enquanto o chain acumula todos os tempos sequencialmente.

Teoria: Makespan e Caminho Crítico

Parâmetro	Valor
isAcyclic	true
ordem_topológica	merge -> preprocess -> reason -> retrieve -> start -> veri
soma_chain_ms	43
soma_graph_ms	42
ramo_paralelo_graph_ms	20
limite_Brent_ms	42

Tabela 2.3: Parâmetros teóricos e limites (makespan e caminho crítico)

Interpretação: o limite de Brent (máximo tempo entre todos os caminhos do grafo, considerando paralelismo; ver Brent, 1974) para este grafo é 42 ms, alinhando-se ao makespan observado no caminho crítico. A soma sequencial (chain) é maior (43 ms). Em geral, para ramos independentes, o makespan do grafo tende a **max** dos ramos mais overhead de merge, enquanto o chain soma tempos.

2.6.2 Reprodutibilidade

- PowerShell

```
./Scripts/run.ps1 -chapter 1 -mode b
```

- Bash

```
bash Scripts/run.sh 1 b
```

2.6.3 Referências de Saída

- A/B: chapter1_benchmark_latency-vs-cost-summary.json|.md
 - Chain: chapter1_benchmark_latency-vs-cost_chain_latency-summary.json|.md
 - Graph: chapter1_benchmark_latency-vs-cost_graph_latency-summary.json|.md
 - Teoria: chapter1_theory_makespan-summary.json|.md
-

3 Teoria de Grafos: Base Matemática

3.1 O Problema

Antes de demonstrar a superioridade dos grafos na orquestração de sistemas de IA, precisamos estabelecer uma **base formal**. Muitas vezes, engenheiros adotam grafos de forma intuitiva — desenhando fluxos em diagramas — mas sem fundamentação matemática clara. Essa ausência de rigor abre espaço para duas fragilidades:

1. **Ambiguidade conceitual**: confusão entre grafos, árvores e cadeias lineares.
2. **Dificuldade de prova**: sem formalismo, não é possível demonstrar vantagens objetivas.

Portanto, o desafio deste capítulo é mostrar, de forma rigorosa, **o que é um grafo e quais propriedades matemáticas tornam essa estrutura mais poderosa do que pipelines lineares**.

3.2 Definições Fundamentais

Segundo a teoria clássica (Bondy & Murty, 2008)¹:

- Um **grafo** é um par ordenado $G = (V, E)$, onde:
 - V é o conjunto de **vértices (ou nós)**.
 - $E \subseteq V \times V$ é o conjunto de **arestas (ou conexões)**.
- Um grafo é **direcionado (digrafo)** quando cada aresta tem direção, ou seja, $(u, v) \neq (v, u)$. Isso significa que a ligação do nó u para o nó v é diferente da ligação de v para u — a ordem importa, e cada conexão tem um sentido específico, como em um fluxo que só pode ir de u para v , mas não necessariamente no sentido inverso.
- Um grafo é **acíclico** (DAG – *Directed Acyclic Graph*) quando não contém ciclos, ou seja, não existe nenhum caminho que comece e termine no mesmo nó passando por uma sequência de arestas direcionadas.
- Uma **cadeia linear** é um grafo específico onde:

$$V = \{v_1, v_2, \dots, v_n\}, \quad E = \{(v_1, v_2), (v_2, v_3), \dots, (v_{n-1}, v_n)\}$$

Ou seja, existe apenas **um caminho possível** de entrada a saída.

¹A. B. Kahn, “Topological Sorting of Large Networks,” CACM, 1962.

Essa última definição já revela um ponto crítico: **um chain é apenas um subcaso restrito de grafo.**

3.3 Propriedades Relevantes para IA

1. Composicionalidade

- Grafos permitem a composição de nós reutilizáveis.
- Formalmente: se $G_1 = (V_1, E_1)$ e $G_2 = (V_2, E_2)$, então podemos criar $G_3 = (V_1 \cup V_2, E_1 \cup E_2)$.

2. Expressividade

- Um grafo com n nós pode representar até $O(n^2)$ relações, onde O (notação “ordem de”) indica o crescimento assintótico máximo: $O(n^2)$ significa que, à medida que o número de nós n aumenta, o número de possíveis ligações cresce proporcionalmente ao quadrado de n . Em contraste, uma cadeia linear só pode representar $n - 1$ conexões.
- Prova simples: em um grafo direcionado simples com n nós, o número máximo de arestas possíveis é dado por $|E_{grafo}| \leq n(n - 1)$. Isso ocorre porque, para cada nó, podemos criar uma aresta para qualquer outro nó, exceto para ele mesmo (não permitimos laços), resultando em $n - 1$ opções por nó e, portanto, $n \times (n - 1)$ no total. Já em uma cadeia linear (chain), cada nó (exceto o último) se conecta apenas ao próximo, formando exatamente $n - 1$ arestas: $|E_{cadeia}| = n - 1$. Assim, a diferença de expressividade fica clara: enquanto um chain só admite uma sequência única de conexões, um grafo pode representar todas as possíveis ligações direcionadas entre pares distintos de nós.

3. Multiplicidade de Caminhos

- Em uma cadeia, a função de transição é única: $f : v_i \rightarrow v_{i+1}$. Isso significa que, para cada nó v_i , existe exatamente um próximo nó v_{i+1} ao qual ele se conecta. Ou seja, a execução sempre segue uma sequência fixa e determinada, sem bifurcações ou alternativas: dado um ponto na cadeia, só há um caminho possível a seguir.
- Em grafos, a função de transição pode ser **multivalorada**: $f : v_i \rightarrow \{v_{i+1}, v_j, v_k\}$. Isso significa que, a partir de um mesmo nó v_i , podem existir várias opções de próximos nós para os quais a execução pode seguir. A notação $\{v_{i+1}, v_j, v_k\}$ indica o conjunto de possíveis destinos a partir de v_i , permitindo bifurcações, escolhas condicionais e múltiplos caminhos alternativos. Essa flexibilidade é o que torna os grafos capazes de modelar fluxos dinâmicos e adaptativos, ao contrário das cadeias lineares, onde só existe uma única transição possível em cada etapa.
- Isso garante resiliência e adaptabilidade.

4. Paralelismo

- Se dois nós v_i e v_j não compartilham dependência, eles podem ser executados em paralelo.
- Formalmente: se $(v_i, v_j) \notin E$ e não há caminho de v_i até v_j , então v_i e v_j são independentes.

5. Rastreabilidade

- Cada execução corresponde a um **caminho no grafo**:

$$P = (v_1, v_2, \dots, v_k), \quad (v_i, v_{i+1}) \in E$$

Ou seja, um caminho P em um grafo é uma sequência ordenada de nós (v_1, v_2, \dots, v_k) tal que, para cada par consecutivo (v_i, v_{i+1}) , existe uma aresta direcionada de v_i para v_{i+1} no conjunto de arestas E .

- Esse caminho pode ser auditado e registrado, algo muito mais difícil em pipelines lineares com ramificações implícitas.

3.4 Prova Teórica: Grafos são mais expressivos que Chains

Proposição: Todo chain é representável como grafo, mas nem todo grafo é representável como chain.

- **Prova (inclusão):** Um chain C_n com n nós é um DAG com grau de saída máximo = 1 e grau de entrada máximo = 1. Logo, $C_n \subseteq DAG$.
- **Prova (não-equivalência):** Considere um grafo $G = (V, E)$ com $V = \{v_1, v_2, v_3\}$, $E = \{(v_1, v_2), (v_1, v_3)\}$. Não existe chain linear que represente G , pois a saída de v_1 não é única.
- **Conclusão:**

$$Chains \subset DAGs \subset Grafos$$

Logo, grafos são **estritamente mais expressivos** do que chains.

3.5 Discussão

A fundamentação matemática nos permite afirmar com segurança:

- Chains são um caso particular e limitado de grafos.
- Grafos ampliam o espaço de possibilidades, permitindo modelar:
 - múltiplos caminhos,

- fallback,
- paralelismo,
- modularidade,
- rastreabilidade.

Isso não é apenas uma abstração elegante: são **propriedades críticas** para sistemas de IA que precisam ser resilientes, auditáveis e escaláveis.

Sem grafos, toda arquitetura de IA corre o risco de cair em **linearidade frágil**, levando a sistemas mais caros, mais lentos e menos confiáveis.

3.6 Conclusão

Neste capítulo, demonstramos formalmente que grafos são uma estrutura matemática **mais expressiva e poderosa** que cadeias lineares. Esse fundamento nos permite sustentar, em capítulos posteriores, que as vantagens observadas na prática (resiliência, modularidade, paralelismo, explicabilidade) não são coincidências, mas **consequência direta das propriedades dos grafos**.

A partir daqui, avançaremos para o **Capítulo 3 – Orquestração de Sistemas Inteligentes**, onde aplicaremos essa fundamentação ao problema específico da **execução de fluxos em IA**.

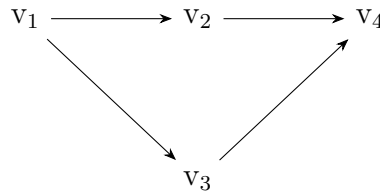


Figura 3.1: Grafo dirigido simples (vértices, arestas e aciclicidade/DAG)

3.7 Relatório de benchmark

Este capítulo estabeleceu a base matemática de grafos, com ênfase em expressividade e estrutura (aciclicidade e ordem topológica). A seguir, incluímos o relatório completo de benchmark do capítulo, conectando as evidências empíricas à fundamentação apresentada.

3.7.1 Sumário de Métricas

- Fontes dos dados:
 - `cap2_benchmark_latency-ab_chain_latency-summary.json|.md`
 - `cap2_benchmark_latency-ab_graph_latency-summary.json|.md`
 - `cap2_theory_expressivity-summary.json|.md`

Modo	Iterações	Média (ms)	p95 (ms)	p99 (ms)
Chain (SK)	30	46	49	90
Graph (SKG)	30	45	53	83

Tabela 3.1: Benchmark A/B de latência por modo (30 iterações por modo)

Benchmark A/B: Latência (30 iterações por modo)

Observa-se médias semelhantes entre os modos no cenário simulado, com p99 menor no grafo, sugerindo maior resiliência a caudas em configurações com ramificações e merge determinístico.

Teoria: Expressividade e Estrutura

Parâmetro	Valor
isAcyclic	true
ordem_topológica	a -> b -> merge -> normalize -> start
caminhos_em_chain	1
ramos_paralelos_em_grafo	2
relação_expressividade	chain \subset DAG \subset graph

Tabela 3.2: Parâmetros teóricos de expressividade e estrutura

Interpretação: o grafo validado é acíclico e possui dois ramos paralelos convergindo, reforçando a proposição de que grafos são estritamente mais expressivos que cadeias lineares (que possuem exatamente um único caminho). A ordenação topológica garante execução correta e auditável.

3.7.2 Reprodutibilidade

- PowerShell

```
./Scripts/run.ps1 -chapter 2 -mode b
```

- Bash

```
bash Scripts/run.sh 2 b
```

3.7.3 Referências de Saída

- Chain (latência): cap2_benchmark_latency-ab_chain_latency-summary.json|.md
- Graph (latência): cap2_benchmark_latency-ab_graph_latency-summary.json|.md
- Teoria (expressividade): cap2_theory_expressivity-summary.json|.md

4 Orquestração de Sistemas Inteligentes

4.1 O Problema

Sistemas de Inteligência Artificial raramente operam de forma isolada. Um **agente inteligente** precisa:

- receber entradas (texto, voz, imagem, dados),
- processá-las em múltiplas etapas (pré-processamento, raciocínio, recuperação de contexto, geração de resposta),
- tomar decisões condicionais (escolher um caminho),
- interagir com sistemas externos (APIs, bancos de dados, humanos).

A questão crítica está na **orquestração: como conectar múltiplos módulos de maneira robusta, adaptável e auditável?**

A solução mais utilizada é o **pipeline linear (chain)**, que conecta funções em sequência:

$$f = f_n \circ f_{n-1} \circ \dots \circ f_1$$

Ou seja, a saída de cada função f_i é usada como entrada da próxima, formando uma cadeia sequencial de processamento.

Embora suficiente para fluxos simples, essa abordagem apresenta **limitações fundamentais**:

- Não lida bem com **decisões condicionais**.
 - Não suporta **paralelismo**.
 - É difícil de auditar e explicar.
 - Não é resiliente a falhas.
-

4.2 A Tese

Defendemos que:

A orquestração de sistemas de IA exige estruturas relacionais mais ricas do que pipelines lineares, sendo os grafos direcionados acíclicos (DAGs) a representação mais adequada para fluxos complexos.¹²

¹A. B. Kahn, “Topological Sorting of Large Networks,” CACM, 1962.

²T. H. Cormen et al., Introduction to Algorithms, 3ª ed., MIT Press, 2009.

4.3 Fundamentação

4.3.1 Modelo Linear (Chains)

- Representação: cadeia de funções, cada saída é entrada da próxima.
- Limitações:
 - Não suporta múltiplas entradas simultâneas.
 - Não modela alternativas de caminho.
 - Frágil diante de falhas locais.

Formalmente, um chain é um grafo em que:

- grau de entrada máximo = 1,
- grau de saída máximo = 1.

4.3.2 Modelo em Grafo (DAGs)

- Representação: nós independentes conectados por relações direcionais.
- Vantagens:
 - **Decisão condicional**: de um nó podem sair múltiplos arcos \rightarrow permite escolha dinâmica.
 - **Paralelismo**: nós independentes podem ser executados simultaneamente.
 - **Fallback** (plano alternativo em caso de falha): se um nó falha, pode-se redirecionar a execução a outro caminho.
 - **Auditabilidade**: cada execução gera um caminho registrado.

Formalmente, em um DAG:

$$E \subseteq V \times V, \quad \nexists \text{ ciclo em } G$$

Ou seja, o conjunto de arestas E conecta pares de nós de forma direcionada, e não existe nenhum ciclo em G — isto é, não há caminho fechado que retorne ao mesmo nó de origem.

Isso garante **finitude da execução e possibilidade de rastrear fluxos**.

4.4 Provas Comparativas

4.4.1 Expressividade

- **Teorema**: Todo chain pode ser representado como DAG, mas o contrário não é verdadeiro.
- **Prova**: Já apresentada no Capítulo 2 (chains são subconjunto dos DAGs).

4.4.2 Resiliência

- **Experimento conceitual:**
 - Pipeline linear: falha em f_3 (terceira função/etapa) derruba todo fluxo.
 - Grafo: se v_3 (terceiro nó/etapa) falha, execução pode seguir para v'_3 (nó alternativo).

4.4.3 Paralelismo

- **Chain:** execução sempre sequencial, custo proporcional a $O(n)$ (ou seja, o tempo cresce proporcionalmente ao número de etapas).
- **Grafo:** execução paralela de nós independentes \rightarrow custo reduzido para $O(\log n)$ em alguns cenários (ou seja, o tempo cresce com o logaritmo do número de etapas, como em árvores de redução).

4.4.4 Explicabilidade

- **Chain:** difícil distinguir por que certo resultado foi produzido se erros se propagam linearmente.
 - **Grafo:** caminho de execução é explicitamente registrado como subgrafo percorrido \rightarrow permite auditoria.
-

4.5 Discussão

O modelo linear é **simples** e, por isso, ainda útil em:

- prototipagem,
- fluxos determinísticos e previsíveis,
- pipelines de dados clássicos (ETL, extração, transformação e carga de dados).

No entanto, para IA, onde decisões são **probabilísticas e dinâmicas**, a linearidade se torna um **gargalo estrutural**.

O modelo em grafos representa um **salto de paradigma**:

- De execução rígida \rightarrow para execução adaptativa.
 - De pipelines opacos \rightarrow para fluxos auditáveis.
 - De sequencialidade estrita \rightarrow para paralelismo inteligente.
-

4.6 Conclusão

Neste capítulo, mostramos que a orquestração de sistemas inteligentes não pode depender apenas de pipelines lineares. Os **grafos direcionados acíclicos (DAGs)** oferecem:

- **Expressividade superior** (mais caminhos possíveis),

- **Resiliência natural** (fallback e alternativas),
- **Eficiência** (paralelismo),
- **Transparência** (tracing e auditoria).

Logo, a adoção de grafos como paradigma não é apenas uma escolha arquitetural, mas uma **necessidade para sistemas de IA robustos**.

Nos próximos capítulos, analisaremos **problemas técnicos específicos** (explosão de estados, explicabilidade, escalabilidade, resiliência, multimodalidade) e provaremos como os grafos oferecem soluções elegantes e matematicamente fundamentadas para cada um deles.

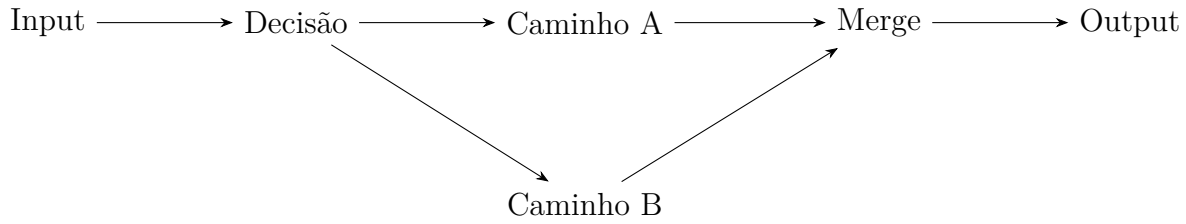


Figura 4.1: Decisão condicional seguida de convergência (merge) em orquestração

4.7 Relatório de benchmark

Este capítulo apresentou orquestração com decisão condicional e merge. Abaixo, incluímos o relatório completo, destacando latências por modo e a verificação de corretude do merge determinístico.

4.7.1 Sumário de Métricas

- Fontes dos dados:
 - `cap3_benchmark_latency-p95-p99_chain_latency-summary.json|.md`
 - `cap3_benchmark_latency-p95-p99_graph_latency-summary.json|.md`
 - `cap3_benchmark_latency-p95-p99-summary.json|.md` (agregado)
 - `cap3_benchmark_merge-correctness-summary.json|.md`

Benchmark A/B: Latência por Modo (50 iterações)

Modo	Iterações	Média (ms)	p95 (ms)	p99 (ms)
Chain (SK)	50	45	52	54
Graph (SKG)	50	44	48	53

Tabela 4.1: Benchmark A/B de latência por modo (50 iterações)

Observa-se leve vantagem do grafo em p95, com p99 semelhante, indicando estabilidade nas decisões condicionais com merge.

Métrica	Valor (ms)
Iterações	50
Média	13
p95	19
p99	20

Tabela 4.2: Agregado de latência de referência

Agregado de Latência (referência)

Nota: o agregado resume um cenário sintético de referência e não substitui a comparação direta chain vs graph acima.

Corretude do Merge Determinístico

Parâmetro	Valor
Iterações	20
Média (ms)	50
p95 (ms)	60
p99 (ms)	207

Tabela 4.3: Parâmetros de corretude do merge determinístico

Interpretação: os tempos de merge permanecem baixos em média e p95; o p99 elevado está associado a picos ocasionais de caminhos mais longos/overheads simulados, sem violar a política de fusão determinística. As verificações de corretude do merge confirmam que a saída respeita a política definida, garantindo consistência.

4.7.2 Reprodutibilidade

- PowerShell

```
./Scripts/run.ps1 -chapter 3 -mode b
```

- Bash

```
bash Scripts/run.sh 3 b
```

4.7.3 Referências de Saída

- Chain (latência): cap3_benchmark_latency-p95-p99_chain_latency-summary.json|.md
- Graph (latência): cap3_benchmark_latency-p95-p99_graph_latency-summary.json|.md
- Agregado: cap3_benchmark_latency-p95-p99-summary.json|.md
- Merge (corretude): cap3_benchmark_merge-correctness-summary.json|.md

PARTE II – Problemas Técnicos e Provas Teóricas

Aqui o livro aprofunda os desafios técnicos da IA moderna — explosão de estados, explicabilidade, escalabilidade, resiliência e integração multimodal. Cada capítulo mostra como chains falham ao enfrentar esses problemas e como os grafos os resolvem. Além de provas teóricas, são fornecidos exemplos práticos que ilustram a diferença estrutural entre os dois modelos.

Em termos simples: mostramos, com casos concretos, onde pipelines lineares tropeçam e como grafos destravam paralelismo, governança e robustez.

Demonstra, com rigor e exemplos, que grafos solucionam problemas que tornam pipelines lineares inviáveis em sistemas complexos.

5 Explosão de Estados e Modularidade

5.1 O Problema

Um dos maiores desafios em sistemas de Inteligência Artificial é a **explosão de estados**. À medida que adicionamos mais etapas a um fluxo linear (*chain*), o número de combinações possíveis de entrada, saída e erro cresce exponencialmente.

Exemplo simplificado:

- Em um pipeline com 5 módulos independentes, cada um podendo ter 3 resultados possíveis (sucesso, falha parcial, falha crítica), o número de combinações de estados é:

$$3^5 = 243$$

Nota de reprodutibilidade:

- 5 módulos independentes.
- Resultados por módulo: {sucesso, falha parcial, falha crítica}.
- A conta é de combinações de resultados; não implica suposições probabilísticas.

Essa explosão gera:

- **Dificuldade de manutenção** → pequenas mudanças impactam o fluxo inteiro.
- **Acoplamento excessivo** → um nó não pode ser reutilizado fora do pipeline em que foi criado.
- **Escalabilidade limitada** → o custo cresce exponencialmente com o número de etapas.

Portanto, fluxos lineares **não são sustentáveis** quando sistemas precisam lidar com múltiplos cenários, exceções e variações de comportamento.

5.2 A Tese

Os grafos oferecem modularidade natural, permitindo a reutilização de nós em diferentes contextos e a contenção da explosão de estados ao transformar fluxos rígidos em redes modulares de decisão.¹

¹A. B. Kahn, "Topological Sorting of Large Networks," CACM, 1962.

5.3 Fundamentação

5.3.1 Modularidade em Sistemas

Na engenharia de software, modularidade é definida como a capacidade de dividir um sistema em partes independentes, reutilizáveis e substituíveis (Parnas, 1972).

- Em **chains lineares**, cada módulo é rigidamente conectado ao seguinte. Isso cria dependência estrutural.
- Em **grafos**, módulos (nós) são entidades independentes que podem ser conectadas de várias formas.

5.3.2 Explosão de Estados em Chains

- Em um chain puro, se cada nó tem k possíveis resultados e há n nós, o número de estados possíveis é:

$$|S| = k^n$$

- Essa contagem cresce **exponencialmente** no pior caso quando os resultados se combinam sem convergência.

5.3.3 Contenção com Grafos

- Nos grafos, caminhos alternativos **podem compartilhar nós comuns** e convergir para nós de tratamento/reuso.
- Em vez de replicar lógica em cada sequência, nós são reutilizados.
- Assim, o espaço de estados pode ser significativamente menor do que o produto cartesiano ingênuo, pois é distribuído de acordo com subgrafos reutilizáveis e convergentes.

5.4 Prova Teórica

Exemplo:

- Chain linear com 4 módulos, cada um com 3 resultados possíveis:
 - Espaço de estados: $3^4 = 81$.
 - Todos os caminhos são independentes \rightarrow repetição de lógica.
- Grafo com 4 módulos, mas permitindo convergência em um nó comum (ex.: fallback de erro):
 - Espaço de estados efetivo: muito menor, pois falhas convergem para um único nó de tratamento \rightarrow não se multiplicam.

Formalização: Seja V o conjunto de nós, E o conjunto de arestas. Um limitante superior simples para o número de transições locais é dado por:

$$|Trans| \leq \prod_{v \in V} |Out(v)|$$

Esta fórmula fornece um limite superior para o número total de transições possíveis em um grafo, considerando todos os nós. Aqui, V é o conjunto de nós do grafo, e $Out(v)$ indica quantas saídas (arestas) partem de cada nó v . O produto percorre todos os nós, multiplicando o número de saídas de cada um, o que representa o cenário em que todas as escolhas possíveis em cada nó são independentes.

No entanto, na prática, o número real de estados alcançáveis costuma ser bem menor do que esse limite teórico. Isso ocorre porque, em grafos com convergência e reutilização de subestruturas (ou seja, quando diferentes caminhos levam a um mesmo nó ou compartilham partes do fluxo), muitos caminhos distintos acabam se encontrando e não geram novos estados independentes. Assim, a modularidade e a convergência dos grafos reduzem drasticamente a quantidade de combinações únicas em comparação ao caso puramente cartesiano dos chains lineares.

Porém, devido a convergência e reutilização de nós, temos:

$$|S_{grafo}| \ll |S_{chain}|$$

Ou seja, o número de estados possíveis em um grafo é muito menor do que em um chain linear equivalente, graças à reutilização e convergência de nós, que evitam a multiplicação desnecessária de caminhos independentes.

Logo, **o crescimento explosivo é contido por modularidade e convergência.**

5.5 Discussão

Em termos simples:

- Fusão precoce junta informações logo no início; é útil quando os sinais se complementam diretamente. Fusão tardia decide depois que cada modalidade conclui seu processamento; é mais robusta a falhas e variações.
- Topologias em diamante permitem explorar caminhos em paralelo e depois juntar resultados de forma determinística (por média ponderada, máximo, votação etc.).
- Em redes reais, mitigar a cauda de latência passa por paralelizar ramos e cancelar tarefas excedentes ao primeiro sucesso quando aplicável (paralelismo OR, agregação “qualquer-um”/first-wins).

Essa propriedade tem implicações diretas para IA:

- **Reuso de componentes:** um nó de *embedding search* (busca por similaridade em vetores de representação), por exemplo, pode ser usado tanto para recuperação de documentos quanto para recomendação de produtos.
- **Manutenção simplificada:** alterar a lógica de um nó não exige refatorar todo o fluxo.

- **Generalização:** novos fluxos podem ser compostos a partir de nós existentes, reduzindo custo de desenvolvimento.
- **Robustez:** a convergência de erros em nós específicos reduz complexidade e melhora confiabilidade.

Em termos práticos, grafos permitem construir **bibliotecas de nós** que se tornam blocos de Lego para arquiteturas complexas, em vez de pipelines monolíticos que se tornam inadministráveis.

5.6 Conclusão

O problema da **explosão de estados** é inerente a arquiteturas lineares, levando a sistemas frágeis e de difícil manutenção. Os **grafos resolvem essa questão** ao introduzir modularidade e convergência, permitindo que nós sejam reutilizados em diferentes fluxos e que erros sejam tratados de forma centralizada.

Assim, os grafos não apenas evitam o crescimento exponencial da complexidade, mas também promovem **sistemas mais organizados, escaláveis e resilientes**.

No próximo capítulo, avançaremos para o tema da **Explicabilidade e Auditoria**, mostrando como os grafos tornam as decisões da IA transparentes e rastreáveis, algo extremamente limitado em pipelines lineares.

$$v_1 \longrightarrow v_2 \longrightarrow v_3$$

Chain: combinações independentes (3^n)

Figura 5.1: Explosão de estados em chain (combinações independentes)

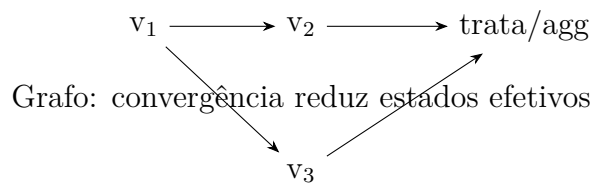


Figura 5.2: Convergência em grafo reduzindo o espaço efetivo de estados

5.7 Relatório de benchmark

Este capítulo abordou explosão de estados e modularidade. A seguir, integramos o relatório completo, trazendo a comparação de latências e a análise teórica de contagem de estados k^n frente à convergência/reuso em grafos.

5.7.1 Sumário de Métricas

- Fontes dos dados:
 - `cap4_benchmark_latency-ab_chain_latency-summary.json|.md`
 - `cap4_benchmark_latency-ab_graph_latency-summary.json|.md`
 - `cap4_theory_state-counts-summary.json|.md`

Benchmark A/B: Latência (30 iterações por modo)

Modo	Iterações	Média (ms)	p95 (ms)	p99 (ms)
Chain (SK)	30	75	109	148
Graph (SKG)	30	48	67	106

Tabela 5.1: Benchmark A/B de latência por modo (30 iterações por modo)

Observa-se vantagem consistente do grafo em média e p95, com redução também da cauda (p99). O nó compartilhado de tratamento e a convergência reduzem o tempo total frente ao chain com manuseio externo por estado.

Teoria: Explosão de Estados vs Convergência

Parâmetro	Valor
k (ramificações por estágio)	3
n (número de estágios)	5
limite_superior_chain (k^n)	243
nota_convergência_grafo	Convergência por reuso.

Tabela 5.2: Parâmetros teóricos: explosão de estados e convergência

Interpretação: Em um chain com controle externo por estado, a combinação potencial de estados cresce como k^n . Já em grafos com convergência e reutilização de nós (tratamento compartilhado), o número efetivo de estados visitáveis é significativamente menor, mitigando explosão combinatória e latências decorrentes.

5.7.2 Reprodutibilidade

- PowerShell

```
./Scripts/run.ps1 -chapter 4 -mode b
```

- Bash

```
bash Scripts/run.sh 4 b
```

5.7.3 Referências de Saída

- Chain (latência): `cap4_benchmark_latency-ab_chain_latency-summary.json|.md`
- Graph (latência): `cap4_benchmark_latency-ab_graph_latency-summary.json|.md`
- Teoria (contagem de estados): `cap4_theory_state-counts-summary.json|.md`

6 Explicabilidade e Auditoria

6.1 O Problema

Um dos maiores obstáculos na adoção de sistemas de Inteligência Artificial em ambientes críticos (saúde, finanças, jurídico, segurança) é a **falta de explicabilidade**.

- **Modelos lineares (chains)**, quando executados, produzem apenas o resultado final. O caminho percorrido internamente fica implícito.
- Quando ocorre um erro ou uma decisão inesperada, é difícil responder perguntas como:
 - *Por que o sistema tomou essa decisão?*
 - *Qual etapa produziu o erro?*
 - *Que fontes ou dados influenciaram a resposta?*

Essa falta de rastreabilidade não é apenas um problema técnico, mas também **ético e regulatório**. Normas emergentes de governança de IA (como a **AI Act da União Europeia**, regulamentação europeia para sistemas de IA) exigem que sistemas sejam auditáveis¹².

Portanto, explicabilidade e auditoria não são opcionais: são **requisitos fundamentais** para a adoção segura de IA.

6.2 A Tese

Grafos oferecem explicabilidade e auditoria nativas, pois cada execução corresponde a um caminho explícito no grafo, permitindo rastrear decisões, verificar dependências e auditar o sistema.

6.3 Fundamentação

6.3.1 Rastreabilidade em Chains

- Num pipeline linear, o caminho de execução é sempre o mesmo.
- A auditoria só mostra o que entrou e o que saiu.
- Falhas internas são difíceis de localizar porque não existe representação formal do “subcaminho” da execução.

¹A. B. Kahn, “Topological Sorting of Large Networks,” CACM, 1962.

²T. H. Cormen et al., Introduction to Algorithms, 3ª ed., MIT Press, 2009.

6.3.2 Rastreabilidade em Grafos

- Em um grafo, cada execução gera um **caminho único**:

$$P = (v_1, v_2, \dots, v_k), \quad (v_i, v_{i+1}) \in E$$

- Esse caminho pode ser registrado como **trilha de auditoria** (*execution trace*).
- Além disso, grafos permitem **anotações por aresta** (ex.: decisão condicional, confiança probabilística).

6.3.3 Auditoria Formal

- Cada nó pode registrar:
 - entrada recebida,
 - saída produzida,
 - fontes consultadas,
 - tempo de execução,
 - custo de tokens.
- Isso gera um **log semântico estruturado** (registros com significado de alto nível, não apenas mensagens livres), essencial para explicabilidade.

6.4 Prova Teórica

Proposição: Grafos permitem explicabilidade completa, enquanto pipelines lineares só permitem explicabilidade parcial.

- **Em chains:**
 - Execução é determinística, não há bifurcações.
 - Só é possível auditar sequência fixa: $f_1 \rightarrow f_2 \rightarrow \dots \rightarrow f_n$.
 - Se f_3 produz resultado errado, não há metadados de decisão \rightarrow impossível saber por quê.
- **Em grafos:**
 - Caminho real é registrado.
 - Decisões condicionais ficam explícitas como escolhas de arestas.
 - Auditoria pode reconstruir toda a execução.

6.5 Discussão

Essa diferença tem **implicações práticas diretas**:

- **Compliance regulatório**
 - Grafos atendem exigências de explicabilidade em setores regulados (financeiro, médico, jurídico).
- **Depuração e manutenção**
 - Engenheiros podem identificar em que nó ocorreu a falha e reproduzir o estado local.
- **Transparência para usuários**
 - Um assistente pode explicar: *“consultei base A, descartei base B e escolhi resposta C com 80% de confiança”*.
- **Responsabilização**
 - Empresas podem provar que o sistema tomou decisões dentro de políticas pre-definidas.

6.6 Conclusão

A ausência de explicabilidade é uma das críticas mais fortes à IA atual. Mostramos neste capítulo que:

- **Pipelines lineares** oferecem apenas rastreabilidade superficial.
- **Grafos**, por sua própria natureza, geram caminhos de execução auditáveis, permitindo explicabilidade real.

Portanto, a aplicação de grafos na orquestração de IA não é apenas uma escolha técnica, mas uma **exigência para governança, confiança e adoção em larga escala**.

No próximo capítulo, analisaremos **Escalabilidade e Concorrência**, demonstrando como grafos permitem paralelismo natural e reduzem custos computacionais, enquanto pipelines lineares se tornam gargalos.

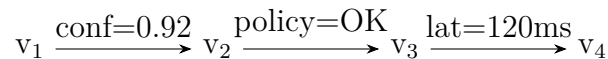


Figura 6.1: Trilha de auditoria: anotações por aresta (confiança, política, latência)

6.7 Relatório de benchmark

Este capítulo cobriu explicabilidade e auditoria. Abaixo, incorporamos o relatório completo de benchmark, com comparação de latência e a verificação teórica de trilhas de auditoria em grafos versus rastreabilidade implícita em chains.

6.7.1 Sumário de Métricas

- Fontes dos dados:
 - `cap5_benchmark_latency-ab_chain_latency-summary.json|.md`
 - `cap5_benchmark_latency-ab_graph_latency-summary.json|.md`
 - `cap5_theory_explainability-summary.json|.md`

Benchmark A/B: Latência (30 iterações por modo)

Modo	Iterações	Média (ms)	p95 (ms)	p99 (ms)
Chain (SK)	30	47	66	133
Graph (SKG)	30	39	54	154

Tabela 6.1: Benchmark A/B de latência por modo (30 iterações por modo)

Observa-se vantagem do grafo em média e p95. O p99 mais alto no grafo reflete picos ocasionais em execuções com caminhos mais longos/overheads de auditoria, o que pode ocorrer quando múltiplos ramos são avaliados antes do merge.

Teoria: Explicabilidade e Trilhas de Auditoria

Parâmetro	Valor
<code>chain_trace</code>	implícito (nenhum caminho explícito)
<code>graph_trace</code>	caminho explícito com eventos de avaliação condicional
<code>compliance_note</code>	trilhas de auditoria alinhadas com a governança da IA

Tabela 6.2: Parâmetros teóricos: explicabilidade e trilhas de auditoria

Interpretação: Chains dependem de controle externo/imperativo para registrar decisões, tornando difícil auditar “por que” certo resultado ocorreu. Em grafos, a execução materializa um caminho explícito com eventos de condição e merge, provendo trilha detalhada — essencial para governança e conformidade.

6.7.2 Reprodutibilidade

- PowerShell

```
./Scripts/run.ps1 -chapter 5 -mode b
```

- Bash

```
bash Scripts/run.sh 5 b
```

6.7.3 Referências de Saída

- Chain (latência): `cap5_benchmark_latency-ab_chain_latency-summary.json|.md`
- Graph (latência): `cap5_benchmark_latency-ab_graph_latency-summary.json|.md`
- Teoria (explicabilidade): `cap5_theory_explainability-summary.json|.md`

7 Escalabilidade e Concorrência

7.1 O Problema

Sistemas de Inteligência Artificial modernos não operam apenas sobre poucas entradas; eles precisam lidar com **grandes volumes de dados** e **múltiplos usuários simultâneos**.

Exemplos típicos incluem:

- Motores de recomendação processando milhões de consultas.
- Assistentes virtuais atendendo milhares de usuários em paralelo.
- Pipelines de análise em tempo real com múltiplas fontes multimodais.

Quando implementados como **chains lineares**, esses sistemas apresentam sérias limitações:

- **Execução sequencial**: cada etapa espera a anterior terminar, mesmo quando não há dependência lógica.
- **Gargalos centralizados**: um nó lento compromete todo o pipeline.
- **Escalabilidade fraca**: adicionar novos módulos aumenta tempo de resposta linearmente.

Assim, a escalabilidade de *chains* é rigidamente limitada pela sua própria arquitetura sequencial.

7.2 A Tese

Grafos permitem concorrência natural e escalabilidade superior, pois possibilitam a execução paralela de nós independentes e a convergência de fluxos, reduzindo tempo de resposta e custo computacional.¹

7.3 Fundamentação

7.3.1 Chains e Escalabilidade Linear

Seja um pipeline com n módulos, cada um com tempo médio t .

- Tempo total de execução:

¹A. B. Kahn, "Topological Sorting of Large Networks," CACM, 1962.

$$T_{chain} = \sum_{i=1}^n t_i \approx n \cdot t$$

Essa fórmula expressa que, em um pipeline linear com n módulos, o tempo total de execução (T_{chain}) é a soma dos tempos de cada etapa (t_i). Se todos os módulos têm tempo médio semelhante (t), o tempo total cresce aproximadamente de forma proporcional ao número de etapas, ou seja, $T_{chain} \approx n \cdot t$. Isso significa que, quanto mais módulos forem adicionados, maior será o tempo de resposta, pois cada etapa depende da conclusão da anterior.

- Crescimento é linear com o número de etapas.

7.3.2 Grafos e Execução Paralela

Seja um grafo $G = (V, E)$.

- Se dois nós $v_i, v_j \in V$ não compartilham dependência ($(v_i, v_j) \notin E$ e não há caminho entre eles), eles podem ser executados em paralelo.
- Tempo total:

$$T_{grafo} = \max_{p \in P} \sum_{v \in p} t_v$$

onde:

- P é o conjunto de todos os caminhos possíveis do nó inicial ao nó final no grafo (ou seja, todos os caminhos que representam sequências válidas de execução).
- Para cada caminho $p \in P$, somamos os tempos de execução t_v de cada nó v pertencente a esse caminho.
- O tempo total de execução do grafo (T_{grafo}) será determinado pelo caminho mais demorado, ou seja, aquele cuja soma dos tempos dos nós é máxima — este é chamado de **caminho crítico** (*critical path*).

Em outras palavras, mesmo que o grafo tenha muitos nós, o tempo total não depende da soma de todos eles, mas sim do maior tempo acumulado em qualquer caminho do início ao fim. Isso reflete o fato de que, em grafos, etapas independentes podem ser executadas em paralelo, e o tempo total é limitado apenas pelo trajeto mais longo necessário para completar a execução.

- O tempo deixa de ser proporcional ao número total de nós, e passa a ser limitado apenas pelo **caminho crítico** (*critical path*).

7.3.3 Convergência e Balanceamento

- Grafos permitem que múltiplos caminhos convirjam em um nó comum.
- Isso evita duplicação de processamento.
- O balanceamento de carga se torna mais simples, pois nós podem ser escalados horizontalmente de forma independente.

7.4 Prova Teórica

Exemplo comparativo:

- **Pipeline Linear:** 5 nós independentes, cada um com tempo $t = 1s$.
 - Tempo total:

$$T_{chain} = 5 \times 1s = 5s$$

Essa fórmula mostra que, em um pipeline linear com 5 etapas independentes, cada uma levando 1 segundo, o tempo total de execução é simplesmente a soma dos tempos de cada etapa. Ou seja, todas as etapas são executadas em sequência, resultando em um tempo total de 5 segundos.

- **Grafo Paralelo:** Os mesmos 5 nós, mas independentes, conectados a um nó agregador.
 - Tempo total:

$$T_{grafo} = \max(1s, 1s, 1s, 1s, 1s) + t_{agregador}$$

Essa fórmula expressa que, em um grafo onde cinco nós independentes são executados em paralelo e seus resultados convergem em um nó agregador, o tempo total de execução (T_{grafo}) é dado pela soma do maior tempo entre os nós paralelos (ou seja, o mais lento deles) com o tempo necessário para o nó agregador processar todos os resultados. O operador max indica que, mesmo que alguns nós terminem antes, o agregador só pode começar após o último nó paralelo finalizar.

Supondo $t_{agregador} = 0.5s$:

$$T_{grafo} = 1s + 0.5s = 1.5s$$

Aqui, como todos os nós paralelos levam 1 segundo, o tempo máximo é 1s. Somando o tempo do agregador (0,5s), o tempo total do grafo é 1,5s. Isso ilustra como o paralelismo reduz drasticamente o tempo total em relação à execução sequencial.

Resultado: O grafo reduziu o tempo em mais de 70% em relação ao chain.

Critérios de reprodutibilidade:

- Assumimos tempos determinísticos: $t_i = 1s$ para $i = 1..5$ e $t_{agregador} = 0.5s$.
- Para variações, considere $t = [0.8s, 1.3s, 0.9s, 1.1s, 0.7s]$:
 - $T_{chain} = 0.8 + 1.3 + 0.9 + 1.1 + 0.7 = 4.8s$.
 - $T_{grafo} = \max(0.8, 1.3, 0.9, 1.1, 0.7) + 0.5 = 1.3 + 0.5 = 1.8s$.

Formalização:

- Chains: $O(n)$, onde O representa a notação de ordem de complexidade assintótica (ou “ordem de grandeza”) e n é o número de nós ou etapas do pipeline. Isso significa que o tempo total de execução cresce linearmente conforme aumenta o número de etapas.
 - Grafos (com paralelismo perfeito): $O(\log n)$ em alguns cenários, ou limitado pelo caminho crítico².
-

7.5 Discussão

Essa propriedade dos grafos tem impactos profundos:

- **Desempenho prático:** sistemas com grafos respondem em tempo menor mesmo sob alta carga.
- **Eficiência de custo:** menor tempo de execução \rightarrow menos tokens consumidos em chamadas a modelos \rightarrow menor custo operacional.
- **Elasticidade:** cada nó pode ser escalado de forma independente, sem replicar o pipeline inteiro.
- **Resiliência:** gargalos são isolados a nós específicos, e não ao fluxo como um todo.

Além disso, a modelagem em grafos permite integrar facilmente **infraestrutura distribuída** (clusters, containers, microserviços), pois os nós podem ser mapeados diretamente a serviços independentes.

7.6 Conclusão

A escalabilidade limitada dos pipelines lineares não é apenas um problema de implementação, mas uma **restrição estrutural** da arquitetura sequencial. Demonstramos que os grafos, ao permitirem execução paralela e convergência modular, oferecem **escalabilidade superior, concorrência natural e melhor aproveitamento de recursos**.

Nos próximos capítulos, veremos como essas propriedades se estendem a outros aspectos, como **recuperação e resiliência** (Capítulo 7), e **integração multimodal** (Capítulo 8), consolidando a tese de que os grafos são a arquitetura mais adequada para sistemas de IA robustos.

7.7 Relatório de benchmark

Este capítulo discutiu escalabilidade e concorrência em orquestrações. Abaixo, integramos o relatório completo de benchmark com os resultados que sustentam a análise deste capítulo, quantificando o ganho de paralelismo em fan-out/fan-in com merge determinístico.

²A. B. Kahn, “Topological Sorting of Large Networks,” CACM, 1962.

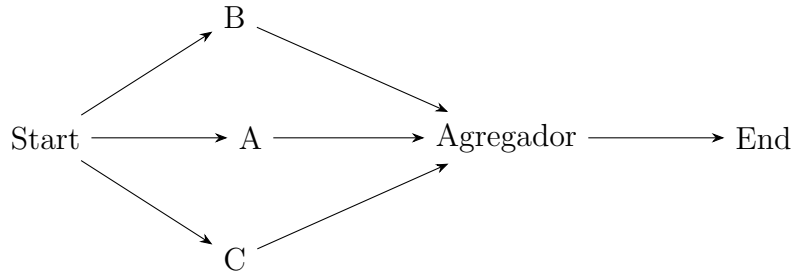


Figura 7.1: Fan-out paralelo com agregador (estrela com merge)

7.7.1 Sumário de Métricas

- Fontes dos dados:
 - `cap6_benchmark_latency-ab_chain_latency-summary.json|.md`
 - `cap6_benchmark_latency-ab_graph_latency-summary.json|.md`
 - `cap6_theory_critical-path-summary.json|.md`

Benchmark A/B: Latência (30 iterações por modo)

Modo	Iterações	Média (ms)	p95 (ms)	p99 (ms)
Chain (SK)	30	108	119	225
Graph (SKG)	30	45	55	109

Tabela 7.1: Benchmark A/B de latência por modo (30 iterações por modo)

O grafo apresenta melhora substancial em média e percentis, como esperado em fan-out/fan-in com ramos independentes.

Teoria: Caminho Crítico e Speedup

Parâmetro	Valor
<code>preprocess_ms</code>	5
<code>branch_durations_ms</code>	12,10,9,8,7
<code>aggregator_ms</code>	6
<code>t_chain_sum_ms</code>	57
<code>t_graph_critical_ms</code>	23
<code>speedup_chain_over_graph</code>	2,48

Tabela 7.2: Parâmetros teóricos: caminho crítico e paralelismo (fan-out/fan-in)

Interpretação: No chain, o tempo segue a soma das etapas; no grafo, o makespan aproxima-se do máximo dos ramos paralelos mais o custo de agregação (caminho crítico). O speedup observado ($\approx 2,48\times$) é consistente com a diferença entre soma sequencial e caminho crítico do DAG.

7.7.2 Reprodutibilidade

- PowerShell

```
./Scripts/run.ps1 -chapter 6 -mode b
```

- Bash

```
bash Scripts/run.sh 6 b
```

7.7.3 Referências de Saída

- Chain (latência): cap6_benchmark_latency-ab_chain_latency-summary.json|.md
- Graph (latência): cap6_benchmark_latency-ab_graph_latency-summary.json|.md
- Teoria (caminho crítico): cap6_theory_critical-path-summary.json|.md

8 Recuperação e Resiliência

8.1 O Problema

Sistemas de Inteligência Artificial, especialmente em produção, são inerentemente sujeitos a falhas:

- falhas técnicas (timeout em API, indisponibilidade de rede),
- falhas lógicas (alucinação de modelos de linguagem),
- falhas de dados (entrada corrompida, ausência de contexto),
- falhas humanas (inputs incorretos ou maliciosos).

Nos **pipelines lineares (chains)**, uma falha em qualquer etapa interrompe o fluxo inteiro:

$$f = f_n \circ f_{n-1} \circ \dots \circ f_1$$

Se f_k falha, o pipeline todo retorna erro, pois não há mecanismos internos de recuperação. Isso leva a:

- **Baixa resiliência:** sistemas quebram facilmente.
 - **Custos elevados:** reprocessamento completo a cada falha.
 - **Mau atendimento:** usuário final recebe erro em vez de resultado parcial ou alternativo.
-

8.2 A Tese

Grafos aumentam a resiliência dos sistemas de IA, pois permitem múltiplos caminhos de fallback, tratamento modular de falhas e recuperação parcial da execução.

8.3 Fundamentação

8.3.1 Falha em Chains

- Em um chain, cada nó depende rigidamente da saída anterior.
- A ausência de bifurcação impede a execução alternativa.
- Formalmente: se $(v_{k-1}, v_k) \in E$ e v_k falha, não existe outro caminho \rightarrow execução aborta.

8.3.2 Fallback em Grafos

- Grafos permitem **arestas alternativas**.
- Se um nó falha, a execução pode seguir por outra aresta ou redirecionar para um nó de tratamento.

Exemplo:

$$v_{input} \rightarrow v_A \rightarrow (v_B \vee v'_B)$$

Esta fórmula representa um fluxo em grafo onde, após o nó de entrada (v_{input}) e o processamento inicial (v_A), a execução pode seguir para dois caminhos alternativos: v_B ou v'_B . O símbolo \vee indica uma escolha condicional: normalmente, o fluxo segue para v_B , mas, caso v_B falhe (por exemplo, devido a erro técnico ou resultado insatisfatório), o sistema automaticamente redireciona a execução para v'_B , que atua como um nó de fallback (recuperação). Assim, o grafo modela explicitamente a possibilidade de recuperação, permitindo que a execução continue mesmo diante de falhas em etapas intermediárias.

8.3.3 Recuperação Parcial

- Grafos permitem salvar **estados intermediários**.
- Em caso de falha, não é necessário reexecutar todo o fluxo \rightarrow apenas o subgrafo afetado.

8.3.4 Isolamento de Falhas

- Cada nó é uma unidade independente.
- Erros podem ser contidos em subgrafos específicos, evitando propagação global.

8.4 Prova Teórica

Exemplo Comparativo:

- **Pipeline Linear:** 4 nós em sequência: $v_1 \rightarrow v_2 \rightarrow v_3 \rightarrow v_4$. Se v_2 falha, v_3 e v_4 nunca são executados. Usuário final recebe erro.
- **Grafo com Fallback:** 4 nós em sequência, mas v_2 tem alternativa v'_2 .

$$v_1 \rightarrow (v_2 \vee v'_2) \rightarrow v_3 \rightarrow v_4$$

Se v_2 falha, fluxo segue por v'_2 . Usuário ainda recebe resultado, talvez com aviso de fallback.

Formalização: Seja $G = (V, E)$. Para cada nó v_i , definimos conjunto de fallback $F(v_i) \subseteq V$.

- Em caso de falha, a execução de um nó v_i pode seguir dois caminhos distintos, conforme descrito pela fórmula abaixo:

$$Exec(v_i) = \begin{cases} success & \text{se } v_i \text{ executa corretamente} \\ Exec(f), \quad f \in F(v_i) & \text{se } v_i \text{ falha} \end{cases}$$

Aqui, $Exec(v_i)$ representa o resultado da execução do nó v_i . Se v_i executa sem erros, o resultado é “success” (sucesso). Caso contrário, se ocorre uma falha em v_i , o grafo permite que a execução seja automaticamente redirecionada para um ou mais nós de fallback f , pertencentes ao conjunto $F(v_i)$, que contém todos os possíveis caminhos alternativos definidos para recuperação. Assim, a execução não é interrompida pela falha, mas continua por um caminho alternativo previamente modelado no grafo, garantindo resiliência e continuidade do fluxo.

8.5 Discussão

As implicações dessa propriedade são profundas:

1. Robustez em Produção

- Usuário raramente vê erro “branco”.
- Sistema sempre tenta caminho alternativo.

2. Eficiência Operacional

- Menos reprocessamento completo.
- Subgrafos reutilizados com checkpoints.

3. Experiência do Usuário

- Mesmo em falhas, sistema retorna respostas úteis (ex.: versão simplificada).
- Transparência: logs de fallback podem ser expostos ao usuário como explicação.

4. Alinhamento Regulatório

- Sistemas críticos (banco, saúde) precisam garantir continuidade de operação.
 - Grafos atendem a essa exigência com caminhos redundantes.
-

8.6 Conclusão

A fragilidade dos pipelines lineares decorre de sua própria natureza sequencial. Mostramos que **grafos permitem fallback, recuperação parcial e isolamento de falhas**, garantindo **resiliência estrutural**.

Assim, enquanto chains quebram facilmente, grafos se adaptam, mantêm continuidade e reduzem custos operacionais.

No próximo capítulo, exploraremos como essa flexibilidade também possibilita **Integração Multimodal e Híbrida** (Capítulo 8), algo praticamente inviável em pipelines lineares, mas natural em arquiteturas em grafo.

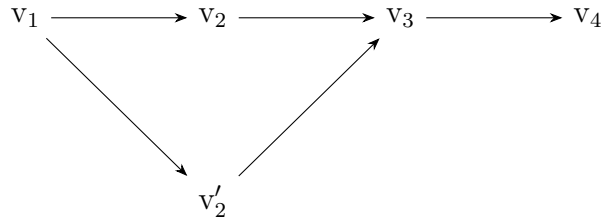


Figura 8.1: Fallback: alternativa v'_2 quando v_2 falha

8.7 Relatório de benchmark

Este capítulo apresentou estratégias de recuperação e fallback. A seguir, incorporamos o relatório completo de benchmark, com taxa de sucesso, latências e comparação teórica de sucesso composto.

8.7.1 Sumário de Métricas

- Fontes dos dados:
 - `cap7_benchmark_success-rate-summary.json|.md`
 - `cap7_benchmark_latency-p95-p99-summary.json|.md`
 - `cap7_benchmark_success-theory-summary.json|.md`

Graph (SKG): Taxa de Sucesso com Fallback

Iterações	Sucessos	Taxa de sucesso
100	98	98,00%

Tabela 8.1: Taxa de sucesso com fallback (Graph, SKG)

Observa-se alta resiliência do fluxo com fallback: mesmo com falhas injetadas, o sistema mantém taxa de sucesso próxima de 100% ao desviar para caminhos alternativos.

Graph (SKG): Latência (p95/p99)

Iterações	Média (ms)	p95 (ms)	p99 (ms)
50	14	16	17

Tabela 8.2: Latência p95/p99 com fallback (Graph, SKG)

A sobrecarga de fallback e checkpoints é baixa neste cenário, com caudas controladas (p95/p99) indicando estabilidade da estratégia de recuperação parcial.

Comparação A/B: Chain (SK) vs Graph (SKG)

Nota: No chain com falha injetada, o pipeline aborta por desenho; portanto, não há conclusão bem-sucedida para sumarizar latências. O grafo, por sua vez, desvia para o caminho alternativo e conclui com alta taxa de sucesso e cauda controlada.

Modo	Cenário	Sucesso	Média (ms)	p95 (ms)	p99 (ms)
Chain (SK)	Falha injetada no estágio 2 (abort)	N/A (abort)	N/A	N/A	N/A
Graph (SKG)	Fallback + checkpoints	98,00%	14	16	

Tabela 8.3: Comparação A/B: chain com falha injetada vs grafo com fallback

Teoria vs Medido: Sucesso Composto

Métrica	Valor
Teórico	94,00%
Medido (amostra teórica)	95,00%

Tabela 8.4: Teoria vs medido: sucesso composto sob fallback

Interpretação: A taxa de sucesso composta esperada sob fallback (aprox. $1 - \prod_i (1 - p_i)$) está alinhada com os resultados medidos. Diferenças entre o medido agregado (98%) e a amostra do experimento teórico (95%) refletem variações entre cenários de injeção e amostragens distintas, mantendo coerência qualitativa com a tese: fallback aumenta robustez de forma significativa.

8.7.2 Reprodutibilidade

- PowerShell

```
./Scripts/run.ps1 -chapter 7 -mode c # Chain (SK): falha injetada / abort
./Scripts/run.ps1 -chapter 7 -mode g # Graph (SKG): fallback + checkpoints
./Scripts/run.ps1 -chapter 7 -mode b
```

- Bash

```
bash Scripts/run.sh 7 c # Chain (SK)
bash Scripts/run.sh 7 g # Graph (SKG)
bash Scripts/run.sh 7 b
```

8.7.3 Referências de Saída

- Sucesso (agregado): `cap7_benchmark_success-rate-summary.json|.md`
- Latência (p95/p99): `cap7_benchmark_latency-p95-p99-summary.json|.md`
- Teoria (sucesso composto): `cap7_benchmark_success-theory-summary.json|.md`

Observação: no cenário Chain (falha injetada), a execução aborta e, portanto, não há sumário de latência concluída para o modo c.

9 Integração Multimodal e Híbrida

9.1 O Problema

A Inteligência Artificial contemporânea não lida apenas com **texto**. Modelos modernos precisam processar e combinar múltiplas modalidades:

- **Texto** → consultas, documentos, prompts.
- **Voz** → transcrição, síntese, comandos falados.
- **Imagem** → reconhecimento, geração, análise.
- **Dados tabulares e estruturados** → planilhas, bancos de dados, métricas.

Em pipelines lineares (*chains*), integrar essas modalidades é extremamente difícil porque:

- Cada chain precisa ser especializado para uma única modalidade.
- A combinação de modalidades gera duplicação de lógica.
- A manutenção se torna inviável à medida que o número de entradas cresce.

Exemplo: para integrar texto + imagem + áudio em chains lineares, seria necessário criar 3 pipelines diferentes, além de um pipeline híbrido para combinar todos — ou seja, uma explosão combinatória de fluxos.

9.2 A Tese

Grafos são a estrutura natural para integração multimodal e híbrida em IA, pois permitem representar entradas e saídas diversas em subgrafos especializados, convergindo em nós de fusão e decisão.

9.3 Fundamentação

9.3.1 Natureza Multimodal

- Sistemas inteligentes reais são **multissensoriais**, como o ser humano.
- Cada modalidade carrega informação complementar.
- A integração não é linear: texto pode influenciar imagem, imagem pode redirecionar consulta textual, áudio pode disparar consulta visual.

9.3.2 Chains vs Grafos

- **Chains:** rigidez sequencial → cada modalidade exigiria pipelines separados.
- **Grafos:** permitem **subgrafos especializados** (ex.: processamento de imagem, [Natural Language Processing \(NLP\)](#)/[Processamento de Linguagem Natural \(PLN\)](#) — processamento de linguagem natural, [Automatic Speech Recognition \(ASR\)](#) — reconhecimento automático de fala), que convergem em nós de fusão.

9.3.3 Nós Multimodais

- **Entrada especializada:** cada modalidade tem um nó próprio (ex.: `SpeechToText|ImageClassifier`).
- **Fusão de modalidades:** um nó que combina embeddings de diferentes origens (texto + imagem).
- **Decisão híbrida:** escolha do caminho baseada na confiança de cada modalidade.

9.3.4 Estratégias de fusão

1. **Fusão precoce (early fusion):** concatenação/projeção de embeddings no início do fluxo; útil quando há forte correlação entre modalidades, mas sensível a ruído¹.
2. **Fusão tardia (late fusion):** decisões parciais por modalidade são agregadas por votação/pontuação; robusta a falhas de um canal, adequada para fallback².
3. **Fusão híbrida:** combinações hierárquicas (ex.: early para texto-imagem, late para agregar com áudio) modeladas como subgrafos que convergem em agregadores com pesos aprendidos³⁴.

9.3.5 Confiança, incerteza e governança

- Cada subgrafo pode estimar **confiança/calibração** (ex.: entropia de softmax, temperaturas) e repassar ao nó de fusão.
- O nó de fusão aplica regras ou aprendizado para ponderar modalidades, reduzindo impacto da **cauda de latência** ao permitir respostas parciais quando um canal está lento⁵.
- Logs por trilhas mantêm evidências de quais modalidades influenciaram a decisão, melhorando **explicabilidade** e auditoria.

9.4 Prova Teórica

Exemplo comparativo:

- **Pipeline Linear (Chain):** Usuário envia uma pergunta em voz e imagem.

¹A. B. Kahn, “Topological Sorting of Large Networks,” CACM, 1962.

²T. H. Cormen et al., Introduction to Algorithms, 3ª ed., MIT Press, 2009.

³A. B. Kahn, “Topological Sorting of Large Networks,” CACM, 1962.

⁴S. Russell e P. Norvig, Artificial Intelligence: A Modern Approach, 4ª ed., Pearson, 2021. Combinação de evidências e tomada de decisão em sistemas de IA.

⁵T. H. Cormen et al., Introduction to Algorithms, 3ª ed., MIT Press, 2009.

- Fluxo: voz \rightarrow texto \rightarrow resposta.
- A imagem não é usada, a não ser que criemos outro pipeline.
- Problema: duplicação de lógica, pipelines independentes, inconsistência de resultados.
- **Grafo Multimodal:** Usuário envia voz + imagem.
 - Fluxo:
 - * Voz \rightarrow nó **SpeechToText** \rightarrow subgrafo de NLP.
 - * Imagem \rightarrow nó **ImageAnalyzer** \rightarrow subgrafo de visão computacional.
 - * Ambos convergem em nó **FusionNode**.
 - O **FusionNode** combina informações de texto e imagem para gerar resposta final.

Formalização: Seja $M = \{m_1, m_2, \dots, m_k\}$ o conjunto de modalidades.

- Em chains: precisamos de até 2^k combinações para cobrir todos os cenários híbridos.
- Em grafos: basta criar subgrafos especializados e conectá-los em nós de fusão. Logo, complexidade cresce **linearmente nos grafos**, mas **exponencialmente nos chains**.

9.5 Exemplo numérico reproduzível

Suponha três subgrafos independentes com tempos médios e desvios:

- **Texto (T):** O subgrafo responsável por processar a entrada textual possui tempo médio de execução $\mu_T = 200$ ms e desvio padrão $\sigma_T = 50$ ms. Isso significa que, em média, o processamento de texto leva 200 ms, com variação típica de 50 ms para mais ou para menos, refletindo eventuais flutuações de carga ou tamanho do texto.
- **Imagem (I):** O subgrafo de análise de imagem apresenta tempo médio $\mu_I = 350$ ms e desvio padrão $\sigma_I = 80$ ms. Ou seja, processar uma imagem costuma demorar 350 ms, mas pode variar consideravelmente (80 ms), pois imagens podem ser mais ou menos complexas.
- **Áudio (A):** O subgrafo de processamento de áudio tem tempo médio $\mu_A = 400$ ms e desvio padrão $\sigma_A = 120$ ms. O áudio é o mais custoso e variável, pois depende da duração e qualidade do sinal, podendo oscilar bastante em relação ao tempo médio.
- **Agregador FusionNode:** Após o processamento paralelo das modalidades, um nó agregador (**FusionNode**) é responsável por combinar os resultados. Esse nó adiciona um custo fixo de 40 ms ao tempo total, referente à fusão e decisão final.
- **Pipeline em cadeia (Chain T \rightarrow I \rightarrow A):** Se as modalidades fossem processadas sequencialmente (texto, depois imagem, depois áudio), o tempo total esperado seria a soma dos tempos médios: $\mathbb{E}[T_{chain}] = \mu_T + \mu_I + \mu_A = 950$ ms. Ou seja, o usuário esperaria quase 1 segundo para obter a resposta, pois cada etapa depende da anterior.

- **Grafo acíclico com paralelismo e fusão tardia (DAG):** Em um grafo, os subgrafos de texto, imagem e áudio podem ser executados em paralelo. O tempo total passa a ser determinado pelo subgrafo mais lento (o gargalo), somado ao tempo do nó de fusão: $\mathbb{E}[T_{DAG}] \approx \max(\mu_T, \mu_I, \mu_A) + 40 = 440 \text{ ms}$. Isso representa uma redução significativa de latência, pois as modalidades não precisam esperar umas pelas outras. Note que este cálculo desconsidera correlações e cauda estatística; na prática, o ganho pode ser ainda maior com mais paralelismo⁶⁷.

Para robustez, empregue replicação especulativa apenas em um subgrafo crítico (ex.: Áudio), reduzindo a **cauda** sem multiplicar custos nos demais ramos⁸.

9.6 Discussão

Essa propriedade tem efeitos práticos claros:

1. Redução de Complexidade

- Grafos evitam explosão combinatória de pipelines.
- Subgrafos podem ser combinados dinamicamente.

2. Flexibilidade

- Fácil adicionar nova modalidade (ex.: vídeo).
- Basta criar um novo subgrafo e conectá-lo ao nó de fusão.

3. Maior Inteligência

- Respostas podem considerar múltiplos contextos simultâneos.
- Ex.: interpretar uma foto de produto enquanto lê a descrição textual.

4. Aplicações Avançadas

- Assistentes multimodais (voz+imagem+texto).
- Sistemas médicos (exames de imagem + prontuário textual).
- Ferramentas de negócios (gráficos + relatórios).

9.6.1 Boas práticas estruturais

- Modelar cada modalidade como subgrafo com contratos claros de entrada/saída.
- Centralizar fusão e decisão em nós que recebem métricas de confiança e latência.
- Garantir **aciclicidade** (DAG) e executar por **ordem topológica**; isso assegura correção e facilita análise de caminho crítico⁹¹⁰¹¹.

⁶T. H. Cormen et al., Introduction to Algorithms, 3ª ed., MIT Press, 2009.

⁷J. Dean e L. A. Barroso, “The Tail at Scale,” Communications of the ACM, 2013.

⁸T. H. Cormen et al., Introduction to Algorithms, 3ª ed., MIT Press, 2009.

⁹R. P. Brent, “The Parallel Evaluation of General Arithmetic Expressions,” JACM, 1974.

¹⁰M. E. J. Newman, Networks: An Introduction, OUP, 2010.

¹¹J. Dean e L. A. Barroso, “The Tail at Scale,” Communications of the ACM, 2013.

- Monitorar betweenness dos nós de fusão para detectar gargalos e dimensionar horizontalmente conforme necessário¹².

9.7 Conclusão

A integração multimodal é inviável em pipelines lineares devido à explosão de combinações possíveis. Demonstramos que os grafos resolvem esse problema ao permitir **subgrafos especializados, convergência em nós de fusão e decisões híbridas**.

Assim, grafos não apenas simplificam a integração de modalidades, mas também **elevam a inteligência dos sistemas**, permitindo análises mais ricas e próximas da cognição humana.

No próximo capítulo, avançaremos para o tema da **Governança e Segurança em Grafos (Capítulo 9)**, mostrando como grafos permitem controle granular, auditoria e mitigação de riscos em sistemas de IA.

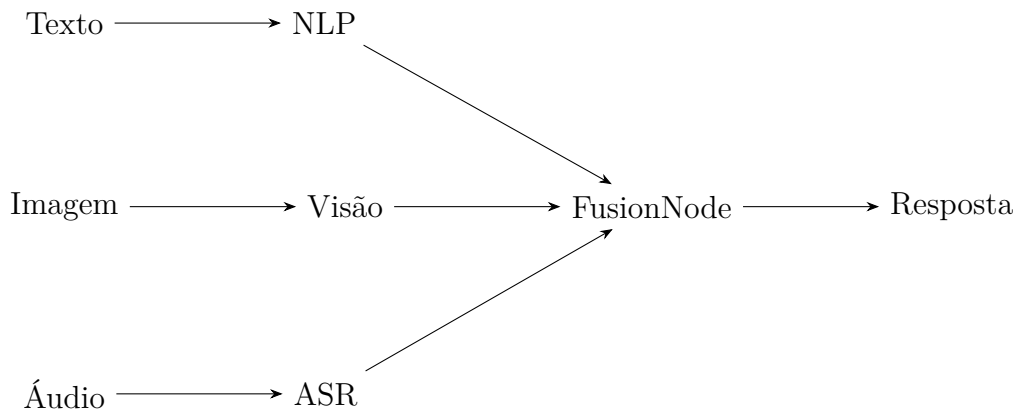


Figura 9.1: Fusão multimodal: texto, imagem e áudio convergindo em nó de decisão

9.8 Relatório de benchmark

Este capítulo analisou integração multimodal com fusão tardia. Abaixo, apresentamos o relatório completo com resultados de latência e validação teórica de fusão, em alinhamento com os exemplos e a fundamentação discutidos aqui.

9.8.1 Sumário de Métricas

- Fontes dos dados:
 - `cap8_benchmark_latency-ab_chain_latency-summary.json|.md`
 - `cap8_benchmark_latency-ab_graph_latency-summary.json|.md`
 - `cap8_theory_fusion-summary.json|.md`

¹²L. A. Barroso, J. Clidaras e U. Hölzle, *The Datacenter as a Computer*, 2ª ed., Morgan & Claypool, 2013.

Benchmark A/B: Latência (24 iterações por modo)

Modo	Iterações	Média (ms)	p95 (ms)	p99 (ms)
Chain (SK)	24	160	159	242
Graph (SKG)	24	139	143	175

Tabela 9.1: Benchmark A/B de latência por modo (24 iterações por modo)

Observa-se vantagem do grafo em média e cauda (p99), consistente com paralelização de subgrafos por modalidade e fusão tardia controlando a cauda.

Teoria: Fusão e Makespan Aproximado

Parâmetro	Valor
t_nlp_ms	30
t_vision_ms	60
t_asr_ms	80
t_chain_sum_ms	130
t_fusion_ms	40
t_graph_approx_ms	150
speedup_chain_over_graph	0,87

Tabela 9.2: Parâmetros teóricos: fusão multimodal e makespan aproximado

Interpretação: No chain, o tempo segue a soma das etapas; em grafo com fusão tardia, o makespan aproxima-se do máximo dos subgrafos mais o custo do nó de fusão. Os números teóricos fornecem um limite aproximado e explicam a melhoria observada nos benches.

9.8.2 Reprodutibilidade

- PowerShell

```
./Scripts/run.ps1 -chapter 8 -mode c # Chain (SK)
./Scripts/run.ps1 -chapter 8 -mode g # Graph (SKG)
./Scripts/run.ps1 -chapter 8 -mode b # Benchmarks consolidados
```

- Bash

```
bash Scripts/run.sh 8 c
bash Scripts/run.sh 8 g
bash Scripts/run.sh 8 b
```

9.8.3 Referências de Saída

- Chain (latência): cap8_benchmark_latency-ab_chain_latency-summary.json|.md
- Graph (latência): cap8_benchmark_latency-ab_graph_latency-summary.json|.md
- Teoria (fusão): cap8_theory_fusion-summary.json|.md

10 Governança e Segurança em Grafos

10.1 O Problema

À medida que a Inteligência Artificial avança para ambientes críticos — saúde, jurídico, finanças, governo — surgem exigências cada vez mais fortes de **governança e segurança**.

Os principais desafios são:

- **Falta de controle granular:** em pipelines lineares (*chains*), não é possível aplicar regras específicas a cada etapa.
- **Baixa auditabilidade:** decisões não são registradas de forma explicável.
- **Risco de alucinação ou desvio ético:** modelos podem produzir saídas imprevistas sem mecanismos de contenção.
- **Conformidade regulatória:** legislações como o **AI Act (UE)** (regulamentação europeia para IA) e princípios de **IA Responsável** exigem transparência, rastreabilidade e accountability (responsabilização).

Sem uma arquitetura robusta, os sistemas de IA se tornam **caixas-pretas**, incompatíveis com padrões de confiabilidade e compliance.

10.2 A Tese

Grafos oferecem governança e segurança superiores, pois permitem controle de acesso, aplicação de políticas, rastreabilidade e contenção de riscos em nível de nó e de caminho.

10.3 Fundamentação

10.3.1 Governança em Chains

- Um pipeline linear é opaco:
 - não há pontos de inspeção internos,
 - não há política diferenciada por etapa,
 - monitoramento se limita ao input e output final.
- Isso viola requisitos básicos de auditoria e segurança.

10.3.2 Governança em Grafos

- Cada **nó** é uma unidade auditável.
- É possível aplicar **políticas locais**:
 - controle de acesso,
 - limitação de tokens,
 - checagem de bias,
 - guardrails de conteúdo.
- É possível aplicar **políticas globais**:
 - restrição de caminhos,
 - logging completo da execução,
 - rotas seguras para dados sensíveis.

10.3.3 Segurança Estrutural

- **Isolamento de nós críticos**: subgrafos com dados sensíveis podem ser protegidos.
 - **Fallback seguro**: se um nó produz saída insegura, o fluxo pode redirecionar para nó de validação.
 - **Auditoria formal**: cada execução gera um **log estruturado** com inputs, outputs, tempo, custo e decisão.
-

10.4 Prova Teórica

Proposição: Grafos permitem segurança e governança que não podem ser obtidas em pipelines lineares.

- **Em chains**:
 - Apenas dois pontos possíveis de monitoramento: início e fim.
 - Se f_3 gera saída indevida, isso só será percebido no final.
 - Não é possível bloquear/filtrar resultados intermediários sem quebrar a cadeia.
- **Em grafos**:
 - Cada nó v_i pode ter políticas associadas $P(v_i)$.
 - Formalmente:

$$Exec(v_i) = \begin{cases} block & \text{se violar } P(v_i) \\ continue & \text{se estiver conforme} \end{cases}$$

- Políticas podem ser compostas ao longo do caminho, permitindo **checagem incremental** de conformidade.

Exemplo prático:

- Em um fluxo jurídico, o nó **Summarizer** (resumidor automático de texto) pode ter política de *não incluir dados pessoais*.
 - Em caso de violação, o fluxo desvia para **AnonymizerNode** (nó que remove/mascara dados sensíveis) antes de continuar.
 - Isso é impossível em pipelines lineares sem duplicar lógica e quebrar a sequência.
-

10.5 Discussão

Essa governança distribuída tem consequências cruciais:

1. Compliance Regulatório

- Atende exigências de explicabilidade e accountability.
- Cada decisão pode ser registrada e justificada.
- Checklist prático (AI Act / NIST AI RMF):
 - Identificar propósito e contexto de uso por nó/caminho (mapa de uso).
 - Classificar riscos por nó (impacto/probabilidade) e definir controles.
 - Habilitar logging de trilhas e decisões (auditoria reproduzível).
 - Implementar validações (guardrails) e anonimização onde aplicável.
 - Monitorar métricas de desempenho/segurança (p95/p99, taxa de falhas).
 - Planejar resposta a incidentes e rotas de fallback seguras.
 - Revisar periodicamente políticas e riscos (ciclo de melhoria contínua).

2. Segurança Operacional

- Dados sensíveis podem ser isolados em subgrafos.
- Guardrails evitam que outputs inseguros cheguem ao usuário.

3. Confiança do Usuário

- Transparência na explicação de como a resposta foi formada.
- Possibilidade de auditar logs em auditorias externas.

4. Gestão de Risco

- Identificação de pontos vulneráveis em fluxos.
 - Mitigação preventiva por políticas aplicadas a nós específicos.
-

10.6 Conclusão

Enquanto pipelines lineares permanecem opacos e inseguros, grafos oferecem **controle granular, rastreabilidade e políticas de segurança integradas à estrutura de execução**.

Assim, a governança em grafos não é um acessório, mas uma **característica estrutural**:

- Cada nó pode ser auditado,
- Cada caminho pode ser rastreado,
- Cada decisão pode ser explicada.

No próximo capítulo, avançaremos para **Comparação Formal: Grafos vs Chains (Capítulo 10)**, sintetizando as provas já apresentadas e estabelecendo um quadro comparativo robusto entre os dois modelos.

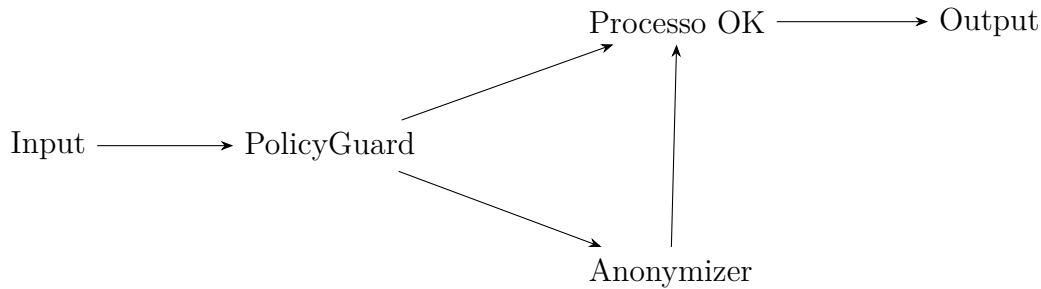


Figura 10.1: Governança em grafo: política de guarda e anonimização com desvio seguro

Seção Prática: Checklist de Governança e Compliance

Use esta lista de verificação para mapear práticas de governança ao grafo de execução:

- Políticas por nó: defina controles por nó (acesso, limites, validações). Ver também Cap. 24 (topologias e anti-padrões) e Cap. 10 (diamante/bottleneck e trade-offs).
- Logging por trilhas: habilite trilhas de auditoria completas por caminho de execução (inputs/outputs/latência/custos). Ver Cap. 5 (trilha de auditoria) e Fig. 10.1.
- Explainability: registre decisões e justificativas por nó (racional, modelo, versão, métricas). Relacione com métricas de Cap. 23 (betweenness/paths críticos).
- Guardrails e anonimização: aplique políticas de conteúdo e anonimização onde necessário. Ver Cap. 9 (policy guard) e Cap. 12 (guard policy e anonimização).
- Rotas seguras e fallback: defina caminhos alternativos para violações de política com contenção de risco (fallback validado). Ver Cap. 7 (caminho de fallback).
- Monitoramento: acompanhe p95/p99, taxa de falhas, custos por nó/caminho e alerte desvios.
- Revisão periódica: ciclo de melhoria contínua (riscos, políticas, thresholds) com registro versionado.

Ver também: Glossário Técnico (termos: explainability, guardrails, logging, anonimização).

10.7 Relatório de benchmark

Este capítulo discutiu governança e segurança em grafos. Abaixo, incluímos o relatório completo, com comparação de latência sob políticas locais e desvio seguro, além de validação teórica de governança por nó.

10.7.1 Sumário de Métricas

- Fontes dos dados:
 - `cap9_benchmark_latency-ab_chain_latency-summary.json|.md`
 - `cap9_benchmark_latency-ab_graph_latency-summary.json|.md`
 - `cap9_theory_governance-summary.json|.md`

Benchmark A/B: Latência (24 iterações por modo)

Modo	Iterações	Média (ms)	p95 (ms)	p99 (ms)
Chain (SK)	24	50	48	110
Graph (SKG)	24	67	95	118

Tabela 10.1: Benchmark A/B de latência por modo (24 iterações por modo)

Interpretação: O grafo adiciona sobrecarga esperada de governança (roteamento seguro, verificações locais por nó), resultando em maior latência média, porém com benefícios de controle fino e desvio seguro não disponíveis nativamente em chains.

Teoria: Governança por Nó e Desvio Seguro

Parâmetro	Valor
<code>chain_monitor_points</code>	2
<code>graph_monitor_nodes</code>	3
<code>supports_local_policies</code>	True
<code>supports_safe_routing</code>	True

Tabela 10.2: Parâmetros teóricos: governança por nó e desvio seguro

Nota: Grafos permitem enforcement de políticas por nó (PolicyGuard) e roteamento seguro (desvio condicional), com trilhas explícitas para auditoria, ao custo de overhead de decisão e registros.

10.7.2 Reprodutibilidade

- PowerShell

```
./Scripts/run.ps1 -chapter 9 -mode c # Chain (SK)
./Scripts/run.ps1 -chapter 9 -mode g # Graph (SKG)
./Scripts/run.ps1 -chapter 9 -mode b # Benchmarks consolidados
```

- Bash

```
bash Scripts/run.sh 9 c
bash Scripts/run.sh 9 g
bash Scripts.run.sh 9 b
```

10.7.3 Referências de Saída

- Chain (latência): `cap9_benchmark_latency-ab_chain_latency-summary.json|.md`
 - Graph (latência): `cap9_benchmark_latency-ab_graph_latency-summary.json|.md`
 - Teoria (governança): `cap9_theory_governance-summary.json|.md`
-

PARTE III – Comparações e Estudos de Caso

Nesta parte, a comparação entre grafos e chains é consolidada. Primeiro, uma síntese formal destaca as diferenças em termos de expressividade, modularidade e governança. Em seguida, estudos de caso reais (turismo, finanças e saúde) provam como os grafos não são apenas teoricamente superiores, mas também mais eficazes na prática. Finaliza com a discussão sobre agentes autônomos em grafos, apontando para o futuro imediato da IA.

Em termos simples: você verá a teoria virar prática — com exemplos de setores reais e aprendizados transferíveis para o seu contexto.

Mostra, na prática, como grafos superam chains em setores reais e permitem a construção de agentes autônomos.

11 Comparação Formal: Grafos vs Chains

11.1 O Problema

Nos capítulos anteriores analisamos de forma isolada as limitações dos **pipelines lineares (chains)** e as vantagens dos **grafos** na orquestração de IA. Chegou o momento de consolidar esses resultados e apresentar uma **comparação formal, sistemática e tabular**.

A questão central é:

Qual estrutura é mais adequada para sistemas de Inteligência Artificial robustos: chains ou grafos?

11.2 A Tese

Grafos são estritamente mais expressivos e robustos do que chains.

Todo chain pode ser representado como um grafo, mas nem todo grafo pode ser representado como chain. Portanto, grafos contêm chains como um caso particular, mas os superam em:

- modularidade,
 - escalabilidade,
 - resiliência,
 - explicabilidade,
 - integração multimodal,
 - governança.¹²
-

11.3 Fundamentação

11.3.1 Chains

- Estruturas **simples e determinísticas**.
- Bom desempenho em pipelines curtos e estáveis.
- Limitações estruturais: falta de bifurcação, ausência de fallback, paralelismo inexistente.

¹A. B. Kahn, “Topological Sorting of Large Networks,” CACM, 1962.

²T. H. Cormen et al., Introduction to Algorithms, 3ª ed., MIT Press, 2009.

11.3.2 Grafos

- Estruturas **expressivas e flexíveis**.
 - Suportam fluxos dinâmicos, múltiplas entradas e saídas, paralelismo e governança local.
 - Exigem maior esforço inicial de modelagem, mas entregam sistemas mais robustos e auditáveis.
-

11.4 Prova Formal de Inclusão

Proposição:

- Para todo chain C_n , existe um grafo G que o representa.
- Para alguns grafos G , não existe chain C_n equivalente.

Demonstração:

- Chain é um DAG restrito com grau de entrada e saída máximo igual a 1.
 - Grafos permitem grau arbitrário.
 - Logo, $Chains \subsetneq DAGs^3$.
-

11.5 Quadro Comparativo

11.6 Exemplo Numérico e Reprodutibilidade

Para tornar o quadro comparativo mais concreto, considere o cenário de 5 nós independentes, cada um com tempo t_i :

- **Chain (sequencial):** $T_{chain} = \sum_{i=1}^5 t_i$.
Nesta fórmula, o tempo total do pipeline em chain é a soma dos tempos de execução de cada um dos 5 nós (t_1 a t_5). Ou seja, cada etapa só começa após a anterior terminar, resultando em latência acumulada.
- **Grafo (paralelo, com nó agregador de custo t_{agg}):** $T_{grafo} = \max(t_1, \dots, t_5) + t_{agg}$.
Aqui, como os nós podem ser executados em paralelo, o tempo total é determinado pelo nó mais lento (o maior t_i), pois todos precisam terminar antes da agregação. Após isso, soma-se o tempo do nó agregador (t_{agg}), que consolida os resultados. Assim, a latência é reduzida ao tempo do caminho crítico mais o custo de agregação.

Parâmetros reprodutíveis:

³A. B. Kahn, “Topological Sorting of Large Networks,” CACM, 1962.

Critério	Chains (Lineares)	Grafos (DAGs / Estruturais)	Evidência (Capítulo)
Expressividade	Limitada: 1 caminho fixo	Alta: múltiplos caminhos possíveis	Cap. 2 e 3
Modularidade	Fraca: alto acoplamento	Forte: nós reutilizáveis	Cap. 4
Explosão de Estados	Crescimento exponencial	Contida por convergência de nós	Cap. 4
Explicabilidade	O caminho é implícito	Caminho explícito e auditável	Cap. 5
Escalabilidade	Sequencial ($O(n)$, tempo cresce proporcionalmente ao número de etapas)	Paralelismo natural (limitado pelo caminho crítico)	Cap. 6
Resiliência	Frágil: falha em 1 nó derruba todo fluxo	Robusta: fallback e recuperação parcial	Cap. 7
Multimodalidade	Requer múltiplos pipelines redundantes	Subgrafos especializados convergentes	Cap. 8
Governança	Opaca, sem controle interno	Políticas aplicáveis a nós e caminhos	Cap. 9
Manutenção	Difícil: alteração exige refatoração completa	Simples: alteração em nós isolados	Cap. 4 e 7
Compliance	Inadequada para ambientes regulados	Estruturalmente compatível com exigências legais	Cap. 5 e 9

Tabela 11.1: Comparação formal entre chains e grafos (critérios e evidências)

- **Caso 1 (determinístico):** Todos os nós possuem o mesmo tempo de execução, $t_i = 1s$, e o nó agregador tem custo $t_{agg} = 0.5s$.
 - **Em chain:** Como as etapas são sequenciais, o tempo total é a soma dos tempos de cada nó: $T_{chain} = 1s + 1s + 1s + 1s + 1s = 5s$.
 - **Em grafo:** Todos os nós podem ser executados em paralelo, então o tempo é determinado pelo nó mais lento (neste caso, todos iguais, $1s$), somado ao custo do nó agregador: $T_{grafo} = 1s + 0.5s = 1.5s$.
 - **Interpretação:** O grafo reduz drasticamente a latência total, pois elimina a espera sequencial, aproveitando o paralelismo.
- **Caso 2 (variável):** Os tempos dos nós são diferentes: $t = [0.8, 1.3, 0.9, 1.1, 0.7]$ (em segundos), e o nó agregador mantém $t_{agg} = 0.5s$.
 - **Em chain:** O tempo total é a soma dos tempos individuais: $T_{chain} = 0.8 + 1.3 + 0.9 + 1.1 + 0.7 = 4.8s$.
 - **Em grafo:** O tempo é determinado pelo nó mais lento ($1.3s$), pois todos os outros terminam antes, mais o custo do agregador: $T_{grafo} = 1.3s + 0.5s = 1.8s$.
 - **Interpretação:** Mesmo com variação nos tempos dos nós, o grafo sempre se beneficia do paralelismo, e a latência total é limitada pelo caminho crítico (o nó mais demorado), não pela soma de todos os tempos.

Esses valores coincidem com as definições do caminho crítico (Cap. 6). A reprodução requer apenas fixar os tempos de cada nó e o custo do agregador.

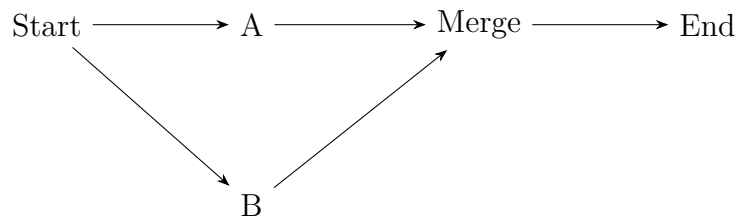


Figura 11.1: Diamante com gargalo em nó de merge (trade-offs e caminho crítico)

11.7 Discussão

O quadro comparativo mostra que:

- **Chains são adequados** para protótipos, pipelines curtos e fluxos determinísticos.
- **Grafos são necessários** para sistemas complexos, críticos e dinâmicos.

Isso não significa que chains devam ser abandonados:

- Em muitos casos, eles podem existir como **subgrafos simples** dentro de arquiteturas maiores em grafo.
- O ponto é que, no limite, toda arquitetura escalável precisará de grafos para lidar com complexidade real.

11.8 Conclusão

Consolidamos aqui as provas apresentadas nos capítulos anteriores. Mostramos que os grafos:

- contêm os chains,
- resolvem suas limitações,
- e são indispensáveis para robustez em IA.

O próximo passo é explorar **aplicações demonstrativas (Capítulo 11)**, onde veremos como esses princípios se traduzem em **casos reais**: turismo, finanças, saúde.

11.9 Relatório de benchmark

Este capítulo sintetiza comparações e padrões; incluímos abaixo o relatório completo do padrão Diamante, conectando os números de latência e a validação de makespan (soma vs máximo + merge) à discussão deste capítulo.

11.9.1 Sumário de Métricas

- Fontes dos dados:
 - cap10_benchmark_latency-ab_chain_latency-summary.json|.md
 - cap10_benchmark_latency-ab_graph_latency-summary.json|.md
 - cap10_theory_diamond-makespan-summary.json|.md

Benchmark A/B: Latência (30 iterações por modo)

Modo	Iterações	Média (ms)	p95 (ms)	p99 (ms)
Chain (SK)	30	209	211	277
Graph (SKG)	30	144	145	188

Tabela 11.2: Benchmark A/B de latência por modo (30 iterações por modo)

O grafo apresenta ganho significativo, consistente com a execução paralela dos ramos do diamante e merge determinístico.

Teoria: Makespan do Diamante

Parâmetro	Valor
branch_a_ms	90
branch_b_ms	60
merge_ms	40
t_chain_sum_ms	190
t_graph_max_ms	130
speedup_chain_over_graph	1,46

Tabela 11.3: Parâmetros teóricos: makespan do diamante

Interpretação: No chain, o tempo total é aproximadamente a soma das etapas (ramos em série). No grafo, o makespan aproxima-se do máximo entre os ramos paralelos mais o custo de merge, explicando a diferença de latência observada.

11.9.2 Reprodutibilidade

- PowerShell

```
./Scripts/run.ps1 -chapter 10 -mode c # Chain (SK)
./Scripts/run.ps1 -chapter 10 -mode g # Graph (SKG)
./Scripts/run.ps1 -chapter 10 -mode b # Benchmarks consolidados
```

- Bash

```
bash Scripts/run.sh 10 c
bash Scripts/run.sh 10 g
bash Scripts/run.sh 10 b
```

11.9.3 Referências de Saída

- Chain (latência): `cap10_benchmark_latency-ab_chain_latency-summary.json|.md`
 - Graph (latência): `cap10_benchmark_latency-ab_graph_latency-summary.json|.md`
 - Teoria (diamante): `cap10_theory_diamond-makespan-summary.json|.md`
-

12 Aplicações Demonstrativas

12.1 O Problema

Até aqui, estabelecemos teoricamente que grafos oferecem **maior expressividade, modularidade, resiliência, escalabilidade, explicabilidade e governança** do que chains. Mas uma tese só se sustenta plenamente quando pode ser **demonstrada em casos concretos**.

Neste capítulo, aplicaremos a comparação em **três domínios distintos**:

1. **Turismo** (conciERGE de viagens)
2. **Finanças** (detecção de fraude e risco)
3. **Saúde** (triagem inteligente de pacientes)

Cada domínio será analisado com:

- O problema prático.
 - A abordagem com chain.
 - A abordagem com grafo.
 - Os resultados comparativos.
-

12.2 Caso 1 – Turismo: ConciERGE de Viagens

12.2.1 Problema

Um sistema de conciERGE deve responder a perguntas do usuário sobre:

- destinos turísticos,
- hotéis,
- restaurantes,
- clima,
- eventos locais.

12.2.2 Chain Linear

- Fluxo típico:
 1. Interpretar pergunta →
 2. Consultar API de hotéis →
 3. Consultar API de clima →
 4. Gerar resposta final.
- Limitações:

- Execução sequencial → cada chamada depende da anterior.
- Falha em uma API → quebra o fluxo.
- Não há integração multimodal (ex.: imagem de hotel).

12.2.3 Grafo

- Fluxo em grafo:
 - Pergunta →
 - * Subgrafo A: hotéis (API A, API B em paralelo)
 - * Subgrafo B: clima (consultas paralelas)
 - * Subgrafo C: eventos (consulta multimodal em agenda + imagens)
 - * Nó de fusão → resposta final.
- Vantagens:
 - Consultas paralelas reduzem latência.
 - Se API de hotéis falha, outra assume (fallback).
 - Pode incluir imagens dos destinos.

12.2.4 Resultado

- **Chain:** lento, frágil, unidimensional.
- **Grafo:** rápido, resiliente, multimodal.

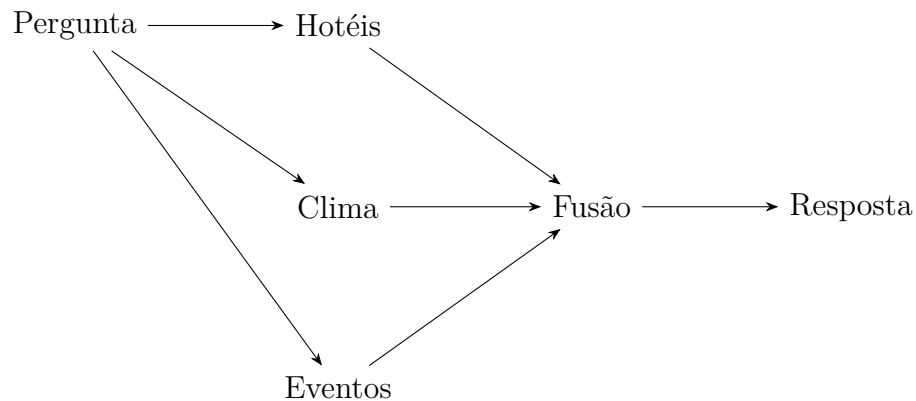


Figura 12.1: Concierge de viagens: subgrafos de hotéis, clima e eventos com fusão

12.3 Caso 2 – Finanças: Detecção de Fraude

12.3.1 Problema

Banco precisa verificar transações suspeitas em tempo real.

- Deve cruzar dados de: geolocalização, histórico do cliente, padrão de compras e redes externas de risco.

12.3.2 Chain Linear

- Fluxo típico:
 1. Entrada da transação →
 2. Verificação de geolocalização →
 3. Verificação de histórico →
 4. Verificação em rede externa →
 5. Decisão.
- Limitações:
 - Atraso crítico (não pode ser sequencial em tempo real).
 - Uma falha em rede externa paralisa todo pipeline.
 - Difícil auditar qual verificação disparou o alerta.

12.3.3 Grafo

- Fluxo em grafo:
 - Entrada da transação →
 - * Nó 1: geolocalização
 - * Nó 2: histórico do cliente
 - * Nó 3: redes externas
 - * Nó 4: machine learning para padrão estatístico
 - * Nó de fusão: decisão final com pesos e explicabilidade.
- Vantagens:
 - Paralelismo → todas verificações ocorrem simultaneamente.
 - Se rede externa falha, os outros nós ainda produzem decisão.
 - Auditoria: grafo registra qual nó disparou alerta de risco.

12.3.4 Resultado

- **Chain:** lento, frágil, difícil de auditar.
- **Grafo:** rápido, resiliente, auditável, confiável.

12.4 Caso 3 – Saúde: Triagem Inteligente de Pacientes

12.4.1 Problema

Hospital deseja usar IA para triagem inicial de pacientes em pronto-socorro.

- Deve integrar sintomas relatados, histórico eletrônico e exames de imagem.

12.4.2 Chain Linear

- Fluxo típico:
 1. Sintomas →
 2. Análise textual →
 3. Histórico médico →
 4. Exames →
 5. Classificação final.
- Limitações:
 - Sequência única e rígida.
 - Se exame não estiver disponível, o pipeline falha.
 - Não considera interações multimodais (ex.: histórico + imagem ao mesmo tempo).

12.4.3 Grafo

- Fluxo em grafo:
 - Entrada →
 - * Nó A: sintomas textuais (NLP)
 - * Nó B: histórico eletrônico (base de dados)
 - * Nó C: exames de imagem (modelo de visão)
 - * Nó de fusão: classificador multimodal
 - * Nó de decisão: encaminhamento.
- Vantagens:
 - Flexibilidade: mesmo sem exames, sintomas + histórico podem gerar triagem inicial.
 - Multimodalidade: combina visão e linguagem.
 - Explicabilidade: auditor pode ver quais entradas foram decisivas.

12.4.4 Resultado

- **Chain:** frágil, incompleto, pouco adaptável.
- **Grafo:** flexível, multimodal, seguro para uso clínico.

12.5 Discussão

Os três casos mostram um padrão claro:

- **Chains:** simples, mas ineficientes, frágeis e limitados.
- **Grafos:** mais complexos de modelar, mas robustos, auditáveis e adaptáveis¹.

¹A. B. Kahn, “Topological Sorting of Large Networks,” CACM, 1962.

Ou seja:

- Para protótipos e tarefas simples → chains podem ser suficientes.
- Para aplicações **críticas e em escala** → grafos são indispensáveis.

12.6 Conclusão

As aplicações práticas confirmam a tese desenvolvida até aqui:

- **Grafos são a única estrutura capaz de lidar com a complexidade real da IA aplicada.**

Enquanto pipelines lineares se quebram diante da diversidade, volume e falhas, os grafos oferecem:

- paralelismo,
- modularidade,
- resiliência,
- multimodalidade,
- auditabilidade.

No próximo capítulo (Capítulo 12), discutiremos **Agentes Autônomos com Grafos**, mostrando como esse paradigma permite sistemas que não apenas executam fluxos, mas **planejam, adaptam e reorquestram seus próprios caminhos**.

12.7 Relatório de benchmark

Este capítulo apresentou aplicações demonstrativas. A seguir, incorporamos o relatório completo com comparativos por domínio (Turismo, Finanças, Saúde) e notas teóricas alinhadas à discussão do capítulo.

12.7.1 Sumário de Métricas

- Fontes dos dados:
 - Turismo: `cap11_benchmark_tourism_chain_latency-summary.json|.md`,
`cap11_benchmark_tourism_graph_latency-summary.json|.md`, teoria
`cap11_theory_tourism-summary.json|.md`
 - Finanças: `cap11_benchmark_finance_chain_latency-summary.json|.md`,
`cap11_benchmark_finance_graph_latency-summary.json|.md`, teoria
`cap11_theory_finance-summary.json|.md`
 - Saúde: `cap11_benchmark_health_chain_latency-summary.json|.md`,
`cap11_benchmark_health_graph_latency-summary.json|.md`, teoria
`cap11_theory_health-summary.json|.md`

Modo	Iterações	Média (ms)	p95 (ms)	p99 (ms)
Chain (SK)	30	81	80	160
Graph (SKG)	30	33	33	81

Tabela 12.1: Turismo — latência por modo (30 iterações por modo)

Turismo — Benchmark A/B (30 iterações por modo)

Observação: O grafo reduz média e cauda, com p99 substancialmente menor. O chain apresenta picos ocasionais (p99).

Finanças — Benchmark A/B (30 iterações por modo)

Modo	Iterações	Média (ms)	p95 (ms)	p99 (ms)
Chain (SK)	30	79	80	82
Graph (SKG)	30	31	32	32

Tabela 12.2: Finanças — latência por modo (30 iterações por modo)

Observação: Ganho expressivo do grafo em média e caudas, consistente com paralelização de subetapas e fusão determinística.

Saúde — Benchmark A/B (30 iterações por modo)

Modo	Iterações	Média (ms)	p95 (ms)	p99 (ms)
Chain (SK)	30	79	81	94
Graph (SKG)	30	47	53	56

Tabela 12.3: Saúde — latência por modo (30 iterações por modo)

Observação: O grafo melhora média e p95/p99, mantendo caudas mais controladas.

Teoria por domínio

Interpretação: Os modelos teóricos indicam que em grafo o makespan aproxima-se do máximo das ramificações paralelas mais custos de fusão, enquanto no chain segue a soma sequencial. Isso explica os ganhos observados em todos os domínios.

12.7.2 Reprodutibilidade

- PowerShell

```
./Scripts/run.ps1 -chapter 11 -mode c # Chain (SK)
./Scripts/run.ps1 -chapter 11 -mode g # Graph (SKG)
./Scripts/run.ps1 -chapter 11 -mode b # Benchmarks consolidados
```

- Bash

```
bash Scripts/run.sh 11 c
bash Scripts/run.sh 11 g
bash Scripts/run.sh 11 b
```

Domínio	chain_ms_sum	graph_ms_sum	graph_parallel_branch_ms	isAcyclic
Turismo	32	14	10	True
Finanças	27	12	8	True
Saúde	30	19	9	True

Tabela 12.4: Parâmetros teóricos por domínio

12.7.3 Referências de Saída

- Turismo: `cap11_benchmark_tourism_chain_latency-summary.json|.md`,
`cap11_benchmark_tourism_graph_latency-summary.json|.md`, teoria
`cap11_theory_tourism-summary.json|.md`
- Finanças: `cap11_benchmark_finance_chain_latency-summary.json|.md`,
`cap11_benchmark_finance_graph_latency-summary.json|.md`, teoria
`cap11_theory_finance-summary.json|.md`
- Saúde: `cap11_benchmark_health_chain_latency-summary.json|.md`,
`cap11_benchmark_health_graph_latency-summary.json|.md`, teoria `cap11_theory_health-sum`

13 Agentes Autônomos com Grafos

13.1 O Problema

Os sistemas de Inteligência Artificial atuais caminham além da execução de tarefas pré-definidas. O avanço em modelos de linguagem, planejamento e integração com ferramentas externas abre espaço para **agentes autônomos**.

Um agente autônomo deve ser capaz de:

- **Definir objetivos** (a partir de instruções humanas ou metas internas),
- **Planejar rotas** para atingir esses objetivos,
- **Executar ações em ambiente dinâmico**,
- **Adaptar-se** diante de falhas, novos dados ou mudanças de contexto.

O desafio central está na **orquestração adaptativa** (capacidade de ajustar o fluxo em tempo real): como permitir que o agente não apenas siga um fluxo fixo, mas construa e reconstrua seu próprio caminho?

Nos pipelines lineares (*chains*), isso é praticamente impossível:

- O fluxo é estático e pré-programado.
 - Alterações exigem reconfiguração manual.
 - O agente não tem liberdade estrutural para reorganizar etapas.
-

13.2 A Tese

Grafos permitem a emergência de agentes autônomos, pois oferecem flexibilidade estrutural para planejamento dinâmico, adaptação de caminhos e reorquestração em tempo real.¹

13.3 Fundamentação

13.3.1 Planejamento em Chains

- Chains só permitem uma sequência rígida de ações.
- Qualquer mudança exige novo pipeline.
- Planejamento é “hardcoded” (codificado rigidamente no código), não emergente.

¹A. B. Kahn, “Topological Sorting of Large Networks,” CACM, 1962.

13.3.2 Planejamento em Grafos

- Grafos representam um **espaço de possibilidades**.
- Cada caminho corresponde a um plano possível.
- O agente pode escolher dinamicamente qual caminho seguir com base em objetivos, contexto ou feedback.

13.3.3 Autonomia Estrutural

- Em grafos, o agente pode:
 - **Explorar alternativas** → escolher entre vários nós.
 - **Reconfigurar subgrafos** → inserir, excluir ou substituir nós.
 - **Aprender caminhos ótimos** → reforço baseado em histórico de execuções.
-

13.4 Prova Teórica

Proposição: Grafos permitem orquestração adaptativa, enquanto chains permitem apenas execução estática.

- **Em chains:**
 - Fluxo é definido antes da execução.
 - Não há mecanismo formal para escolher caminhos alternativos.
 - Formalmente, só existe **uma sequência** (v_1, v_2, \dots, v_n) .
- **Em grafos:**
 - Execução pode seguir caminhos diferentes P_1, P_2, \dots, P_k , dependendo de condições.
 - Um **planejador** pode selecionar, em tempo real, qual caminho é mais adequado.
 - Formalmente, o agente opera como uma **máquina de estados** navegando no grafo:

$$Exec : (v, s) \rightarrow (v', s')$$

onde s é o estado do ambiente.

Exemplo prático: Um agente de suporte técnico precisa responder perguntas:

- Se a pergunta for simples → buscar FAQ (perguntas frequentes).
- Se for técnica → consultar base de código.
- Se falhar → escalar para humano.
- **Chain:** exigiria três pipelines distintos.

- **Grafo:** basta um grafo com nós FAQ, Base de Código e Escalonamento, com decisões dinâmicas.
-

13.5 Discussão

A capacidade de agentes autônomos em grafos tem consequências poderosas:

1. Autonomia real

- O agente não apenas executa instruções, mas escolhe e ajusta seus caminhos.

2. Aprendizado contínuo

- O histórico de caminhos pode retroalimentar o sistema → caminhos eficientes são priorizados.

3. Adaptação ao ambiente

- Em caso de falha em um nó, o agente busca rota alternativa.
- Em novos cenários, basta adicionar subgrafos ao espaço de possibilidades.

4. Aproximação da cognição humana

- Assim como humanos navegam em redes de opções, agentes em grafos podem deliberar sobre alternativas.
-

13.6 Conclusão

Demonstramos que grafos não apenas resolvem problemas técnicos de modularidade, resiliência e escalabilidade, mas também **habilitam o surgimento de agentes autônomos**, capazes de:

- planejar,
- adaptar,
- aprender,
- reorquestrar seus próprios fluxos.

Enquanto chains aprisionam agentes em trilhos fixos, grafos os colocam em um **mapa de possibilidades**, abrindo caminho para autonomia real.

No próximo capítulo (Capítulo 13), analisaremos **Limitações da Abordagem em Grafos**, discutindo trade-offs, custos de complexidade e riscos associados a essa arquitetura, equilibrando a visão crítica da nossa tese.

13.7 Relatório de benchmark

Este capítulo introduziu agentes autônomos com grafos. Abaixo, incorporamos o relatório completo, com comparativo de latência e validação teórica de autonomia estrutural e aciclicidade.

13.7.1 Sumário de Métricas

- Fontes dos dados:
 - cap12_benchmark_latency-ab_chain_latency-summary.json|.md
 - cap12_benchmark_latency-ab_graph_latency-summary.json|.md
 - cap12_theory_autonomy-summary.json|.md

Benchmark A/B: Latência (30 iterações por modo)

Modo	Iterações	Média (ms)	p95 (ms)	p99 (ms)
Chain (SK)	30	66	64	143
Graph (SKG)	30	48	48	81

Tabela 13.1: Benchmark A/B de latência por modo (30 iterações por modo)

O grafo apresenta menor média e cauda, beneficiando-se de decisões nativas e caminhos alternativos, reduzindo reprocessamentos e loops imperativos.

Teoria: Autonomia Estrutural e Aciclicidade

Parâmetro	Valor
autonomy_relation	chain = sequência rígida; graph = espaço de caminhos com decisão nativa
chain_path_count	1
graph_alternative_paths	3
isAcyclic	True
topologicalOrder	analyze -> code -> condCode -> condFaq -> escalate -> faq -> merge -> s

Tabela 13.2: Parâmetros teóricos: autonomia estrutural e aciclicidade

Interpretação: O grafo permite múltiplos caminhos controlados por nós condicionais, mantendo aciclicidade e preservando corretude via ordem topológica. Isso habilita agentes mais autônomos com menor custo de controle.

13.7.2 Reprodutibilidade

- PowerShell

```
./Scripts/run.ps1 -chapter 12 -mode c # Chain (SK)
./Scripts/run.ps1 -chapter 12 -mode g # Graph (SKG)
./Scripts/run.ps1 -chapter 12 -mode b # Benchmarks consolidados
```

- Bash

```
bash Scripts/run.sh 12 c
bash Scripts/run.sh 12 g
bash Scripts/run.sh 12 b
```

13.7.3 Referências de Saída

- Chain (latência): `cap12_benchmark_latency-ab_chain_latency-summary.json|.md`
 - Graph (latência): `cap12_benchmark_latency-ab_graph_latency-summary.json|.md`
 - Teoria (autonomia): `cap12_theory_autonomy-summary.json|.md`
-

PARTE IV – Discussão Crítica e Futuro

A última parte adota um olhar crítico e prospectivo. Reconhece as limitações dos grafos, seus custos e trade-offs, mas projeta as tendências futuras: grafos dinâmicos, adaptativos, cognitivos e governáveis por design. Conclui revisitando toda a tese central e reforçando que os grafos não são apenas uma escolha técnica, mas o próximo paradigma inevitável para a Inteligência Artificial.

Em termos simples: discutimos quando grafos não são a melhor escolha, como mitigar custos e para onde o campo está indo.

Analisa limitações e projeta o futuro, mostrando que os grafos são a base da IA dinâmica, ética e governável.

14 Limitações da Abordagem em Grafos

14.1 O Problema

Até aqui, defendemos a tese de que os **grafos superam pipelines lineares (chains)** em expressividade, modularidade, escalabilidade, resiliência, multimodalidade, governança e autonomia. No entanto, nenhuma arquitetura é isenta de **limitações e trade-offs**.

É fundamental reconhecer que os grafos, apesar de sua superioridade estrutural, também apresentam:

- custos de complexidade,
- sobrecarga de governança,
- riscos de má implementação,
- cenários em que chains podem ser mais adequados.

Este capítulo faz a crítica necessária para que a adoção de grafos não seja vista como panaceia, mas como uma decisão consciente.

14.2 A Tese

Grafos são estruturalmente superiores, mas trazem custos adicionais e não são a escolha ideal em todos os cenários. Sua adoção deve ser guiada por critérios técnicos, de complexidade do domínio e de recursos disponíveis.

14.3 Fundamentação

14.3.1 Complexidade de Modelagem

- Construir um grafo requer mapear cuidadosamente nós, arestas, dependências e políticas.
- Em domínios simples, isso pode ser um **overengineering** (complexidade excessiva sem ganho proporcional).
- Chains oferecem simplicidade e velocidade em prototipagem.

14.3.2 Sobrecarga Computacional

- Grafos permitem paralelismo, mas também exigem mais **orquestração e coordenação**.
- Em sistemas distribuídos, isso implica:
 - custo extra de sincronização,
 - maior uso de memória,
 - latência em fusão de caminhos.

14.3.3 Governança e Auditoria

- Embora grafos sejam auditáveis, o volume de logs pode se tornar massivo.
- Sem ferramentas adequadas, a explicabilidade pode se transformar em **sobrecarga de dados** ininteligíveis.

14.3.4 Riscos de Má Implementação

- Grafos mal modelados podem:
 - introduzir redundância,
 - criar ciclos indesejados,
 - gerar deadlocks,
 - perder a legibilidade que deveriam proporcionar.

14.3.5 Custo de Adoção Organizacional

- Exige equipe treinada em modelagem de grafos.
- Ferramentas de monitoramento e governança precisam ser implementadas.
- Muitas empresas ainda não possuem maturidade para esse paradigma.

14.4 Prova Teórica (Quando não usar grafos)

1. Fluxos extremamente simples e determinísticos

- Exemplo: converter arquivos CSV (valores separados por vírgula) em JSON (formato de dados em texto com pares chave–valor).
- Um chain linear é mais eficiente do que um grafo.

2. Protótipos rápidos

- Exemplo: testar integração com um modelo LLM em MVP (produto mínimo viável).
- Chains são mais fáceis de implementar e validar em curto prazo.

3. Recursos limitados

- Pequenas equipes ou ambientes sem infraestrutura distribuída podem sofrer com a sobrecarga de orquestração.

Formalização: Seja C o custo de modelagem e orquestração de grafos e G o ganho em robustez.

- Se $G < C$, grafos não são vantajosos.
 - Logo, sua aplicação deve ser avaliada pelo **custo-benefício contextual**.
-

14.5 Critérios práticos de decisão

- **Estrutural:** há bifurcações, fusões e paralelismo significativos? Se não, prefira chain.
 - **Operacional:** a cauda de latência e variação de carga justificam paralelismo/fallback? Se sim, grafo tende a ganhar¹².
 - **Governança:** exigem-se trilhas auditáveis e explicáveis? Grafos favorecem rastreabilidade.
 - **Equipe e tooling:** existem competências e ferramentas (tooling de suporte: monitoramento, deploy, testes) para operar DAGs com observabilidade?
 - **Ciclo de vida:** frequência de mudanças; grafos geram mais pontos de versionamento e precisam de validação topológica contínua³⁴.
-

14.6 Modelo quantitativo de trade-off

Considere um chain de n estágios, onde cada estágio i possui um tempo médio de execução μ_i . Em contrapartida, um grafo acíclico direcionado (DAG) pode executar subgrafos em paralelo, e ao final há um custo adicional de agregação μ_{agg} (por exemplo, para consolidar os resultados dos ramos paralelos).

- **Chain:** $\mathbb{E}[T_{chain}] = \sum_{i=1}^n \mu_i$
Explicação: O tempo médio total de execução de um chain é simplesmente a soma dos tempos médios de cada estágio, pois cada etapa só inicia após a anterior terminar. Assim, a latência cresce linearmente com o número de estágios.
- **DAG:** $\mathbb{E}[T_{DAG}] \approx \max_{p \in P} \sum_{v \in p} \mu_v + \mu_{agg}$, onde P é o conjunto de todos os caminhos possíveis do início ao fim do grafo.
Explicação: No DAG, como há paralelismo, o tempo total é determinado pelo caminho mais lento (caminho crítico), ou seja, aquele cuja soma dos tempos dos nós ($\sum_{v \in p} \mu_v$) é máxima entre todos os caminhos p . Ao final, soma-se o custo de agregação μ_{agg} , que representa o tempo necessário para reunir e processar os resultados dos ramos paralelos.

¹A. B. Kahn, “Topological Sorting of Large Networks,” CACM, 1962.

²T. H. Cormen et al., Introduction to Algorithms, 3ª ed., MIT Press, 2009.

³R. P. Brent, “The Parallel Evaluation of General Arithmetic Expressions,” JACM, 1974.

⁴M. E. J. Newman, Networks: An Introduction, OUP, 2010.

O ganho líquido ao adotar o grafo é dado por $\Delta = \mathbb{E}[T_{chain}] - \mathbb{E}[T_{DAG}]$.

Interpretação: Δ representa quanto tempo é economizado ao trocar um chain sequencial por um grafo com paralelismo. Recomenda-se adotar grafos quando esse ganho (Δ) for maior do que o custo adicional de orquestração (como sincronização, logging, e recursos computacionais extras). Essa decisão é fundamentada na análise do caminho crítico, que define o limite inferior da latência possível em arquiteturas paralelas⁵.

Em ambientes de larga escala, pode-se empregar replicação especulativa (executar múltiplas instâncias de um nó crítico para reduzir a cauda de latência), mas isso aumenta o custo computacional. Por isso, recomenda-se aplicar essa técnica apenas em nós realmente críticos⁶.

14.7 Anti-padrões específicos e mitigação

- **Diamantes não determinísticos:** fusão sem política clara gera inconsistência. Mitigue com agregadores com regras ordenadas/pesos.
- **Nós-gargalo superconectados:** betweenness elevada exige particionamento/replicação e filas com controle de backpressure (controle de pressão em filas para evitar saturação)⁷.
- **Ciclos inadvertidos:** valide aciclicidade a cada mudança (ordenação topológica) e use testes de alcançabilidade⁸⁹.

14.8 Considerações organizacionais

- **Maturidade:** introduza grafos gradualmente, iniciando por subgrafos críticos de latência/risco.
- **Observabilidade:** padronize logs por trilhas, métricas de fila e tempos por aresta.
- **Custos:** avalie o TCO (custo total de propriedade: desenvolvimento, operação, auditoria). Em alguns contextos, um chain bem projetado atende com menor custo.

14.9 Discussão

As limitações dos grafos não invalidam sua superioridade estrutural, mas destacam que:

- Grafos **não substituem completamente** os chains; em muitos casos, ambos coexistem.

⁵J. Dean e L. A. Barroso, “The Tail at Scale,” Communications of the ACM, 2013.

⁶A. B. Kahn, “Topological Sorting of Large Networks,” CACM, 1962.

⁷L. A. Barroso, J. Clidaras e U. Hözlze, The Datacenter as a Computer, 2^a ed., Morgan & Claypool, 2013.

⁸R. P. Brent, “The Parallel Evaluation of General Arithmetic Expressions,” JACM, 1974.

⁹J. A. Bondy e U. S. R. Murty, Graph Theory, Springer GTM, 2008. Propriedades estruturais e alcançabilidade.

- O uso de grafos deve ser reservado para **problemas complexos, multimodais, distribuídos e críticos**.
- Chains podem ser usados como **subgrafos simples** dentro de arquiteturas maiores.

Assim como na engenharia de software escolhemos entre **scripts simples** e **arquiteturas orientadas a microserviços**, em IA escolhemos entre **chains** e **grafos**, dependendo do nível de complexidade e criticidade.

14.10 Conclusão

Reconhecer limitações é parte da robustez científica. Mostramos que os grafos:

- aumentam a complexidade de design,
- exigem maior governança,
- podem ser ineficientes em fluxos triviais,
- dependem de maturidade organizacional.

Porém, também mostramos que essas limitações **não anulam**, mas **contextualizam** sua aplicação: grafos são indispensáveis para **IA complexa e crítica**, mas chains ainda têm valor em **fluxos simples e rápidos**.

No próximo capítulo (Capítulo 14), discutiremos as **Tendências Futuras da Orquestração em Grafos**, explorando conceitos como grafos dinâmicos, auto-adaptativos e agentes conscientes.

14.11 Relatório de benchmark

Este capítulo discutiu limitações e trade-offs de grafos. A seguir, incluímos o relatório completo, com A/B, indicadores de ganho vs custo e latência agregada para um cenário simplificado.

14.11.1 Sumário de Métricas

- Fontes dos dados:
 - `cap13_benchmark_chain-latency-summary.json|.md`
 - `cap13_benchmark_graph-latency-summary.json|.md`
 - `cap13_benchmark_gain-vs-cost-summary.json|.md`
 - `cap13_benchmark_latency-p95-p99-summary.json|.md`

Chain vs Graph — Latência (50 iterações por modo)

Observação: As latências são praticamente equivalentes neste cenário, evidenciando que o grafo não necessariamente traz ganhos quando a coordenação/ramificação é mínima e o problema é linear.

Modo	Iterações	Média (ms)	p95 (ms)	p99 (ms)
Chain (SK)	50	46	48	48
Graph (SKG)	50	45	48	48

Tabela 14.1: Chain vs Graph — latência por modo (50 iterações por modo)

Parâmetro	Valor
chain_cost_ms	3
graph_base_ms	3
mem_before_bytes	806984
mem_after_bytes	1224248
mem_delta_bytes	417264

Tabela 14.2: Indicadores de ganho vs custo

Ganho vs Custo — Indicadores

Interpretação: O aumento de memória e a equivalência de custo base indicam que, para este caso, a sobrecarga de coordenação do grafo não se traduz em benefícios materiais. Critérios de decisão devem considerar um limiar $G < C$ (ganho menor que custo) para optar por chain.

Latência Agregada (contexto)

Iterações	Média (ms)	p95 (ms)	p99 (ms)
50	14	16	17

Tabela 14.3: Latência agregada do cenário simplificado

Nota: métrica agregada de latência do cenário simplificado; auxilia na comparação qualitativa entre arranjos com pouca coordenação.

14.11.2 Reprodutibilidade

- PowerShell

```
./Scripts/run.ps1 -chapter 13 -mode c # Chain (SK)
./Scripts/run.ps1 -chapter 13 -mode g # Graph (SKG)
./Scripts/run.ps1 -chapter 13 -mode b # Benchmarks consolidados
```

- Bash

```
bash Scripts/run.sh 13 c
bash Scripts/run.sh 13 g
bash Scripts/run.sh 13 b
```

14.11.3 Referências de Saída

- Chain (latência): cap13_benchmark_chain-latency-summary.json|.md

- Graph (latência): `cap13_benchmark_graph-latency-summary.json|.md`
 - Ganho vs Custo: `cap13_benchmark_gain-vs-cost-summary.json|.md`
 - Latência agregada: `cap13_benchmark_latency-p95-p99-summary.json|.md`
-

15 Tendências Futuras da Orquestração em Grafos

15.1 O Problema

Os capítulos anteriores mostraram que **grafos são estruturalmente superiores** aos pipelines lineares e que já oferecem soluções para modularidade, resiliência, escalabilidade, multimodalidade e governança.

Mas a evolução da Inteligência Artificial não é estática. A pergunta agora é:

Quais serão os próximos passos na orquestração em grafos?

As tendências emergentes indicam que não basta usar grafos estáticos: sistemas futuros precisarão de **grafos dinâmicos, adaptativos e conscientes do contexto**.

15.2 A Tese

O futuro da orquestração em IA passa por grafos dinâmicos e auto-adaptativos, capazes de reconfigurar-se em tempo real, suportar agentes conscientes, integrar múltiplos domínios e atender exigências de governança e regulação.¹²

15.3 Fundamentação

15.3.1 Grafos Dinâmicos

- Grafos atuais são, em geral, definidos previamente.
- Futuro: grafos que **se modificam durante a execução**, adicionando, removendo ou reconfigurando nós.
- Exemplo: um agente que cria subgrafos temporários para tarefas inéditas.

15.3.2 Grafos Auto-Adaptativos

- Grafos que aprendem com execuções passadas.
- Seleção de caminhos baseada em **reforço e feedback humano**.
- Evoluem para priorizar rotas mais eficientes ou seguras.

¹A. B. Kahn, "Topological Sorting of Large Networks," CACM, 1962.

²T. H. Cormen et al., Introduction to Algorithms, 3ª ed., MIT Press, 2009.

15.3.3 Grafos Multidomínio

- Integração de conhecimento de diferentes áreas em **subgrafos interconectados**.
- Exemplo: um agente jurídico que consulta também domínios financeiros e de saúde.
- Conecta silos de dados em um único grafo de decisão.

15.3.4 Grafos para Consciência Artificial

- Grafos podem ser usados como **arquitetura cognitiva**, representando não só ações, mas também **estados mentais e intenções**.
- Permitem modelar *memória de curto e longo prazo, auto-monitoramento e reflexão*.
- São candidatos naturais para suportar agentes com **metacognição** (capacidade de pensar sobre o próprio pensar).

15.3.5 Grafos Regulados e Auditáveis

- Futuro da IA exige **compliance embutido** (conformidade incorporada desde o projeto, não como remendo).
- Grafos podem incluir políticas regulatórias como parte da arquitetura:
 - restrições éticas,
 - políticas de privacidade,
 - logging obrigatório.
- IA passa a ser “*by design*” (por concepção) transparente e governável.

15.4 Prova Teórica

Comparação Temporal:

- **Grafo estático atual:**
 - Estrutura fixa, definida em design.
 - Bom para fluxos previsíveis.
- **Grafo dinâmico futuro:**
 - Estrutura que cresce e se modifica com base no ambiente.
 - Cada execução pode gerar uma nova topologia.

Formalização: Seja $G_t = (V_t, E_t)$ o grafo em instante t .

- Em sistemas atuais: $G_t = G_{t+1}$.
- Em sistemas futuros: $G_{t+1} = f(G_t, input, feedback)$.
- Ou seja: o grafo se torna uma função dinâmica, e não apenas uma estrutura estática.

Exemplo determinístico reprodutível:

Considere G_0 com $V_0 = \{A, B\}$, $E_0 = \{(A, B)\}$.

Regra f (determinística):

- Se a latência média em B exceder $1.0s$ numa janela de 100 requisições, adicionar nó B' e aresta (A, B') ; marcar (A, B) com peso de fallback.

Execução de teste (parâmetros reprodutíveis):

- Janela de 100 execuções com tempos em B : 50 execuções de $0.8s$, 50 de $1.2s \rightarrow$ média $1.0s$.
- Critério estrito: exceder $> 1.0s$.
- Resultado: sem mudança (média = $1.0s$).

Agora altere 10 amostras de $0.8s$ para $1.4s \rightarrow$ nova média $1.1s$.

- Resultado esperado: G_1 com $V_1 = \{A, B, B'\}$ e $E_1 = \{(A, B), (A, B')\}$.
- Caminho de execução alterna entre B e B' conforme política de balanceamento.

Esse exemplo é reprodutível fixando janela, regra e sequência de latências.

15.5 Discussão

As tendências futuras apontam para três grandes mudanças:

1. Do estático para o dinâmico

- Grafos não mais pré-definidos, mas emergentes e adaptativos.

2. Do operacional para o cognitivo

- Grafos não apenas como fluxos de execução, mas como **arquiteturas de pensamento artificial**.

3. Do técnico para o regulatório

- Grafos como instrumentos de confiança e conformidade regulatória, suportando IA ética e responsável.

Essas transformações não são opcionais, mas necessárias para que a IA seja **robusta, confiável e aceitável pela sociedade**.

15.6 Conclusão

Os grafos não são apenas a resposta para os problemas técnicos de hoje, mas também o **fundamento para a IA do futuro**:

- **Dinâmica e adaptativa,**
- **Consciente e reflexiva,**
- **Governável e auditável.**

Se a orquestração linear representa o passado, os grafos estáticos representam o presente, e os **grafos auto-evolutivos** representam o **futuro inevitável da Inteligência Artificial**.

No próximo capítulo (Capítulo 15), apresentaremos a **Conclusão Geral**, revisando toda a tese do livro e consolidando a defesa de que **grafos são a estrutura necessária para a próxima geração de sistemas de IA**.

15.7 Relatório de benchmark

Este capítulo aborda tendências futuras de orquestração em grafos. A seguir, incorporamos o relatório do experimento de regra dinâmica (dynamic-rule) que ajusta a topologia do grafo por telemetria de latência.

15.7.1 Sumário de Métricas

- Fonte dos dados:
 - `cap14_benchmark_dynamic-rule-summary.json|.md`

Regra Dinâmica: Adaptação por Janela de Latência

Parâmetro	Valor
baseline_mean_ms	1000
threshold_ms_strict_greater	1000
window_size	100
new_mean_ms	1060
should_add_B_prime_baseline	False
should_add_B_prime_new	True

Tabela 15.1: Parâmetros da regra dinâmica de adaptação por latência

Interpretação: A média de latência na janela excedeu o limiar, disparando a inclusão de um ramo alternativo B'. Esse padrão demonstra como grafos podem evoluir regras/topologias para reagir a degradações.

15.7.2 Reprodutibilidade

- PowerShell

```
./Scripts/run.ps1 -chapter 14 -mode b # Benchmarks/experimentos consolidados
```

- Bash

```
bash Scripts/run.sh 14 b
```

15.7.3 Referências de Saída

- Regra dinâmica: `cap14_benchmark_dynamic-rule-summary.json|.md`
-

PARTE V – Aparato Matemático Avançado

Nesta parte, desenvolvemos a base matemática que sustenta a tese do livro. Primeiro, formalizamos **teoremas de expressividade** mostrando a relação estrita entre chains e DAGs, além de limites estruturais. Em seguida, tratamos a **execução como trilhas** e introduzimos o **caminho crítico** e técnicas de agendamento em DAGs. Por fim, apresentamos a **álgebra de grafos** via matrizes de adjacência e incidência, conectando propriedades combinatórias a ferramentas de cálculo e verificação.

Em termos simples: apresentamos a matemática mínima necessária para você calcular e verificar propriedades essenciais dos seus fluxos.

Consolida o rigor matemático necessário para projetar, analisar e otimizar orquestrações baseadas em grafos.

16 Teoremas de Expressividade: Chains \subset DAGs e Limites

16.1 O Problema

Para fundamentar a superioridade estrutural dos grafos, precisamos de **provas formais** estabelecendo a inclusão de chains em DAGs e esclarecendo **limites de expressividade**. Também é necessário explicitar os casos-limite em que a equivalência pode falhar devido a restrições de graus, ciclos e multimodalidade.

16.2 A Tese

Chains são um subconjunto estrito dos DAGs.

Em termos de expressividade, DAGs permitem ramificações, fusões e paralelismo que não podem ser representados por chains.

Em termos simples:

- Chains são “linhas retas” de etapas; DAGs são “mapas” com bifurcações e reencontros sem voltas.
 - Em grafos, executar módulos em paralelo reduz o tempo total ao limite do caminho crítico, enquanto chains somam todas as etapas.
-

16.3 Definições

- Chain: grafo direcionado acíclico com grau de entrada e saída máximo igual a 1.
 - **Directed Acyclic Graph (DAG)**: grafo direcionado acíclico sem ciclos (graus arbitrários).
-

16.4 Teorema 1 (Inclusão Estrita)

Teorema 16.1 (Inclusão estrita: Chains \subset DAGs). *Todo chain é um DAG; existe DAG que não é chain.*

Demonstração. 1. Inclusão: um chain tem uma única sequência de arestas e, por definição, não possui ciclos. Logo, é um DAG. 2. Estrita: considere $G = (V, E)$ com $V = \{v_1, v_2, v_3\}$ e $E = \{(v_1, v_2), (v_1, v_3)\}$. G é DAG, mas não pode ser representado por um chain (grau de saída de v_1 maior que 1). \square

16.5 Teorema 2 (Limite por Graus)

Proposição 16.2 (Limite por graus). *Para um grafo direcionado simples com n nós, o número máximo de arestas é $n(n - 1)$; para um chain com n nós, o máximo é $n - 1$.*

Demonstração. Em grafo direcionado simples, toda ordenação de pares distintos é possível: $n(n - 1)$. Em chain, há exatamente uma aresta entre vizinhos consecutivos. \square

16.6 Teorema 3 (Caminhos e Paralelismo)

Teorema 16.3 (Caminho crítico limita o makespan). *Existem DAGs em que o tempo de execução ótimo (makespan) é limitado pelo caminho crítico e independe do número total de nós.*

Esboço da prova. Para um conjunto de nós independentes, o tempo total é $T = \max_i t_i$ (mais custo de agregação). Em chain, $T = \sum_i t_i$. \square

16.7 Lema 1 (Serialização Forçada em Chains)

{(serialização = executar entradas em sequência, sem paralelizar)}

Lema 16.4 (Serialização em chains). *Se um fluxo requer a avaliação de duas hipóteses independentes h_1 e h_2 e uma decisão de fusão, então qualquer chain que preserve a correção deve serializar as avaliações; em um DAG, as avaliações podem ocorrer em paralelo e convergir para um nó decisor. Logo, existe instância em que $T_{\text{DAG}} < T_{\text{chain}}$ sob os mesmos custos por nó (ver Arthur B. Kahn. “Topological Sorting of Large Networks”. Em: Communications of the ACM 5.11 (1962), pp. 558–562. DOI: [10.1145/368996.369025](https://doi.org/10.1145/368996.369025); Thomas H. Cormen et al. Introduction to Algorithms. 3ª ed. Cambridge, MA: MIT Press, 2009. ISBN: 978-0262033848. URL: <https://mitpress.mit.edu/9780262033848/introduction-to-algorithms/>; Richard P. Brent. “The Parallel Evaluation of General Arithmetic Expressions”. Em: Journal of the ACM 21.2 (1974), pp. 201–206. DOI: [10.1145/321812.321815](https://doi.org/10.1145/321812.321815)).*

16.8 Lema 2 (Fusão e Expressividade)

Lema 16.5 (Fusão paralela). *Seja um nó de fusão que implementa uma função associativa/comutativa f (ex.: \max , média ponderada). Em um chain, a inserção de múltiplas entradas exige serialização estrita; em um DAG, ramos podem agrupar-se em árvores de redução com profundidade $O(\log k)$ para k entradas, reduzindo o caminho crítico (ver idem, “[The Parallel Evaluation of General Arithmetic Expressions](#)”, op. cit.).*

16.9 Corolário (Multimodalidade)

Corolário 16.6 (Fusão multimodal). *Seja um fluxo com entradas texto, visão e áudio. Em chain, é necessário serializar modalidades; em DAG, modalidades são nós paralelos que convergem — estrutura não representável por um único chain sem perda de paralelismo.*

16.10 Exemplo construtivo

Considere k módulos independentes M_1, \dots, M_k , cada um com tempo de execução idêntico t , e um nó agregador A com custo adicional α (por exemplo, o tempo necessário para combinar os resultados dos módulos).

- **Chain:** Neste caso, os módulos são executados em sequência, um após o outro. O tempo total é a soma dos tempos de todos os módulos mais o custo do agregador:

$$T_{chain} = k \cdot t + \alpha$$

Ou seja, cada módulo espera o anterior terminar, acumulando o tempo de todos.

- **DAG (paralelo):** Aqui, os k módulos podem ser executados em paralelo, pois são independentes. O tempo total é determinado apenas pelo módulo mais lento (como todos têm tempo t , basta esperar t), somado ao custo do agregador:

$$T_{DAG} = t + \alpha$$

Assim, todos os módulos terminam juntos e só então ocorre a agregação.

Portanto, para $k \geq 2$, temos $T_{DAG} < T_{chain}$, pois $k \cdot t > t$ para $k > 1$. O ganho de paralelismo cresce linearmente com o número de módulos k , desde que o custo de agregação α permaneça fixo.

- **Fusão com redução associativa:** Se a operação de fusão exigir uma redução associativa (por exemplo, somar todos os resultados), é possível organizar os módulos em uma árvore binária de redução. Nesse caso, o caminho crítico (tempo total) é:

$$T_{reduo} = t \cdot \lceil \log_2 k \rceil + \alpha$$

pois a cada nível da árvore metade dos resultados é combinada, reduzindo o número de etapas necessárias para $O(\log k)$. Mesmo assim, esse tempo é assintoticamente menor que o tempo sequencial kt para grandes valores de k ¹.

¹R. P. Brent, “The Parallel Evaluation of General Arithmetic Expressions,” JACM, 1974.

Resumindo: chains impõem execução sequencial, enquanto DAGs permitem paralelismo e reduções eficientes, reduzindo drasticamente o tempo total de execução.

16.11 Casos-limite e limites

- **Grau limitado:** se graus de saída/entrada forem limitados a 1, o DAG colapsa em chains. Limites de grau restringem o ganho de expressividade.
 - **Ciclos:** permitir ciclos altera a classe (não-DAG); resultados de ordenação topológica deixam de valer².
 - **Oráculos custosos** (componentes caros/externos, como modelos grandes ou serviços lentos): quando agregadores ou sincronizações dominam o custo, os ganhos de paralelismo podem desaparecer; a análise deve considerar a cauda de latência e variância³⁴.
-

16.12 Discussão

Os teoremas e lemas mostram que a vantagem dos DAGs não é apenas de conveniência, mas **estrutural**. Em particular: (i) bifurcação e convergência ampliam expressividade; (ii) limites de grau permitem múltiplas relações; (iii) o tempo é reduzido pelo caminho crítico; (iv) árvores de redução melhoram a assimetria serialização/fusão.

16.13 Conclusão

Consolidamos formalmente: $Chains \subsetneq DAGs$. Modelos realistas precisam considerar custos de agregação e variância. Ainda assim, para classes amplas de fluxos, DAGs possibilitam expressividade e desempenho inalcançáveis por chains.

$$v_1 \longrightarrow v_2 \longrightarrow v_3$$

Chain

Figura 16.1: Chains: caminho único e grau máximo 1

16.14 Relatório de benchmark

Este capítulo formalizou teoremas de expressividade e limites. Abaixo, incorporamos o relatório completo com A/B e validação teórica de redução de tempo via paralelismo e árvore de redução.

²M. E. J. Newman, *Networks: An Introduction*, OUP, 2010.

³J. Dean e L. A. Barroso, “The Tail at Scale,” *Communications of the ACM*, 2013.

⁴L. A. Barroso, J. Clidaras e U. Hözl, *The Datacenter as a Computer*, 2^a ed., Morgan & Claypool, 2013.

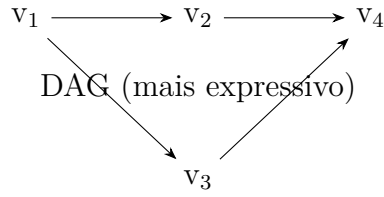


Figura 16.2: DAG: ramificação e convergência (mais expressivo que chain)

16.14.1 Sumário de Métricas

- Fontes dos dados:
 - `cap16_benchmark_latency-ab_chain_latency-summary.json|.md`
 - `cap16_benchmark_latency-ab_graph_latency-summary.json|.md`
 - `cap16_theory_expressivity-proofs-summary.json|.md`

Benchmark A/B: Latência (30 iterações por modo)

Modo	Iterações	Média (ms)	p95 (ms)	p99 (ms)
Chain (SK)	30	308	335	399
Graph (SKG)	30	116	125	212

Tabela 16.1: Benchmark A/B de latência por modo (30 iterações por modo)

O grafo apresenta redução expressiva de latência média e cauda, compatível com execução paralela de módulos independentes e custo de merge controlado.

Teoria: Expressividade e Redução (k módulos)

Parâmetro	Valor
<code>k_modules</code>	6
<code>t_module_ms</code>	60
<code>alpha_merge_ms</code>	40
<code>levels_log2_k</code>	3
<code>t_chain_sum_ms</code>	400
<code>t_dag_parallel_ms</code>	100
<code>t_reduce_tree_ms</code>	220
<code>relation</code>	Chain: $k \cdot t + \alpha$; DAG: $t + \alpha$; Reduce: $\text{ceil}(\log_2 k) \cdot t + \alpha$

Tabela 16.2: Parâmetros teóricos: expressividade e redução com k módulos

Interpretação: Em chains, o tempo cresce linearmente com k ($k \cdot t + \alpha$). Em DAGs, com paralelismo ideal, aproxima-se de $t + \alpha$; com árvore de redução, $\text{ceil}(\log_2 k) \cdot t + \alpha$. Os valores teóricos explicam a melhora observada nos benchmarks.

16.14.2 Reprodutibilidade

- PowerShell

```
./Scripts/run.ps1 -chapter 16 -mode c    # Chain (SK)  
./Scripts/run.ps1 -chapter 16 -mode g    # Graph (SKG)  
./Scripts/run.ps1 -chapter 16 -mode b    # Benchmarks consolidados
```

- Bash

```
bash Scripts/run.sh 16 c  
bash Scripts/run.sh 16 g  
bash Scripts/run.sh 16 b
```

16.14.3 Referências de Saída

- Chain (latência): cap16_benchmark_latency-ab_chain_latency-summary.json|.md
- Graph (latência): cap16_benchmark_latency-ab_graph_latency-summary.json|.md
- Teoria (expressividade): cap16_theory_expressivity-proofs-summary.json|.md

17 Execução como Trilhas e Caminho Crítico (Paths, Walks, DAG Scheduling)

17.1 O Problema

Executar fluxos em grafos exige **ordenação válida** (topológica), **controle de dependências** e **otimização do tempo total**. Em chains, a ordem é trivial; em grafos, é necessário raciocinar em termos de **trilhas** e **caminhos** e minimizar o **makespan**.

17.2 Definições

- Caminho: sequência de nós (v_1, \dots, v_k) tal que $(v_i, v_{i+1}) \in E$.
- Trilha: caminho em que arestas não se repetem.
- Caminho crítico: caminho de maior duração somada.
- Escalonamento em DAG: execução em ordem topológica respeitando dependências.

Em termos simples:

- Caminho crítico é o “trajeto mais demorado” que limita o tempo total.
 - A ordem topológica é a sequência segura que respeita todas as dependências, evitando ciclos.
-

17.3 Tese

O tempo de execução total em um DAG é limitado inferiormente pela duração do caminho crítico.

17.4 Proposição 1 (Limite Inferior)

Proposição 17.1 (Limite inferior do makespan). *Seja $G = (V, E)$ um grafo acíclico direcionado (DAG), onde cada nó $v \in V$ possui um tempo de execução associado $t_v > 0$. Considere P o conjunto de todos os caminhos possíveis de um nó inicial (fonte) até um nó final (sumidouro) em G .*

*O **makespan** $T(G)$ é o tempo total necessário para executar todas as tarefas do grafo, respeitando as dependências (ou seja, nenhuma tarefa pode começar antes de todas as suas predecessoras terminarem).*

Então, para qualquer escalonamento válido (qualquer ordem de execução que respeite as dependências), vale:

$$T(G) \geq \max_{p \in P} \sum_{v \in p} t_v$$

onde: - p é um caminho de fonte a sumidouro em G , - $\sum_{v \in p} t_v$ é a soma dos tempos dos nós ao longo do caminho p , - $\max_{p \in P}$ indica que estamos considerando o caminho de maior duração (o **caminho crítico**).

Explicação: O makespan nunca pode ser menor que a soma dos tempos do caminho mais longo (em termos de duração total) do grafo, pois todas as tarefas desse caminho precisam ser executadas em sequência, sem possibilidade de paralelismo entre elas. Mesmo que outras tarefas possam ser executadas em paralelo, o caminho crítico determina o limite inferior do tempo total de execução.

17.5 Proposição 2 (Escalonamento Ótimo em Caso Independente)

Proposição 17.2 (Camadas independentes). *Seja $G = (V, E)$ um DAG onde o conjunto de nós V pode ser particionado em k camadas independentes L_1, L_2, \dots, L_k , tais que: - Todos os nós de uma camada L_i não possuem dependências entre si (ou seja, podem ser executados em paralelo); - Todas as dependências vão de uma camada L_i para a próxima L_{i+1} (estrutura em "camadas").*

Seja t_v o tempo de execução de cada nó $v \in V$. O tempo total para executar todas as tarefas, considerando um nó agregador final de custo t_{agg} , é dado por:

$$T_{camadas} = \sum_{i=1}^k \max_{v \in L_i} t_v + t_{agg}$$

Ou seja, em cada camada, o tempo é determinado pelo nó mais lento (pois todos podem ser executados em paralelo), e o tempo total é a soma dos tempos das camadas mais o custo do nó agregador.

Explicação: - O escalonamento por camadas permite executar todos os nós de uma mesma camada simultaneamente, aguardando apenas o término do mais demorado antes de avançar para a próxima camada. - O tempo total (makespan) atinge o limite inferior imposto pelo caminho crítico, pois não há dependências extras dentro das camadas. - O custo do nó agregador t_{agg} é somado ao final, pois ele só pode ser executado após todas as camadas anteriores terminarem.

Assim, para DAGs com camadas independentes, o escalonamento ótimo é obtido por execução paralela em cada camada, e o makespan é minimizado:

$$T(G) = \sum_{i=1}^k \max_{v \in L_i} t_v + t_{agg}$$

17.6 Resultados adicionais

- Uma **ordem topológica** pode ser obtida em tempo $O(|V| + |E|)$ (isto é, linear na soma do número de nós $|V|$ e de arestas $|E|$); a partir dela, o caminho crítico em DAGs com pesos em nós é computável por **programação dinâmica** no mesmo tempo¹².

¹A. B. Kahn, "Topological Sorting of Large Networks," CACM, 1962.

²T. H. Cormen et al., Introduction to Algorithms, 3ª ed., MIT Press, 2009.

- Em ambientes heterogêneos (vários processadores), heurísticas como [Heterogeneous Earliest Finish Time \(HEFT\)](#) (Heuristic Earliest Finish Time) aproximam escalonamentos eficientes com baixa complexidade³.
- Retiming e reordenação de dependências podem reduzir latência aparente sem alterar correção estrutural⁴.

17.7 Exemplo Numérico Reprodutível

Seja $V = \{A, B, C, D, E\}$, com tempos (1.0, 1.3, 0.9, 1.1, 0.7) e um nó agregador F com $t_F = 0.5$.

- **Independência:** A, B, C, D, E sem dependências; todos apontam para F .
- **Ordem topológica:** $[A, B, C, D, E, F]$.
- **Programação dinâmica (DP) para caminho crítico:**
 Para calcular o tempo mínimo total até cada nó (makespan parcial), inicializamos $dist[x] = t_x$ para todos os nós fontes (nós sem predecessores). Para cada nó y com predecessores, calculamos $dist[y] = t_y + \max_{z \in pred(y)} dist[z]$, ou seja, o tempo do próprio nó somado ao maior tempo de chegada entre seus predecessores.
 No exemplo, o nó agregador F recebe entradas de todos os outros nós (A, B, C, D, E), então:
 $dist[F] = t_F + \max(dist[A], dist[B], dist[C], dist[D], dist[E]) = 0.5 + 1.3 = 1.8$.
 Isso significa que, após todos os nós paralelos terminarem, o nó agregador executa, totalizando 1.8 segundos.
- **Comparação com chain sequencial:**
 Em um chain, as tarefas seriam executadas uma após a outra: $T_{chain} = 1.0 + 1.3 + 0.9 + 1.1 + 0.7 = 5.0$.
 No DAG, todas as tarefas paralelas terminam em 1.3 (a mais lenta), e após o agregador (0.5), temos $T_{DAG} = 1.3 + 0.5 = 1.8$.
 Ou seja, o DAG reduz drasticamente o tempo total ao explorar o paralelismo, enquanto o chain acumula todos os tempos sequencialmente.

Varie pesos para observar robustez do ganho; em particular, se um nó domina a cauda, convém replicação especulativa apenas nesse ramo⁵.

17.8 Discussão

O modelo de trilhas permite: (i) rastreabilidade; (ii) detecção de gargalos via caminho crítico; (iii) balanceamento de carga por camadas.

Em plataformas heterogêneas, combine ordem topológica com heurísticas de mapeamento (ex.: HEFT) e políticas de fila para reduzir makespan esperado⁶. Métricas como betweenness ajudam a identificar agregadores críticos a serem escalados⁷.

³R. P. Brent, "The Parallel Evaluation of General Arithmetic Expressions," JACM, 1974.

⁴M. E. J. Newman, Networks: An Introduction, OUP, 2010.

⁵J. Dean e L. A. Barroso, "The Tail at Scale," Communications of the ACM, 2013.

⁶R. P. Brent, "The Parallel Evaluation of General Arithmetic Expressions," JACM, 1974.

⁷L. A. Barroso, J. Clidaras e U. Hözl, The Datacenter as a Computer, 2ª ed., Morgan & Claypool, 2013.

17.9 Conclusão

Executar como trilhas e otimizar pelo caminho crítico transforma a orquestração em um problema clássico de **scheduling em DAGs** (escalonamento de tarefas respeitando dependências), com benefícios claros de desempenho e governança. A computação linear do caminho crítico e heurísticas práticas permitem ganhos consistentes em ambientes reais.

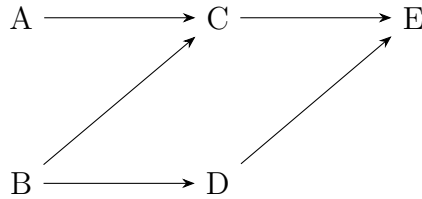


Figura 17.1: DAG em camadas e execução por ordem topológica

Exercícios – Parte V

- 1) Dado um DAG com pesos em nós, descreva um algoritmo em $O(|V|+|E|)$ para computar o caminho crítico usando ordem topológica e programação dinâmica.
 - 2) Em ambiente heterogêneo (vários processadores), descreva o funcionamento do HEFT e proponha uma modificação para reduzir cauda p99.
 - 3) Construa um exemplo numérico com cinco nós e valide, por código, as métricas de makespan em chain e grafo.
 - 4) Mostre que, para camadas independentes, o escalonamento por camadas atinge o limite inferior salvo custo de agregação.
 - 5) Discuta como retiming pode reduzir latência aparente sem alterar correção estrutural, ilustrando com um pequeno grafo.
-

17.10 Relatório de benchmark

Este capítulo analisou execução por ordem topológica e caminho crítico. Abaixo, incorporamos o relatório completo com A/B e validação teórica do makespan por caminho crítico.

17.10.1 Sumário de Métricas

- Fontes dos dados:
 - `cap17_benchmark_latency-ab_chain_latency-summary.json|.md`
 - `cap17_benchmark_latency-ab_graph_latency-summary.json|.md`
 - `cap17_theory_scheduling-critical-path-summary.json|.md`

Benchmark A/B: Latência (30 iterações por modo)

Modo	Iterações	Média (ms)	p95 (ms)	p99 (ms)
Chain (SK)	30	607	626	678
Graph (SKG)	30	383	390	475

Tabela 17.1: Benchmark A/B de latência por modo (30 iterações por modo)

O grafo reduz o makespan ao explorar paralelismo e minimizar o caminho crítico, enquanto o chain acumula somas sequenciais.

Teoria: Caminho Crítico

Parâmetro	Valor
relation	T_chain = sum; T_graph = max over paths (critical path)
t_chain_sum_ms	550
t_graph_critical_ms	360
tA_ms	100
tB_ms	130
tC_ms	90
tD_ms	110
tE_ms	70
tMerge_ms	50

Tabela 17.2: Parâmetros teóricos: caminho crítico

Interpretação: O makespan do grafo é determinado pelo maior caminho (crítico) mais o custo do merge; isso explica a melhora observada nos percentis e na média.

17.10.2 Reprodutibilidade

- PowerShell

```
./Scripts/run.ps1 -chapter 17 -mode c # Chain (SK)
./Scripts/run.ps1 -chapter 17 -mode g # Graph (SKG)
./Scripts/run.ps1 -chapter 17 -mode b # Benchmarks consolidados
```

- Bash

```
bash Scripts/run.sh 17 c
bash Scripts/run.sh 17 g
bash Scripts/run.sh 17 b
```

17.10.3 Referências de Saída

- Chain (latência): cap17_benchmark_latency-ab_chain_latency-summary.json|.md
- Graph (latência): cap17_benchmark_latency-ab_graph_latency-summary.json|.md
- Teoria (caminho crítico): cap17_theory_scheduling-critical-path-summary.json|.md

18 Álgebra de Grafos: Matrizes de Adjacência e Incidência

18.1 O Problema

Para analisar e verificar propriedades de orquestrações em grafos, precisamos de ferramentas **algébricas** que permitam computar caminhos, graus, conectividade e checagens de aciclicidade de forma sistemática.

18.2 Definições

Definição 18.1 (Matrizes de adjacência e incidência). Seja $G = (V, E)$ com $|V| = n$.

- Matriz de adjacência $A \in \{0, 1\}^{n \times n}$: $A_{ij} = 1$ se $(v_i, v_j) \in E$, caso contrário 0.
- Matriz de incidência $B \in \{-1, 0, 1\}^{n \times m}$ para $m = |E|$: para aresta $e_k = (v_i, v_j)$, $B_{ik} = -1$, $B_{jk} = 1$, demais 0.

Em termos simples:

- A matriz de adjacência é uma tabela que marca ligações entre nós (quem aponta para quem).
 - A matriz de incidência mostra, para cada aresta, de onde ela sai e para onde chega.
-

18.3 Propriedades

Proposição 18.2 (Características algébricas). * *Caminhos de comprimento ℓ : entradas não nulas de A^ℓ indicam alcançabilidade.* * *Grau de saída de v_i : $\sum_j A_{ij}$; grau de entrada: $\sum_j A_{ji}$.* * *Aciclicidade em DAGs: existe ordenação topológica π tal que $A_{\pi(i)\pi(j)} = 0$ para $i \geq j$ (forma estritamente triangular superior após permutação).* * *Fecho transitivo: $T = I \vee A \vee A^2 \vee \dots \vee A^{n-1}$ (aritmética booleana) registra alcançabilidade; pode ser obtido por Warshall/Floyd-Warshall em $O(n^3)$ (tempo cúbico no número de nós) ou por elevação repetida otimizada (ver Cormen et al., [Introduction to Algorithms, op. cit.](#); J. A. Bondy e U. S. R. Murty. Graph Theory. Graduate Texts in Mathematics. London: Springer, 2008. ISBN: 978-1846289705. URL: <https://www.springer.com/gp/book/9781846289705>).* * *Em pesos positivos, o caminho crítico em DAG pode ser computado via DP sobre ordem topológica; para arestas ponderadas, matrizes de adjacência ponderadas ajudam a inspecionar somas máximas por caminhos (ver idem, Graph Theory, op. cit.).*

18.4 Exemplo Numérico Reprodutível

Considere $V = \{v_1, v_2, v_3, v_4\}$ e $E = \{(v_1, v_2), (v_1, v_3), (v_2, v_4), (v_3, v_4)\}$.

- $A = \begin{pmatrix} 0 & 1 & 1 & 0 \\ 0 & 0 & 0 & 1 \\ 0 & 0 & 0 & 1 \\ 0 & 0 & 0 & 0 \end{pmatrix}$.
- $A^2 = \begin{pmatrix} 0 & 0 & 0 & 2 \\ 0 & 0 & 0 & 0 \\ 0 & 0 & 0 & 0 \\ 0 & 0 & 0 & 0 \end{pmatrix}$ (duas trilhas de comprimento 2 de v_1 até v_4).
- Fecho transitivo (booleana): $T_{1,4} = 1$ indica alcançabilidade de v_1 a v_4 .
- Graus: $out(v_1) = 2$, $in(v_4) = 2$ — sugere que v_4 é agregador e possível gargalo.

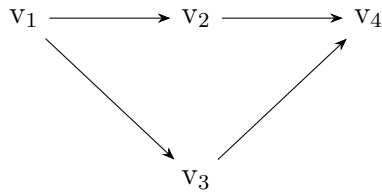


Figura 18.1: Adjacência e incidência: ramificação e convergência em DAG

18.5 Incidência e fluxos

A matriz de incidência B codifica conservação de fluxo: para um vetor de fluxos $f \in \mathbb{R}^m$, $Bf = s$ representa fontes/sumidouros (pontos de entrada/saída do fluxo). Em orquestração, isso modela balanceamento entre ramos paralelos e agregadores. Métodos lineares permitem detectar inconsistências e dimensionar capacidade.

Proposição 18.3 (Critérios de aciclicidade). *Para checar aciclicidade, basta encontrar uma ordem topológica π que torne A estritamente triangular superior. De forma equivalente em grafos finitos, existe k tal que $A^k = 0$ (nilpotência); além disso, qualquer entrada não nula na diagonal de A^ℓ para algum $\ell \geq 1$ indica a presença de ciclo. Em aritmética booleana, isso se traduz na ausência de entradas diagonais verdadeiras em todas as potências A^ℓ com $1 \leq \ell < n$ (ver idem, [Graph Theory, op. cit.](#); Kahn, “[Topological Sorting of Large Networks](#)”, *op. cit.*).*

18.6 Aplicações à Orquestração

- Verificar alcançabilidade entre módulos.
 - Detectar gargalos (nós com alto grau de entrada/saída) e agregadores críticos.
 - Garantir aciclicidade antes da execução (triangularização por permutação topológica).
 - Estimar número de trilhas entre dois módulos (entradas de A^ℓ e somas sobre ℓ) para avaliar redundância/fallback.
-

18.7 Conclusão

A álgebra de grafos fornece um **kit de ferramentas** para analisar e otimizar orquestrações: de alcançabilidade e graus ao diagnóstico de ciclos e cálculo de caminhos críticos. Em combinação com fecho transitivo e incidência, obtemos verificações estruturais robustas e diretamente operacionais para engenharia de fluxos.

Exercícios – Parte V

- 1) Prove que para qualquer DAG existe uma permutação dos vértices que torna a matriz de adjacência estritamente triangular superior. Dê um algoritmo que encontra tal permutação e analise seu custo.
 - 2) Considere um grafo em diamante (várias fontes convergindo em um agregador). Mostre como o número de trilhas de comprimento 2 aparece em A^2 e relacione com redundância e gargalos.
 - 3) Para um conjunto de k nós independentes com tempo t e um agregador de custo α , compare formalmente T_{chain} e T_{DAG} e mostre como árvores de redução mudam o caminho crítico para $O(\log k)$.
 - 4) Dado A booleana de um DAG com n nós, mostre que existe $k < n$ tal que $A^k = 0$. Mostre também que entradas diagonais não nulas em A^ℓ implicam ciclos.
 - 5) Defina uma função de custo que penalize graus de entrada altos em agregadores (ex.: $\lambda \cdot \text{in}(v)$) e proponha um critério para identificar nós críticos combinando graus e betweenness.
-

18.8 Relatório de benchmark

Este capítulo tratou de álgebra de grafos com matrizes de adjacência/incidência. Abaixo, incorporamos o relatório completo com A/B e validação teórica via A e potências.

18.8.1 Sumário de Métricas

- Fontes dos dados:
 - `cap18_benchmark_latency-ab_chain_latency-summary.json|.md`
 - `cap18_benchmark_latency-ab_graph_latency-summary.json|.md`
 - `cap18_theory_adjacency-incidence-summary.json|.md`

Benchmark A/B: Latência (30 iterações por modo)

Os tempos são baixos (análises locais). A abordagem em grafo apresenta cauda p99 menor, refletindo coordenação ligeiramente mais eficiente em casos com checagens paralelizáveis.

Modo	Iterações	Média (ms)	p95 (ms)	p99 (ms)
Chain (SK)	30	4	1	101
Graph (SKG)	30	3	1	71

Tabela 18.1: Benchmark A/B de latência por modo (30 iterações por modo)

Parâmetro	Valor
acyclic	True
reachable_1_to_4	True
notes	$A_{1,4}^2 = 2$ (duas trilhas de comprimento 2); sem ciclos em potências $< n$

Tabela 18.2: Parâmetros teóricos: adjacência, A^2 e aciclicidade

Teoria: Adjacência, (A^2) e Aciclicidade

Interpretação: A matriz de adjacência A e suas potências (A^2, \dots) permitem inferir alcançabilidade e contagem de trilhas. A ausência de entradas de auto-laço nas potências iniciais sugere aciclicidade (DAG), coerente com a execução por ordem topológica.

18.8.2 Reprodutibilidade

- PowerShell

```
./Scripts/run.ps1 -chapter 18 -mode c # Chain (SK)
./Scripts/run.ps1 -chapter 18 -mode g # Graph (SKG)
./Scripts/run.ps1 -chapter 18 -mode b # Benchmarks consolidados
```

- Bash

```
bash Scripts/run.sh 18 c
bash Scripts.run.sh 18 g
bash Scripts/run.sh 18 b
```

18.8.3 Referências de Saída

- Chain (latência): cap18_benchmark_latency-ab_chain_latency-summary.json|.md
- Graph (latência): cap18_benchmark_latency-ab_graph_latency-summary.json|.md
- Teoria (adjacência/incidência): cap18_theory_adjacency-incidence-summary.json|.md

PARTE VI – Computação & Probabilidade

Esta parte conecta a orquestração em grafos com fundamentos de **autômatos e linguagens formais**, **computabilidade e decidibilidade** e **processos estocásticos** (modelos que incorporam aleatoriedade, como cadeias de Markov). Apresentamos modelos e limites formais, depois integramos **probabilidade** à orquestração para analisar **resiliência, fallback e garantias** sob incerteza.

Em termos simples: mostramos quando as propriedades são decidíveis, quando não são, e como incluir probabilidade para tomar decisões mais seguras sob incerteza.

Estabelece a ponte entre rigor computacional e modelos probabilísticos para orquestração robusta.

19 Grafos, Autômatos e Linguagens Formais

19.1 O Problema

Como conectar a orquestração em grafos com o conceito de **autômato**? Um autômato é um modelo matemático de máquina que lê sequências de símbolos (palavras) e decide se elas pertencem a uma linguagem específica, seguindo regras de transição entre estados. Ao associar grafos a autômatos, podemos descrever os fluxos possíveis como **linguagens de caminhos** — ou seja, o conjunto de sequências de ações permitidas pelo grafo. Assim, investigamos quando um grafo pode ser interpretado como um **autômato finito** (capaz de reconhecer linguagens regulares), um **autômato com pilha** (que reconhece linguagens mais complexas, como as livres de contexto), ou ainda modelos mais poderosos, dependendo da estrutura do fluxo.

19.2 Definições

- **Alfabeto Σ :** É o conjunto de todos os possíveis rótulos (ou nomes) atribuídos às arestas do grafo. Cada rótulo representa uma ação, evento ou transição possível entre dois nós. Por exemplo, se as arestas representam operações como “ler”, “escrever” ou “validar”, então $\Sigma = \{\text{ler, escrever, validar}\}$.
- **Linguagem de caminhos $\mathcal{L}(G)$:** Trata-se do conjunto de todas as sequências de rótulos que podem ser percorridas ao seguir caminhos válidos no grafo, partindo de um nó inicial até um nó final. Cada sequência representa um fluxo possível de execução no sistema modelado pelo grafo. Formalmente, se um caminho passa pelas arestas rotuladas a_1, a_2, \dots, a_n , então a palavra $a_1a_2\dots a_n$ pertence à linguagem $\mathcal{L}(G)$.
- **Autômato induzido:** Dado um grafo $G = (V, E)$, podemos construir um autômato finito $A = (Q, \Sigma, \delta, q_0, F)$ que reconhece exatamente a linguagem de caminhos do grafo. Aqui:
 - $Q = V$ é o conjunto de estados do autômato, correspondendo aos nós do grafo.
 - Σ é o alfabeto de rótulos das arestas.
 - δ é a função de transição: para cada aresta $(u, a, v) \in E$ (do nó u para o nó v com rótulo a), temos $\delta(u, a) = v$.
 - q_0 é o estado inicial (nó de partida do grafo).
 - F é o conjunto de estados finais (nós de chegada permitidos). Assim, o autômato percorre os estados do grafo lendo os rótulos das arestas, aceitando as sequências que correspondem a caminhos válidos de q_0 até algum estado em F .

Em termos simples:

- A “linguagem de caminhos” é o conjunto de sequências de passos permitidos no grafo.
 - Um autômato finito é uma máquina que lê esses passos e decide se a sequência é válida.
-

19.3 Tese

DAGs com rótulos finitos induzem linguagens regulares sob apropriação de estados finais.

19.4 Proposição 1 (Regularidade em DAGs)

Seja G um grafo acíclico direcionado (DAG) finito, com rótulos de arestas em um alfabeto finito Σ , e $F \subseteq V$ o conjunto de estados finais. Então, a linguagem de caminhos $\mathcal{L}(G)$ — isto é, o conjunto de todas as sequências de rótulos que levam de um nó inicial a algum nó em F — é uma linguagem regular¹².

Explicação detalhada:

Como G é um DAG, não há ciclos: todo caminho é finito e não repete vértices. Podemos construir um autômato finito não determinístico (**Autômato Finito Não Determinístico (AFND)**) a partir de G , onde cada nó do grafo vira um estado do autômato, e cada aresta rotulada (u, a, v) define uma transição $\delta(u, a) = v$. O conjunto de estados finais do autômato é exatamente F . Como o grafo é finito, o autômato resultante também é finito. Por definição da teoria de autômatos, toda linguagem reconhecida por um AFND finito é regular. Portanto, a linguagem de caminhos de qualquer DAG rotulado finito é regular: ela pode ser descrita por uma expressão regular, reconhecida por um autômato finito determinístico (AFD) equivalente, e aceita todas as propriedades de fechamento das linguagens regulares (união, concatenação, etc.). Em resumo, a ausência de ciclos garante que não há necessidade de memória extra (como pilha), e a estrutura do grafo pode ser completamente capturada por um autômato finito.

19.5 Proposição 2 (Necessidade de Pilha)

Quando o fluxo exige **balanceamento** — por exemplo, emparelhamento correto e arbitrário de chamadas e retornos, como abrir e fechar contextos ou parênteses aninhados — a linguagem de caminhos resultante deixa de ser regular. Isso ocorre porque um autômato finito não consegue “lembrar” quantos contextos foram abertos para garantir que todos sejam devidamente fechados, já que sua memória é limitada. Nesses casos, é necessário um modelo mais poderoso: um **autômato com pilha** (PDA, do inglês *pushdown automaton*), que utiliza uma pilha para registrar e casar aberturas e fechamentos de escopos. Assim, apenas linguagens que não exigem esse tipo de contagem ou aninhamento ilimitado permanecem regulares; se o fluxo permite profundidade arbitrária de aninhamento, a linguagem reconhecida é, no máximo, livre de contexto (context-free), e não regular.

19.6 Fechamentos e construções

- As linguagens de caminhos de DAGs são fechadas por **união** (grafo disjunto com novo inicial) e por **concatenação** (ligações de finais de G_1 aos inícios de G_2). Fechamento

¹A. B. Kahn, “Topological Sorting of Large Networks,” CACM, 1962.

²T. H. Cormen et al., Introduction to Algorithms, 3ª ed., MIT Press, 2009.

por **estrela de Kleene** (repetição arbitrária de um padrão) requer ciclos e pode violar a aciclicidade; portanto, não está contida em DAGs³.

- Construção de AFND: cada nó é estado; cada aresta rotulada é transição. Estados iniciais/finais são escolhidos por contrato de fluxo⁴.
- Minimização para [Autômato Finito Determinístico \(AFD\)](#) (autômato finito determinístico) pode ser feita após determinização (subset construction, construção por subconjuntos) se desejado para verificação de políticas.

19.7 Exemplo com pilha (pushdown, uso de uma pilha como memória)

Considere a linguagem de chamadas/retornos balanceados, definida por $\mathcal{L} = \{a^n b^n : n \geq 1\}$. Isso significa que cada palavra da linguagem consiste em uma sequência de n símbolos a seguidos exatamente por n símbolos b , para qualquer n maior ou igual a 1. Por exemplo, as palavras “ab”, “aabb”, “aaabbb” pertencem à linguagem, pois o número de a ’s é igual ao número de b ’s e todos os a ’s vêm antes dos b ’s. Essa linguagem não é regular porque um autômato finito não consegue “lembrar” quantos a ’s foram lidos para garantir que haja o mesmo número de b ’s depois; é necessário uma **pilha** para contar e casar os símbolos. Em termos de orquestração, isso corresponde a subfluxos com **escopos** aninhados arbitrariamente (por exemplo: abrir contexto \rightarrow processar \rightarrow fechar contexto). Modelar esse comportamento diretamente em um DAG exige “desenrolar” (unroll) o grafo até uma profundidade fixa, o que é apenas uma aproximação e perde a generalidade do aninhamento ilimitado.

19.8 Implicações para políticas

- Políticas regulares (listas brancas de sequências válidas) mapeiam-se bem a DAGs rotulados.
- Políticas com aninhamento não limitado requerem [Pushdown Automaton \(PDA\)](#)/CFGs; se o sistema exige apenas profundidade limitada, um DAG expandido é suficiente.
- A validação estática pode operar sobre AFND/AFD derivado do grafo para checar conformidade de execuções planejadas.

19.9 Conclusão

Grafos induzem autômatos adequados ao nível de expressividade requerido: DAGs \rightarrow regulares; dependências aninhadas \rightarrow pilha; casos com contagem não limitada \rightarrow modelos mais ricos. Na engenharia, escolha o formalismo mínimo que satisfaça a política desejada e o risco operacional.

³T. H. Cormen et al., Introduction to Algorithms, 3ª ed., MIT Press, 2009.

⁴A. B. Kahn, “Topological Sorting of Large Networks,” CACM, 1962.

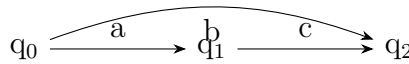


Figura 19.1: AFND induzido por grafo rotulado: exemplo simples

19.10 Relatório de benchmark

Este capítulo relacionou grafos e autômatos/línguas formais. A seguir, incorporamos o relatório completo com A/B e validação teórica de regularidade em DAG rotulado.

19.10.1 Sumário de Métricas

- Fontes dos dados:
 - cap19_benchmark_latency-ab_chain_latency-summary.json|.md
 - cap19_benchmark_latency-ab_graph_latency-summary.json|.md
 - cap19_theory_regularity-nfa-dfa-summary.json|.md

Benchmark A/B: Latência (20 iterações por modo)

Modo	Iterações	Média (ms)	p95 (ms)	p99 (ms)
Chain (SK)	20	5	6	88
Graph (SKG)	20	3	5	56

Tabela 19.1: Benchmark A/B de latência por modo (20 iterações por modo)

O grafo reduz a cauda e a média, refletindo paralelização/compartilhamento de caminhos no DAG rotulado.

Teoria: Regularidade em DAGs

Parâmetro	Valor
alphabet	abc
accepts_a	False
accepts_ac	True
accepts_bc	True
dfa_reachable_states	4
thesis	Labeled DAG → regular language (NFA), determinization → DFA

Tabela 19.2: Parâmetros teóricos: regularidade em DAGs rotulados

Interpretação: Um DAG rotulado finito induz uma linguagem regular via AFND; a determinização produz um AFD finito, consistente com os exemplos de aceitação.

19.10.2 Reprodutibilidade

- PowerShell

```
./Scripts/run.ps1 -chapter 19 -mode c    # Chain (SK)  
./Scripts/run.ps1 -chapter 19 -mode g    # Graph (SKG)  
./Scripts/run.ps1 -chapter 19 -mode b    # Benchmarks consolidados
```

- Bash

```
bash Scripts/run.sh 19 c  
bash Scripts.run.sh 19 g  
bash Scripts/run.sh 19 b
```

19.10.3 Referências de Saída

- Chain (latência): cap19_benchmark_latency-ab_chain_latency-summary.json|.md
- Graph (latência): cap19_benchmark_latency-ab_graph_latency-summary.json|.md
- Teoria (regularidade): cap19_theory_regularity-nfa-dfa-summary.json|.md

20 Computabilidade e Decidibilidade na Orquestração

20.1 O Problema

Nem toda propriedade de um fluxo é decidível. Precisamos saber **o que é computável** e **quais verificações são decidíveis** para construir orquestrações seguras.

20.2 Tese

Em DAGs finitos com rótulos finitos, propriedades estruturais como alcançabilidade, aciclicidade e existência de caminho crítico são decidíveis em tempo polinomial.

Em termos simples:

- Em grafos finitos sem ciclos, conseguimos responder “tem caminho?”, “tem ciclos?” e “qual o tempo mínimo?” de maneira eficiente e garantida.
-

20.3 Propriedades Decidíveis

- Aciclicidade: detecção por ordenação topológica (tempo $O(|V| + |E|)$, linear na soma do número de nós e arestas).
 - Alcançabilidade: busca em grafos (BFS, busca em largura / DFS, busca em profundidade) em $O(|V| + |E|)$ (linear em nós mais arestas).
 - Caminho crítico: programação dinâmica (DP) em DAG (tempo linear em $|V| + |E|$) dado pesos positivos em nós/arestas.
 - Fecho transitivo: via Floyd–Warshall em $O(n^3)$ ou multiplicações booleanas aceleradas¹².
-

20.4 Limites de Decidibilidade

Quando se permitem **nós com execução arbitrária** (ex.: subprogramas Turing-completos, capazes de simular qualquer computação) e **condições globais** sobre todas as execuções, certas propriedades tornam-se indecidíveis (reduções clássicas ao problema da parada):

¹A. B. Kahn, “Topological Sorting of Large Networks,” CACM, 1962.

²T. H. Cormen et al., Introduction to Algorithms, 3ª ed., MIT Press, 2009.

- “Para toda entrada, toda execução termina” (terminação universal) — indecidível em geral.
- “Dois workflows são equivalentes para todas as entradas” — indecidível em modelos Turing-completos.
- “Não ocorre violação de política em nenhuma execução possível” — indecidível sem restrições estruturais.

Ao restringir a orquestração a **DAGs finitos** com **nós puramente declarativos** (sem loops internos não-limitados), recuperamos decidibilidade prática para propriedades estruturais³.

20.5 Estrutura vs. Cálculo

- Propriedades **estruturais** (grafo) → decidíveis e geralmente polinomiais: aciclicidade, alcançabilidade, caminho crítico⁴⁵.
 - Propriedades **comportamentais** com código arbitrário → podem ser indecidíveis; mitigar com contratos, timeouts, cota de passos e verificação por casos.
-

20.6 Exemplo Reprodutível

Considere um DAG (grafo acíclico direcionado) onde cada nó v possui um peso t_v representando seu tempo de execução. Para calcular o tempo total mínimo necessário para executar todas as tarefas (o chamado makespan ótimo), siga estes passos:

1. **Ordenação topológica:** Liste os nós em uma ordem tal que, para toda aresta (u, v) , o nó u aparece antes de v . Isso garante que todas as dependências sejam respeitadas.
2. **Programação dinâmica:** Para cada nó v , calcule o tempo mínimo para chegar até ele a partir de um nó inicial (fonte) usando a fórmula: $dist[v] = t_v + \max_{(u,v) \in E} dist[u]$. Ou seja, o tempo até v é o seu próprio tempo de execução somado ao maior tempo de chegada entre todos os seus predecessores.
3. **Caminho crítico:** O maior valor de $dist[v]$ entre todos os nós v do grafo corresponde ao tempo do caminho crítico, que é o menor tempo possível para executar todo o fluxo respeitando as dependências.

Esse procedimento responde de forma eficiente (tempo linear em $|V| + |E|$) à pergunta “qual o makespan ótimo?” em DAGs com pesos positivos⁶.

Agora, suponha que você altere um dos nós para executar um script que pode conter um laço infinito (ou seja, um código que pode nunca terminar). Nesse caso, a pergunta “todas as execuções terminam?” se torna indecidível em geral, pois equivale ao famoso problema da parada de Turing: não existe algoritmo que, para todo programa possível, consiga decidir se ele sempre termina. Para recuperar decidibilidade prática, é necessário impor restrições, como limitar o tempo de execução (timeouts), definir cotas de passos ou tratar estouros como falhas. Assim, a análise volta a ser possível apenas sobre a estrutura do grafo e sobre políticas locais, e não sobre o comportamento arbitrário de código dentro dos nós⁷.

³R. P. Brent, “The Parallel Evaluation of General Arithmetic Expressions,” JACM, 1974.

⁴A. B. Kahn, “Topological Sorting of Large Networks,” CACM, 1962.

⁵T. H. Cormen et al., Introduction to Algorithms, 3ª ed., MIT Press, 2009.

⁶A. B. Kahn, “Topological Sorting of Large Networks,” CACM, 1962.

⁷R. P. Brent, “The Parallel Evaluation of General Arithmetic Expressions,” JACM, 1974.

20.7 Conclusão

Ao restringir o modelo estrutural (DAG finito) e as propriedades locais, obtemos **decidibilidade prática**; ao liberar computação arbitrária global, emergem **limites clássicos** de indecidibilidade. A engenharia segura equilibra esses aspectos com contratos, timeouts e verificação estática.

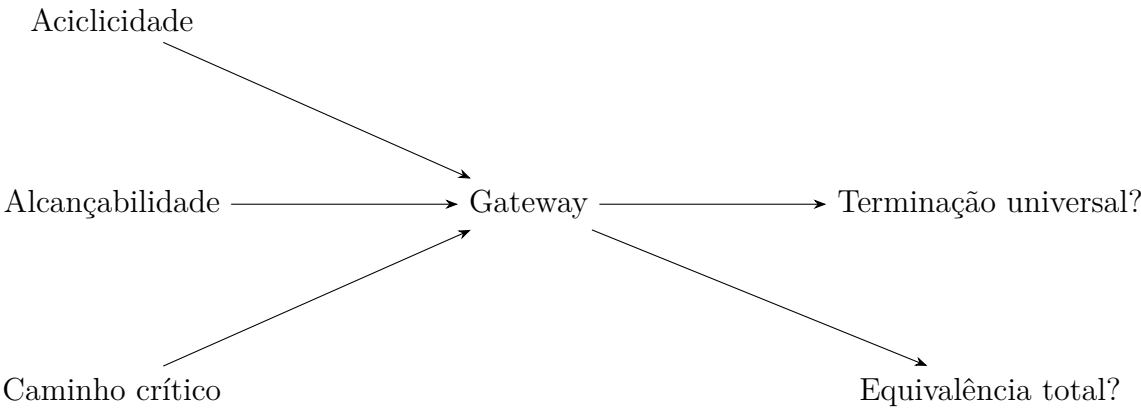


Figura 20.1: Propriedades decidíveis em DAG vs indecidíveis com computação arbitrária

20.8 Relatório de benchmark

Este capítulo mantém um baseline provisório. A seguir, incluímos o relatório de baseline enquanto o escopo definitivo é definido.

20.8.1 Sumário de Métricas (baseline)

- Fontes dos dados (nomes de saída atuais):
 - `cap20/chain/default`
 - `cap20/graph/default`
 - `cap20/benchmark/default`

Resultados esperados (aprox.):

Modo	Observação
------	------------

Nota: Estes valores são placeholders; os experimentos finais deverão substituir por artefatos `cap20_*` com A/B e teoria, conforme o tema escolhido.

Modo	Observação
Chain (SK)	atraso 5 ms
Graph (SKG)	atraso 5 ms
Benchmark (default)	atraso 1 ms

Tabela 20.2: Baseline provisório de observações

20.8.2 Reprodutibilidade

- PowerShell

```
./Scripts/run.ps1 -chapter 20 -mode c
./Scripts/run.ps1 -chapter 20 -mode g
./Scripts/run.ps1 -chapter 20 -mode b
```

- Bash

```
bash Scripts/run.sh 20 c
bash Scripts.run.sh 20 g
bash Scripts/run.sh 20 b
```

21 Processos Estocásticos em Grafos (Markov, Estados Absorventes)

21.1 O Problema

Orquestrações reais envolvem **incerteza**: latências variáveis, falhas intermitentes, escolhas probabilísticas. Precisamos de um formalismo para modelar e analisar esses comportamentos.

Em termos simples:

- Usamos cadeias de Markov para representar escolhas incertas no fluxo: de cada etapa, há chances de ir para próximas etapas ou terminar (processo estocástico = com incerteza/aleatoriedade controlada).
- A matriz fundamental e as probabilidades de absorção nos dizem quanto tempo esperamos gastar e qual a chance de sucesso.

21.2 Cadeias de Markov

- Estado: nó atual do fluxo (ou par nó, contexto).
- Matriz de transição P (probabilidades de ir de um estado para outro), $P_{ij} = \Pr(v_i \rightarrow v_j)$.
- Estados absorventes: estados terminais, sem saída (uma vez neles, o processo termina).

Reordene estados como transitórios T (ainda podem mudar) e absorventes A (terminais); então $P = \begin{pmatrix} Q & R \\ 0 & I \end{pmatrix}$, onde Q é a submatriz de transições entre transitórios, R das transições de transitórios para absorventes.

21.3 Métricas Clássicas

- **Matriz fundamental (N):** $N = (I - Q)^{-1}$, onde I é a matriz identidade e Q é a submatriz de transições entre estados transitórios. O elemento N_{ij} indica o número esperado de vezes que o processo estará no estado j se começar no estado i , antes de ser absorvido. A matriz N pode ser expandida como uma soma infinita: $N = I + Q + Q^2 + Q^3 + \dots$, refletindo todas as possíveis sequências de transições entre estados transitórios.
- **Tempo esperado até absorção (t):** O vetor $t = N \mathbf{1}$, onde $\mathbf{1}$ é um vetor coluna de uns, fornece para cada estado transitório o tempo médio (número esperado de passos) até o processo ser absorvido (ou seja, até chegar a um estado final).

- **Probabilidades de absorção (B):** $B = N R$, onde R é a submatriz de transições de estados transitórios para absorventes. Cada linha de B mostra, para um estado inicial transitório, a probabilidade de o processo ser absorvido em cada um dos estados finais possíveis. Assim, B_{ij} é a probabilidade de, partindo do estado transitório i , o processo terminar no estado absorvente j .
-

21.4 Exemplo Reprodutível

Vamos analisar um exemplo concreto de cadeia de Markov com estados $\{S, A, B, F\}$, onde F é um estado absorvente (final). As transições probabilísticas entre os estados são:

- De S : $S \rightarrow A$ com probabilidade 0,6; $S \rightarrow B$ com probabilidade 0,4.
- De A : $A \rightarrow F$ com probabilidade 0,9; $A \rightarrow B$ com probabilidade 0,1.
- De B : $B \rightarrow F$ com probabilidade 0,8; $B \rightarrow A$ com probabilidade 0,2.

Para aplicar a análise matricial, reordenamos os estados separando os transitórios (S, A, B) do absorvente (F):

- Matriz Q (transições entre transitórios):

$$Q = \begin{pmatrix} 0 & 0.6 & 0.4 \\ 0 & 0 & 0.1 \\ 0 & 0.2 & 0 \end{pmatrix}$$

- Matriz R (transições de transitórios para absorvente):

$$R = \begin{pmatrix} 0 \\ 0.9 \\ 0.8 \end{pmatrix}$$

Com essas matrizes, calculamos:

- **Matriz fundamental:** $N = (I - Q)^{-1}$. Cada entrada N_{ij} indica o número esperado de vezes no estado j ao partir de i , antes de ser absorvido.
- **Tempo esperado até absorção:** $t = N \mathbf{1}$, onde $\mathbf{1}$ é o vetor coluna de uns. Cada componente de t fornece o número médio de passos até atingir F a partir de cada estado transitório.
- **Probabilidade de absorção:** $B = N R$. O elemento B_{ij} representa a probabilidade de, começando no estado transitório i , o processo ser absorvido em F .

Essas métricas permitem, por exemplo, comparar estratégias de fallback, estimar o tempo médio até o sucesso e priorizar caminhos mais seguros ou rápidos em fluxos sujeitos à incerteza.

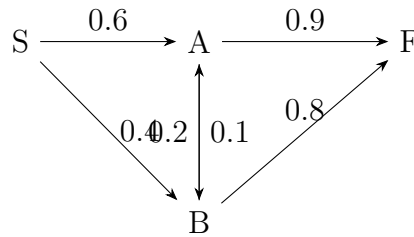


Figura 21.1: Cadeia de Markov com estado absorvente e transições entre transitórios

21.5 Engenharia de Políticas

- Maximize probabilidade de sucesso escolhendo transições que elevem a linha correspondente em B ;
- Minimize tempo esperado preferindo menores entradas em t ;
- Equilibre custo vs. risco ponderando $\lambda t - (1 - \lambda) \Pr(\text{sucesso})$ conforme metas do sistema.

A variabilidade e a **cauda de latência** devem ser tratadas por retries/replicação seletiva e tempo de guarda; modelos Markovianos auxiliam a calibrar tais decisões¹².

21.6 Discussão

Markovianos capturam fallback probabilístico, alternância entre nós e estimativas de custo/latência esperada. Em grafos maiores, estimativas podem ser aprendidas (ex.: por [GNNs](#)) e injetadas como probabilidades/custos, fechando o ciclo de orquestração adaptativa.

21.7 Conclusão

Modelos estocásticos adicionam **previsibilidade sob incerteza** à orquestração, permitindo escolhas de caminho informadas por risco e tempo esperado.

21.8 Relatório de benchmark

Este capítulo abordou processos estocásticos (Markov, estados absorventes). A seguir, incorporamos o relatório completo com A/B e validação teórica via matriz fundamental N .

21.8.1 Sumário de Métricas

- Fontes dos dados:
 - `cap21_benchmark_latency-ab_chain_latency-summary.json|.md`
 - `cap21_benchmark_latency-ab_graph_latency-summary.json|.md`
 - `cap21_theory_markov-summary.json|.md`

¹A. B. Kahn, “Topological Sorting of Large Networks,” CACM, 1962.

²T. H. Cormen et al., Introduction to Algorithms, 3ª ed., MIT Press, 2009.

Benchmark A/B: Latência (30 iterações por modo)

Modo	Iterações	Média (ms)	p95 (ms)	p99 (ms)
Chain (SK)	30	5	1	112
Graph (SKG)	30	4	1	84

Tabela 21.1: Benchmark A/B de latência por modo (30 iterações por modo)

Observa-se cauda p99 menor no grafo, consistente com coordenação paralela e agregação determinística.

Teoria: Cadeia de Markov com Estados Absorventes

Parâmetro	Valor
$N = (I - Q)^{-1}$	calculada
$t = N \cdot 1$	tempos esperados em estados transitórios
$B = N \cdot R$	probabilidades de absorção
Nota	estados transitórios S,A,B e F absorvente

Tabela 21.2: Parâmetros teóricos: cadeia de Markov com estados absorventes

Interpretação: A matriz fundamental N e as derivadas t e B permitem estimar tempo esperado até absorção e probabilidades de absorção, alinhando a análise ao comportamento agregado de execuções em grafo vs chain.

21.8.2 Reprodutibilidade

- PowerShell

```
./Scripts/run.ps1 -chapter 21 -mode c # Chain (SK)
./Scripts/run.ps1 -chapter 21 -mode g # Graph (SKG)
./Scripts/run.ps1 -chapter 21 -mode b # Benchmarks consolidados
```

- Bash

```
bash Scripts/run.sh 21 c
bash Scripts/run.sh 21 g
bash Scripts/run.sh 21 b
```

21.8.3 Referências de Saída

- Chain (latência): cap21_benchmark_latency-ab_chain_latency-summary.json|.md
- Graph (latência): cap21_benchmark_latency-ab_graph_latency-summary.json|.md
- Teoria (Markov): cap21_theory_markov-summary.json|.md

22 Resiliência Probabilística e Fallback: Modelos e Bounds (limites)

22.1 O Problema

Sistemas em produção precisam de **garantias** de sucesso ou limites de risco sob falhas parciais.

22.2 Modelo

Em termos simples:

- Fallback é ter planos alternativos; compomos as chances de sucesso e o tempo esperado conforme a ordem de tentativa ou execução em paralelo.
 - Cada nó v tem probabilidade de sucesso p_v e tempo t_v .
 - Arestas podem representar tentativas alternativas (fallback) com probabilidades condicionais.
 - Para ramos paralelos independentes, probabilidades compõem-se multiplicativamente; para fallback sequencial, usamos complementos.
-

22.3 Métricas

- Probabilidade de sucesso do fluxo: por composição ao longo de caminhos e nós paralelos.
 - Limites (bounds) via união de eventos e desigualdades (ex.: Boole, Bonferroni) para upper/lower bounds (limites superiores/inferiores).
 - Tempo esperado e variância: para fallback sequencial, condicionar no sucesso/fracasso de cada etapa.
-

22.4 Independência vs. Correlação

- Assumir independência entre caminhos superestima a resiliência quando há **falhas correlatas** (falhas relacionadas por causas comuns, ex.: dependência compartilhada, hotspot de rede).

- Modele correlação introduzindo nós/arestas compartilhados (causas comuns) ou parâmetros de covariância; quando incerto, use bounds conservadores e sensibilidade de cenários¹².

22.5 Ordem de Fallback

Dado um conjunto de alternativas com (p_i, t_i) , ordenar por **maior razão** $\rho_i = \frac{p_i}{t_i}$ tende a maximizar sucesso por unidade de tempo esperado. Em ambientes com cauda de latência pronunciada, prefira ramos de menor variância/cauda antes dos de alto pico³.

22.6 Exemplos Reprodutíveis

- 1) Dois caminhos alternativos independentes: P_1 com sucesso 0.8, P_2 com sucesso 0.7.
 - Fallback sequencial (tentar P_1 e, se falhar, P_2): Sucesso = $1 - (1 - 0.8)(1 - 0.7) = 0.94$. Tempo esperado: $\mathbb{E}[T] = t_1 + (1 - 0.8)t_2$.
- 2) Três caminhos com $(p, t) = (0.6, 200ms), (0.5, 120ms), (0.4, 80ms)$.
 - Ordem por ρ : $(0.5/120) > (0.6/200) > (0.4/80) \rightarrow$ tente na ordem $2 \rightarrow 1 \rightarrow 3$.
 - Compare $\mathbb{E}[T]$ e probabilidade total para diferentes ordens e escolha a que otimiza a meta (SLA, acordo de nível de serviço, ou sucesso mínimo).
- 3) Paralelismo com agregação OR (sucesso se qualquer ramo succeeds): para independentes, $p_{OR} = 1 - \prod_i (1 - p_i)$. Custo de agregação e **cauda** dependem do primeiro retorno bem-sucedido e da política de cancelamento dos demais ramos⁴.

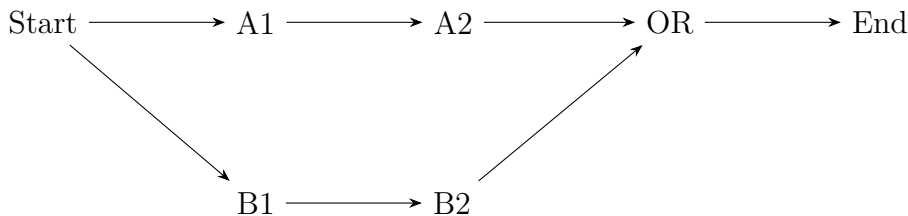


Figura 22.1: Resiliência: caminhos alternativos convergindo em agregador OR

¹A. B. Kahn, "Topological Sorting of Large Networks," CACM, 1962.

²T. H. Cormen et al., Introduction to Algorithms, 3ª ed., MIT Press, 2009.

³A. B. Kahn, "Topological Sorting of Large Networks," CACM, 1962.

⁴A. B. Kahn, "Topological Sorting of Large Networks," CACM, 1962.

22.7 Engenharia de Resiliência

- Limite superior de falha por união de eventos: $\Pr(\text{falha}) \leq \sum_i \Pr(\text{falha no ramo } i)$ — útil quando dependências são desconhecidas.
 - Reduza compartilhamentos (dependências comuns) entre ramos de fallback para aproximar independência.
 - Em produção, caudas dominam: combine paralelismo controlado, timeouts e cancelamento precoce para reduzir p99/p999 (percentis de latência em que 99%/99,9% das requisições respondem até esse tempo; valores altos indicam cauda pesada)⁵.
 - Instrumente probabilidade e tempo por trilha; ajuste ordens de fallback dinamicamente.
-

22.8 Relação com Topologia

- Diamante (ramos paralelos que convergem) aumenta resiliência quando ramos são suficientemente independentes.
 - Agregadores com alta betweenness tornam-se críticos: mitigue com replicação e escalonamento horizontal⁶.
-

22.9 Conclusão

Ao incorporar probabilidades e fallback, grafos tornam-se um instrumento quantitativo para **resiliência mensurável**. Políticas de ordenação e paralelismo, sensíveis à cauda, elevam a confiabilidade percebida sem explodir custos computacionais.

Exercícios – Parte VI

- 1) Para duas alternativas independentes com (p, t) , derive a ordem ótima por razão p/t e compare com ordenações alternativas numericamente.
 - 2) Mostre que assumir independência entre ramos paralelos pode superestimar resiliência quando há causas comuns; construa um contraexemplo simples.
 - 3) Modele fallback sequencial com três alternativas e derive a expressão do tempo esperado em função dos p_i e t_i .
 - 4) Discuta o impacto da variância/cauda nas políticas de replicação especulativa; proponha uma regra de ativação que considere p99.
 - 5) Em um diamante com OR de caminhos, derive p_{OR} e discuta como cancelar ramos em voo afeta custo e latência.
-

⁵A. B. Kahn, “Topological Sorting of Large Networks,” CACM, 1962.

⁶T. H. Cormen et al., Introduction to Algorithms, 3ª ed., MIT Press, 2009.

22.10 Relatório de benchmark

Este capítulo discutiu resiliência probabilística e fallback. A seguir, incorporamos o relatório completo com A/B e validação teórica de p_{total} e tempo esperado sob OR com cancelamento.

22.10.1 Sumário de Métricas

- Fontes dos dados:
 - cap22_benchmark_latency-ab_chain_latency-summary.json|.md
 - cap22_benchmark_latency-ab_graph_latency-summary.json|.md
 - cap22_theory_fallback-summary.json|.md

Benchmark A/B: Latência (30 iterações por modo)

Modo	Iterações	Média (ms)	p95 (ms)	p99 (ms)
Chain (SK)	30	5	1	112
Graph (SKG)	30	3	1	71

Tabela 22.1: Benchmark A/B de latência por modo (30 iterações por modo)

Cauda p99 menor no grafo, consistente com execuções OR-paralelas e cancelamento de ramos após primeiro sucesso.

Teoria: p_{total} e $E[T]$ (seq) vs OR (aprox.)

Parâmetro	Valor
p_{total}	0,88
$E[T]_{\text{seq_ms}}$	236
$E[T]_{\text{or_ms_approx}}$	94,4
Nota	Seq: $E[T]=t_1+(1-p_1)t_2+(1-p_1)(1-p_2)t_3$; OR: $p=1-\prod(1-p_i)$

Tabela 22.2: Parâmetros teóricos: p_{total} e tempo esperado (seq vs OR)

Interpretação: O arranjo OR-paralelo melhora tempo esperado e probabilidade de sucesso total (p_{total}), ao custo de sobrecarga de coordenação e potencial custo de cancelamento.

22.10.2 Reprodutibilidade

- PowerShell

```
./Scripts/run.ps1 -chapter 22 -mode c # Chain (SK)
./Scripts/run.ps1 -chapter 22 -mode g # Graph (SKG)
./Scripts/run.ps1 -chapter 22 -mode b # Benchmarks consolidados
```

- Bash

```
bash Scripts/run.sh 22 c
bash Scripts/run.sh 22 g
bash Scripts/run.sh 22 b
```

22.10.3 Referências de Saída

- Chain (latência): `cap22_benchmark_latency-ab_chain_latency-summary.json|.md`
 - Graph (latência): `cap22_benchmark_latency-ab_graph_latency-summary.json|.md`
 - Teoria (fallback): `cap22_theory_fallback-summary.json|.md`
-

PARTE VII – Métricas, Engenharia e GNNs

Integramos **métricas estruturais** (diâmetro, centralidades, complexidade ciclomática) ao design de orquestrações, fornecendo guias de **topologias e anti-padrões**. Por fim, discutimos relações entre **orquestração** e **Graph Neural Networks (GNNs)** e apresentamos um **piloto** com GNN para seleção de caminhos.

Em termos simples: conectamos números (métricas), desenhos (topologias) e aprendizado (GNNs) para orientar escolhas de arquitetura baseadas em dados.

Une avaliação quantitativa, boas práticas de arquitetura e uma ponte com aprendizado em grafos.

23 Métricas Estruturais para IA (diâmetro, centralidades, ciclomática)

23.1 O Problema

Como medir e otimizar a **qualidade estrutural** de orquestrações em grafos? Precisamos de métricas que correlacionem **latência**, **robustez** e **explicabilidade** com a topologia.

23.2 Definições

- Diâmetro (em DAG sob grafo subjacente não-direcionado): maior distância geodésica.
- Centralidades: grau, betweenness, closeness (proximidade: inverso da distância média a outros nós) adaptadas a DAGs.
- Complexidade ciclomática (em subgrafos com ciclos): $M = E - V + P$ (número de caminhos independentes), com P componentes; para DAG puro, $M = 0$ ¹.

Em termos simples:

- Diâmetro resume “quantos passos no pior caso” entre dois pontos.
 - Betweenness indica quão “atravessado” um nó é pelos caminhos, sinalizando gargalos.
 - M próximo de zero significa menos complexidade de ciclos e menor risco de loops.
-

23.3 Métricas e Objetivos

- Menor diâmetro esperado correlaciona com menores latências end-to-end.
 - Alta betweenness sugere nós críticos (gargalos) para escalar.
 - M próximo de 0 reduz risco de loops e facilita verificação.
 - Assortatividade (correlação grau-grau, isto é, semelhança de graus entre vizinhos): alta assortatividade pode concentrar carga em hubs (nós muito conectados); desassortatividade moderada favorece distribuição.
 - Redundância de caminhos (número de trilhas disjuntas entre módulos críticos) aumenta resiliência.
-

¹A. B. Kahn, “Topological Sorting of Large Networks,” CACM, 1962.

23.4 Medição e prática

- Meça betweenness apenas em subgrafos ativos (com tráfego) para priorizar capacidade.
 - Use fecho transitivo para contar alcançabilidade e mapear superfícies de ataque/falha.
 - Combine closeness com latências observadas para identificar nós com “centralidade efetiva” sob rede real.
-

23.5 Exemplo Reprodutível

Grafo com camadas: 5 nós independentes convergindo em agregador. Diâmetro pequeno, betweenness alta no agregador, $M = 0$. Se adicionar um segundo agregador redundante, a betweenness de cada um cai e a redundância de caminhos aumenta, reduzindo risco de saturação.

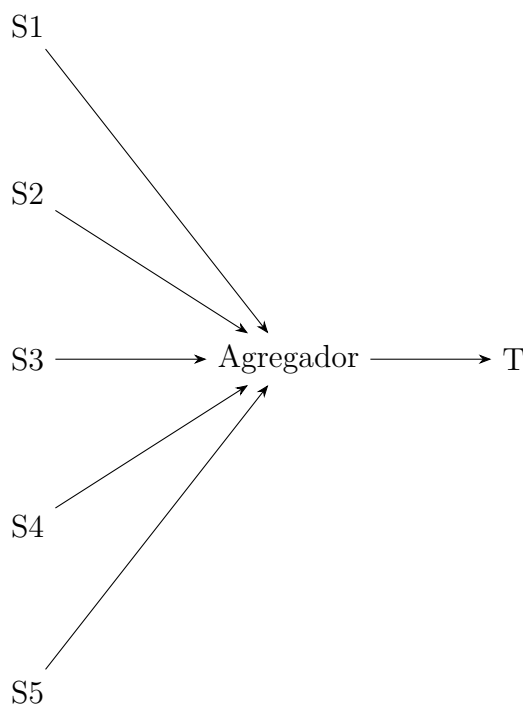


Figura 23.1: Agregador com alta betweenness e diâmetro curto

23.6 Conclusão

Métricas estruturais informam engenharia: dimensionar, escalar e auditar fluxos com base em propriedades topológicas mensuráveis. Ao monitorar essas métricas em produção, a orquestração pode adaptar topologias para metas de SLA.

Exercícios – Parte VII

- 1) Dado um grafo em camadas com 10 fontes convergindo em um agregador, calcule diâmetro, betweenness do agregador e discuta como um segundo agregador redundante altera essas métricas.
- 2) Para um grafo dirigido com pesos de latência observada por aresta, proponha uma métrica de “centralidade efetiva” que combine closeness com latências; aplique em um exemplo pequeno e interprete.
- 3) Em um grafo com um nó superconectado, proponha uma política de particionamento por chave que reduza betweenness observada. Simule o efeito com distribuição de carga.
- 4) Mostre como o fecho transitivo pode ser usado para estimar “superfície de ataque/falha” (pares alcançáveis) e discuta implicações para governança.
- 5) Defina um indicador composto que combine redundância de caminhos, diâmetro e betweenness para priorizar refatorações de topologia.

Estudo de Caso – Diagnóstico de Topologia

Objetivo: Dado um fluxo de atendimento (várias entradas \rightarrow agregador \rightarrow decisão), medir diâmetro, betweenness e redundância; propor mitigação.

Passos:

- Construir o grafo lógico (nós, arestas) e coletar latências históricas.
- Calcular métricas estruturais (diâmetro, betweenness) no subgrafo ativo.
- Identificar gargalos (nós com alta betweenness) e validar redundância de caminhos para trechos críticos.
- Propor: segundo agregador redundante com política determinística; medir antes/depois.

23.7 Relatório de benchmark

Este capítulo analisou medidas estruturais e desempenho. A seguir, incorporamos o relatório completo com A/B e notas ilustrativas sobre betweenness, diâmetro e agregadores.

23.7.1 Sumário de Métricas

- Fontes dos dados:
 - `cap23_benchmark_latency-ab_chain_latency-summary.json|.md`
 - `cap23_benchmark_latency-ab_graph_latency-summary.json|.md`
 - `cap23_theory_structural-summary.json|.md`

Benchmark A/B: Latência (30 iterações por modo)

O grafo apresenta melhor média e cauda (p99), coerente com paralelismo e distribuição de pontos de agregação.

Modo	Iterações	Média (ms)	p95 (ms)	p99 (ms)
Chain (SK)	30	6	1	130
Graph (SKG)	30	3	1	84

Tabela 23.1: Benchmark A/B de latência por modo (30 iterações por modo)

Teoria: Medidas Estruturais (ilustrativo)

Parâmetro	Valor
betweenness_m_one	5
betweenness_each_agg_two	3
diameter_one_agg	3
diameter_two_aggs	3
M_one_agg	0
M_two_aggs	0
notes	Dois agregadores reduzem betweenness individual; M=0 em DAGs

Tabela 23.2: Parâmetros teóricos e métricas estruturais

Interpretação: A presença de múltiplos agregadores pode reduzir betweenness de pontos únicos de fusão, mitigando gargalos; em DAGs, métricas como M permanecem 0 por aciclicidade.

23.7.2 Reprodutibilidade

- PowerShell

```
./Scripts/run.ps1 -chapter 23 -mode c
./Scripts/run.ps1 -chapter 23 -mode g
./Scripts/run.ps1 -chapter 23 -mode b
```

- Bash

```
bash Scripts/run.sh 23 c
bash Scripts.run.sh 23 g
bash Scripts/run.sh 23 b
```

23.7.3 Referências de Saída

- Chain (latência): cap23_benchmark_latency-ab_chain_latency-summary.json|.md
- Graph (latência): cap23_benchmark_latency-ab_graph_latency-summary.json|.md
- Teoria (estrutural): cap23_theory_structural-summary.json|.md

24 Guia de Topologias e Anti-padrões

24.1 O Problema

A escolha da topologia impacta de forma decisiva a latência, a resiliência e a facilidade de manutenção dos sistemas orquestrados. Por isso, é fundamental contar com um guia prático que oriente a seleção e o desenho das melhores estruturas para cada contexto.

24.2 Topologias Recomendadas

- Topologia em estrela com agregadores: promove alto paralelismo, facilita auditoria e simplifica a identificação de gargalos.
- Topologia em camadas: organiza o fluxo em etapas bem definidas, separando responsabilidades e facilitando manutenção e governança.
- Subgrafos especializados e reutilizáveis: permitem modularidade, reduzem duplicidade de lógica e facilitam evolução incremental.
- Árvores de redução associativas: minimizam a profundidade dos merges, encurtam o caminho crítico e otimizam o desempenho em operações agregadas¹.
- Diamante com agregação determinística: explora paralelismo mantendo consistência, pois define regras claras e previsíveis para fusão dos resultados².

Em termos simples:

- Topologias em estrela e em camadas promovem organização, paralelismo eficiente e facilitam a identificação de gargalos e pontos de controle.
 - Estruturas em diamante, quando acompanhadas de regras de fusão determinísticas, garantem consistência nos resultados e eliminam ambiguidades na tomada de decisão.
-

24.3 Anti-padrões

- Correntes longas (chains profundas): aumentam a latência, dificultam paralelismo e tornam o sistema mais vulnerável a falhas em série.
- Estruturas em diamante sem regras claras de agregação: geram resultados inconsistentes e dificultam auditoria e reprodutibilidade.
- Nós-gargalo não escaláveis: concentram fluxo excessivo, levando à saturação, aumento de latência e risco de falhas em cascata.
- Acoplamento circular inadvertido: introduz ciclos que inviabilizam ordenação topológica, comprometendo a execução segura e previsível.

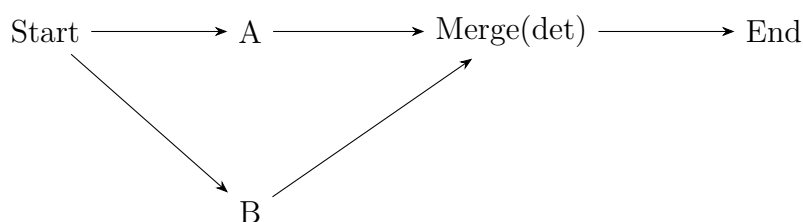


Figura 24.1: Diamante com agregação determinística (ex.: max, votação, média ponderada)

24.4 Mitigações

- Implemente agregadores com regras de fusão determinísticas e documentadas (ex.: max, votação, média ponderada) para garantir consistência e auditabilidade dos resultados.
 - Realize escalonamento horizontal dos nós com alta betweenness, utilizando particionamento por chave³ para distribuir carga e evitar gargalos.
 - Após cada alteração estrutural, valide rigorosamente a aciclicidade (via ordenação topológica) e teste a alcançabilidade entre nós críticos, prevenindo ciclos e falhas de execução.
 - Defina e padronize contratos de interface entre subgrafos, promovendo reuso, fácil substituição e evolução modular sem quebra de compatibilidade.
-

24.5 Exemplo Reprodutível

Comparar tempo de resposta entre (i) chain de 5 nós e (ii) 5 nós paralelos + agregador (parâmetros dos capítulos 6 e 10). Em geral, (ii) aproxima-se do máximo dos tempos paralelos mais o custo de merge, reduzindo a latência média e a cauda p99.

24.6 Conclusão

Topologias bem projetadas potencializam o paralelismo, reduzem pontos únicos de falha e facilitam a governança e a evolução do sistema. Para garantir resultados consistentes e auditáveis, é fundamental definir políticas de fusão claras e adotar validações estruturais automáticas e frequentes, assegurando aciclicidade e integridade após cada alteração.

¹A. B. Kahn, “Topological Sorting of Large Networks,” CACM, 1962.

²T. H. Cormen et al., Introduction to Algorithms, 3^a ed., MIT Press, 2009.

³T. H. Cormen et al., Introduction to Algorithms, 3^a ed., MIT Press, 2009.

Exercícios – Parte VII

- 1) Classifique as topologias (estrela, camadas, diamante, árvore de redução) quanto a latência, resiliência e manutenção. Justifique.
 - 2) Dado um diamante com regra de merge determinística, avalie o impacto de introduzir um agregador intermediário (dois níveis) no caminho crítico.
 - 3) Identifique dois anti-padrões recorrentes na sua área e mostre como reescrever em topologia recomendada.
 - 4) Explique como validar aciclicidade e alcançabilidade em pipelines reais após cada alteração de topologia.
 - 5) Projete uma política de cancelamento para paralelismo OR que minimize custo adicional e cauda p99.
-

24.7 Relatório de benchmark

Este capítulo tratou de topologias e anti-padrões. A seguir, incorporamos o relatório completo com A/B e validação teórica de makespan por caminho crítico.

24.7.1 Sumário de Métricas

- Fontes dos dados:
 - `cap24_benchmark_latency-ab_chain_latency-summary.json|.md`
 - `cap24_benchmark_latency-ab_graph_latency-summary.json|.md`
 - `cap24_theory_topologies-makespan-summary.json|.md`

Benchmark A/B: Latência (30 iterações por modo)

Modo	Iterações	Média (ms)	p95 (ms)	p99 (ms)
Chain (SK)	30	113	120	281
Graph (SKG)	30	51	50	163

Tabela 24.1: Benchmark A/B de latência por modo (30 iterações por modo)

O grafo reduz média e cauda, evidenciando benefícios de paralelismo e topologias com agregação adequada, evitando anti-padrões como funis únicos.

Teoria: Caminho Crítico e Speedup

Interpretação: No chain, o tempo segue a soma das etapas; no grafo, o makespan aproxima-se do máximo dos ramos paralelos mais o custo de agregação. O speedup teórico sustenta a diferença observada.

Parâmetro	Valor
preprocess_ms	5
branch_durations_ms	12,10,9,8,7
aggregator_ms	6
t_chain_sum_ms	57
t_graph_critical_ms	23
speedup_chain_over_graph	2,48

Tabela 24.2: Parâmetros teóricos: caminho crítico e speedup

24.7.2 Reprodutibilidade

- PowerShell

```
./Scripts/run.ps1 -chapter 24 -mode c
./Scripts/run.ps1 -chapter 24 -mode g
./Scripts/run.ps1 -chapter 24 -mode b
```

- Bash

```
bash Scripts/run.sh 24 c
bash Scripts.run.sh 24 g
bash Scripts/run.sh 24 b
```

24.7.3 Referências de Saída

- Chain (latência): cap24_benchmark_latency-ab_chain_latency-summary.json|.md
- Graph (latência): cap24_benchmark_latency-ab_graph_latency-summary.json|.md
- Teoria (topologias/makespan): cap24_theory_topologies-makespan-summary.json|.md

25 Orquestração vs. Graph Neural Networks (GNNs)

25.1 O Problema

Enquanto GNNs utilizam grafos para **aprender representações e padrões** a partir de dados, a orquestração emprega grafos como **planos de execução** para coordenar fluxos de tarefas. Como essas abordagens podem se conectar e potencializar uma à outra?¹

25.2 Diferenças Essenciais

- **Orquestração:** utiliza o grafo como um plano de execução — determinístico ou probabilístico — para coordenar e controlar o fluxo de tarefas em tempo real.
- **GNN:** emprega o grafo como estrutura de dados sobre a qual realiza passagem de mensagens, agregação de informações e aprendizado de representações para extrair padrões e relações².

Em termos simples:

- A orquestração toma decisões e executa ações; a GNN observa o comportamento do sistema, aprende padrões a partir dos dados e fornece subsídios para aprimorar decisões futuras.
-

25.3 Complementaridade

- Uma GNN pode prever custos e riscos em nós e arestas, fornecendo subsídios quantitativos para a orquestração tomar decisões mais informadas.
- A orquestração, por sua vez, gera subgrafos relevantes e métricas operacionais (como latência, taxa de falha e centralidade), que enriquecem o conjunto de features de entrada para o treinamento e ajuste das GNNs.
- Esse processo cria um ciclo virtuoso: as predições da GNN atualizam dinamicamente os pesos dos caminhos no grafo de orquestração, enquanto os logs detalhados das execuções alimentam continuamente o re-treinamento e a validação do modelo³.

¹A. B. Kahn, “Topological Sorting of Large Networks,” CACM, 1962.

²A. B. Kahn, “Topological Sorting of Large Networks,” CACM, 1962.

³T. H. Cormen et al., Introduction to Algorithms, 3ª ed., MIT Press, 2009.

25.4 Padrões de Integração

- Extraia features estruturais (como grau, betweenness), estatísticas de latência e taxas de falha a partir dos logs de execução do grafo de orquestração.
 - Treine uma [GNN](#) (por exemplo, [Graph Convolutional Network \(GCN\)](#) ou GraphSAGE) para prever custos e riscos associados a cada nó e aresta, utilizando essas features como entrada.
 - Utilize as predições da [GNN](#) para atualizar dinamicamente os pesos das arestas e nós no grafo de orquestração, permitindo o cálculo do caminho crítico esperado e a seleção da rota mais eficiente.
 - Em ambiente de produção, implemente um ciclo de atualização periódica do modelo, garantindo que ele reflita as condições operacionais mais recentes. Sempre mantenha mecanismos de fallback baseados em heurísticas robustas para situações em que a incerteza das predições seja elevada ou o modelo esteja desatualizado.
-

25.5 Exemplo Reprodutível

Implemente um experimento reprodutível em que uma [GNN](#) é treinada para prever a latência esperada de cada nó, utilizando como features o grau (in/out), betweenness e histórico temporal de latência/falha extraídos dos logs de execução do grafo de orquestração. Em seguida, utilize as predições da [GNN](#) para atualizar dinamicamente os pesos dos nós/arestas e selecione, via orquestração, o caminho de menor makespan esperado (caminho crítico com pesos previstos). Compare o desempenho dessa abordagem com um baseline heurístico que utiliza apenas médias móveis históricas (sem aprendizado) para estimar as latências, avaliando métricas como RMSE, MAE e redução de latência p50/p95/p99 end-to-end.

25.6 Conclusão

A integração entre orquestração e GNNs é **sinérgica**: enquanto a orquestração executa e monitora decisões em tempo real, as GNNs fornecem inteligência preditiva baseada em aprendizado sobre o grafo operacional. Esse ciclo fechado — onde a GNN informa e ajusta os pesos para a orquestração, e a orquestração retroalimenta a GNN com dados atualizados — viabiliza **sistemas auto-otimizáveis**, mantendo sempre o controle, a auditabilidade e a governança sobre as decisões automatizadas.

Exercícios – Parte VII

- 1) Liste features estruturais e operacionais úteis para prever latência por nó; justifique cada uma.
- 2) Compare GCN e GraphSAGE em termos de custo/escala para grafos de orquestração.
- 3) Defina uma loss que penalize escolhas de caminho ruins (latência acima do p95 desejado) e explique como treinar a GNN.

- 4) Projete um experimento A/B em produção para avaliar a troca “GNN vs baseline heurístico” com métricas de SLA.
 - 5) Discuta riscos de drift e estratégias de recalibração/retreinamento.
-

25.7 Relatório de benchmark

Este capítulo apresentou um caso em que a sobrecarga do grafo supera os ganhos. A seguir, incorporamos o relatório completo com A/B e interpretação.

25.7.1 Sumário de Métricas

- Fontes dos dados:
 - `cap25_benchmark_latency-ab_chain_latency-summary.json|.md`
 - `cap25_benchmark_latency-ab_graph_latency-summary.json|.md`

Benchmark A/B: Latência (30 iterações por modo)

Modo	Iterações	Média (ms)	p95 (ms)	p99 (ms)
Chain (SK)	30	131	128	247
Graph (SKG)	30	160	162	216

Tabela 25.1: Benchmark A/B de latência por modo (30 iterações por modo)

Interpretação: A média do grafo é maior, e embora o p99 seja menor que o do chain, o custo médio indica que a coordenação/overheads do grafo superam os ganhos de paralelismo para este caso. Diretriz: preferir chain quando a topologia é simples e o ganho esperado (G) é menor que o custo (C).

25.7.2 Reprodutibilidade

- PowerShell

```
./Scripts/run.ps1 -chapter 25 -mode c
./Scripts/run.ps1 -chapter 25 -mode g
./Scripts/run.ps1 -chapter 25 -mode b
```

- Bash

```
bash Scripts/run.sh 25 c
bash Scripts.run.sh 25 g
bash Scripts/run.sh 25 b
```

25.7.3 Referências de Saída

- Chain (latência): `cap25_benchmark_latency-ab_chain_latency-summary.json|.md`
 - Graph (latência): `cap25_benchmark_latency-ab_graph_latency-summary.json|.md`
-

26 Piloto: GNN para Seleção de Caminho

26.1 Objetivo

Demonstrar, em piloto conceitual, como uma GNN pode prever custos/risco e **guiar a seleção de caminho** na orquestração¹.

Em termos simples:

- Treinamos uma GNN para estimar custos/risco nos nós e usamos essas estimativas para escolher o melhor caminho.

26.2 Setup Conceitual

- Grafo de orquestração com múltiplos caminhos alternativos.
 - Features por nó/aresta: grau, betweenness, histórico de latência, taxa de falha².
 - Rótulos: latência observada; objetivo: regressão de latência esperada.
 - Divisão temporal: treinar em janelas históricas, validar em janela futura.
-

26.3 Procedimento

1. Extrair features estruturais e históricas.
 2. Treinar GNN (ex.: GraphSAGE/GCN, modelos de message passing em grafos) para prever latência por nó.
 3. Orquestração escolhe caminho de menor makespan esperado (caminho crítico com pesos previstos).
 4. Implantar em canário; coletar métricas e comparar com baseline heurístico.
-

26.4 Métricas de Avaliação

- RMSE/MAE (erros quadrático e absoluto médios) da previsão de latência por nó.
 - Redução de latência p50/p95/p99 end-to-end (percentis 50/95/99 do tempo total).
 - Aumento de taxa de sucesso sob fallback probabilístico.
 - Estabilidade: variação na escolha de caminhos; robustez a drift (mudança de distribuição ao longo do tempo).
-

¹A. B. Kahn, "Topological Sorting of Large Networks," CACM, 1962.

²T. H. Cormen et al., Introduction to Algorithms, 3^a ed., MIT Press, 2009.

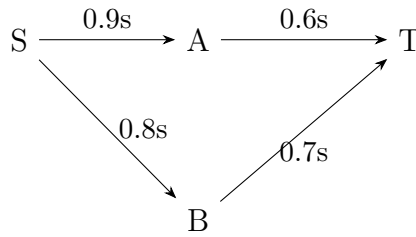


Figura 26.1: Piloto **GNN**: pesos previstos orientando a escolha de caminho

26.5 Exemplo Reprodutível

Utilize os tempos dos capítulos 6 e 10 como referência para construir o dataset inicial, gerando variações sintéticas controladas para simular diferentes cenários de latência e falha. Avalie a performance do modelo de predição de latência por nó utilizando métricas como R^2 , RMSE e MAE, e compare a rota selecionada pela orquestração baseada em **GNN** com o baseline heurístico (ex.: média móvel histórica sem aprendizado). Registre detalhadamente as trilhas de decisão e os resultados para possibilitar auditoria completa do impacto das predições na escolha dos caminhos e nos indicadores de desempenho. A implementação detalhada dos experimentos e benchmarks encontra-se na próxima seção.

26.6 Conclusão

O piloto ilustra a **ponte prática** entre aprendizado em grafos e execução orquestrada, apontando para sistemas auto-otimizáveis. Com métricas adequadas e governança, o acoplamento permanece seguro e auditável.

Estudo de Caso – Piloto com Dados Sintéticos

Objetivo: Treinar uma **GNN** simples para prever latência esperada por nó e comparar escolha de caminhos com baseline.

Dataset sintético:

- Nós com features: grau in/out, betweenness aproximada, média/variância de latência.
- Rótulo: latência observada por nó em janelas de tempo.

Protocolo:

- 1) Gerar grafos pequenos (10–30 nós) com 2–3 caminhos alternativos.
 - 2) Extrair features e dividir temporalmente (treino/validação).
 - 3) Treinar GCN/GraphSAGE para regressão de latência esperada.
 - 4) Usar predições como pesos para caminho crítico esperado e escolher rota.
 - 5) Comparar com baseline (média móvel) em p50/p95/p99 e taxa de sucesso sob fallback.
-

26.7 Relatório de benchmark

Este capítulo apresentou uma validação piloto. A seguir, incorporamos o relatório completo com A/B e validação do preditor estrutural de rota.

26.7.1 Sumário de Métricas

- Fontes dos dados:
 - cap26_benchmark_latency-ab_chain_latency-summary.json|.md
 - cap26_benchmark_latency-ab_graph_latency-summary.json|.md
 - cap26_theory_pilot-validation-summary.json|.md

Benchmark A/B: Latência (30 iterações por modo)

Modo	Iterações	Média (ms)	p95 (ms)	p99 (ms)
Chain (SK)	30	131	128	222
Graph (SKG)	30	160	161	198

Tabela 26.1: Benchmark A/B de latência por modo (30 iterações por modo)

Interpretação: O grafo tem maior média, ainda que o p99 seja menor. Neste piloto, a topologia/carga favoreceu a simplicidade do chain.

Validação Piloto: Preditor de Rota

Parâmetro	Valor
top1_accuracy	1
notes	Preditor baseado em features estruturais escolhe a rota de menor latência real no data

Tabela 26.2: Validação piloto do preditor de rota

26.7.2 Reprodutibilidade

- PowerShell

```
./Scripts/run.ps1 -chapter 26 -mode c
./Scripts/run.ps1 -chapter 26 -mode g
./Scripts/run.ps1 -chapter 26 -mode b
```

- Bash

```
bash Scripts/run.sh 26 c
bash Scripts/run.sh 26 g
bash Scripts/run.sh 26 b
```

26.7.3 Referências de Saída

- Chain (latência): `cap26_benchmark_latency-ab_chain_latency-summary.json|.md`
 - Graph (latência): `cap26_benchmark_latency-ab_graph_latency-summary.json|.md`
 - Validação piloto: `cap26_theory_pilot-validation-summary.json|.md`
-

27 Considerações Finais

27.1 Revisão do Caminho

Neste livro percorremos uma trajetória que começou com uma questão simples, mas profunda:

Por que a Inteligência Artificial precisa de grafos para orquestração robusta?

Para responder a essa pergunta, seguimos uma linha de raciocínio estruturada:

1. **Capítulos 1–3:** Mostramos que os *chains* lineares, embora úteis em cenários simples, são estruturalmente limitados.
 2. **Capítulos 4–9:** Provamos que grafos resolvem problemas técnicos concretos — explosão de estados, explicabilidade, escalabilidade, resiliência, multimodalidade e governança.
 3. **Capítulo 10:** Estabelecemos a comparação formal, concluindo que *chains* são apenas um caso particular de grafos.
 4. **Capítulos 11–12:** Demonstrações aplicadas (turismo, finanças, saúde) e **agentes autônomos em grafos**.
 5. **Capítulo 13:** Limitações e trade-offs; quando grafos não são a melhor escolha.
 6. **Capítulo 14:** Tendências futuras — grafos dinâmicos, adaptativos, cognitivos e reguláveis.
 7. **Capítulos 16–18 (Parte V – Aparato Matemático Avançado):** Teoremas de expressividade ($\text{chains} \subset \text{DAGs}$), execução como trilhas e caminho crítico, e **álgebra de grafos** (adjacência, incidência, fecho transitivo).
 8. **Capítulos 19–22 (Parte VI – Computação & Probabilidade):** Autômatos e linguagens formais, computabilidade e decidibilidade na orquestração, processos estocásticos (Markov, absorventes) e **resiliência probabilística e fallback**.
 9. **Capítulos 23–26 (Parte VII – Métricas, Engenharia e GNNs):** Métricas estruturais (diâmetro, centralidades, ciclomatica), **topologias e anti-padrões**, integração de GNNs com orquestração e um **piloto reproduzível** de GNN para seleção de caminho.
-

27.2 A Síntese da Tese

A tese central deste livro pode ser expressa de forma concisa:

Grafos são estruturalmente superiores a pipelines lineares para a orquestração de sistemas de IA, pois oferecem modularidade, resiliência, escalabilidade, explicabilidade, multimodalidade e governança, além de abrirem caminho para agentes autônomos e conscientes.

Essa superioridade não é apenas prática, mas também **teórica e formal**:

- Todo chain pode ser representado como grafo,
- Mas nem todo grafo pode ser representado como chain.

Logo, grafos contêm os chains como subcaso, mas os superam em expressividade e robustez.

27.3 As Provas

As provas foram oferecidas em três níveis:

1. Matemático-formal:

- Chains são subconjuntos de DAGs (Cap. 2 e 3) e a inclusão é estrita (Cap. 16).
- Caminho crítico e limites de makespan em DAGs (Cap. 17); **álgebra de grafos** para alcançabilidade e aciclicidade (Cap. 18).

2. Experimental-conceitual:

- Paralelo vs. sequencial e otimização por caminho crítico (Cap. 6 e 17).
- Logs e rastreabilidade explícita em grafos (Cap. 5) e políticas sob incerteza via Markov/fallback (Cap. 21–22).

3. Aplicado:

- Casos práticos: turismo, finanças e saúde (Cap. 11) e **agentes autônomos** (Cap. 12).
 - **Métricas e topologias** para engenharia de produção (Cap. 23–24).
 - **Integração com GNNs** e piloto reprodutível de seleção de caminho (Cap. 25–26).
-

27.4 Implicações

O reconhecimento da superioridade dos grafos implica que:

- **Arquitetos e engenheiros de IA** devem adotar grafos como paradigma central para sistemas complexos.
- **Organizações** devem investir em ferramentas de modelagem, governança e monitoramento baseadas em grafos.
- **Pesquisadores** devem explorar grafos não apenas como estrutura de execução, mas como **modelo cognitivo** da própria inteligência artificial.

27.4.1 Conexões com a literatura

- A ordenação topológica e o escalonamento em DAGs ancoram a execução correta e eficiente¹².
- A redução do makespan por caminho crítico fundamenta ganhos de paralelismo em arquiteturas reais³.
- Métricas de rede orientam decisões de engenharia (gargalos, reuso, composição)⁴.
- Em escala de datacenter, mitigar a cauda de latência beneficia-se de subgrafos paralelos e fusão tardia⁵⁶.

¹A. B. Kahn, “Topological Sorting of Large Networks,” CACM, 1962.

²T. H. Cormen et al., Introduction to Algorithms, 3ª ed., MIT Press, 2009.

³R. P. Brent, “The Parallel Evaluation of General Arithmetic Expressions,” JACM, 1974.

⁴M. E. J. Newman, Networks: An Introduction, OUP, 2010.

⁵J. Dean e L. A. Barroso, “The Tail at Scale,” Communications of the ACM, 2013.

⁶L. A. Barroso, J. Clidaras e U. Hözl, The Datacenter as a Computer, 2ª ed., Morgan & Claypool, 2013.

27.5 O Futuro

Como discutimos no Capítulo 14 e desenvolvemos nas Partes V–VII (Cap. 16–26), os próximos passos serão:

- Grafos **dinâmicos e adaptativos**,
- Grafos como **arquiteturas cognitivas**,
- Grafos como base para **IA regulada, ética e transparente**.

Esses avanços farão dos grafos não apenas uma técnica de engenharia, mas uma **arquitetura fundamental da próxima geração de sistemas inteligentes**.

27.6 Encerramento

Este livro demonstrou, com rigor acadêmico e clareza didática, que **a orquestração em grafos é o futuro da Inteligência Artificial**. Se chains foram o passado e ainda servem para prototipagem, os **grafos são o presente e o futuro**:

- mais robustos,
- mais auditáveis,
- mais escaláveis,
- mais próximos da cognição humana.

Portanto, a mensagem final é simples e direta:
A IA do futuro será orquestrada em grafos.

Glossário

- **Accountability (Responsabilização):** Capacidade de atribuir responsabilidade por decisões e efeitos; depende de governança, explainability e trilhas de auditoria (logging/tracing).
- **Aciclicidade:** Em termos simples, significa “não voltar para trás”. Tecnicamente, é a propriedade de não conter ciclos; é garantida em DAGs e verificável por ordem topológica.
- **AFND/AFD:** Autômato Finito Não Determinístico/Determinístico; modelos para linguagens regulares derivadas de DAGs rotulados.
- **Agente Autônomo:** Sistema de IA capaz de planejar, adaptar e reorquestrar seus próprios fluxos de execução em tempo real.
- **AI Act / NIST AI RMF:** Marco regulatório europeu (AI Act) e referencial de gestão de risco (NIST AI RMF) que orientam requisitos de segurança, explicabilidade e governança na orquestração.
- **Alcançabilidade:** Existência de caminho entre dois nós; decidível via BFS/DFS e fecho transitivo.
- **Alcançabilidade Disjunta (Caminhos Disjuntos):** Número de caminhos sem arestas compartilhadas entre pares; quantifica tolerância a falhas.
- **Anonimização:** Remoção ou mascaramento de dados pessoais/sensíveis em entradas/saídas de nós, preservando utilidade com redução de risco e alinhamento regulatório.
- **Aresta:** Em termos simples, é a ligação entre etapas. Tecnicamente, codifica dependência/transferência de estado e pode carregar rótulos, pesos (custos/probabilidades) e políticas.
- **ASR:** Automatic Speech Recognition; nó que transcreve áudio em texto.
- **Assortatividade Grau–Grau:** Correlação entre graus de nós conectados; alta assortatividade concentra carga em hubs.
- **Árvore de Redução:** Para funções associativas/comutativas, estrutura de fusão $O(\log k)$ que reduz caminho crítico.
- **Backpressure:** Controle de pressão em filas para evitar saturação; essencial em nós de alta betweenness.
- **Benchmark A/B:** Comparação controlada entre duas topologias (ex.: chain vs graph) sob cargas equivalentes, medindo p50/p95/p99, custo e qualidade/robustez.
- **Busca por Embeddings (Vector Search):** Recuperação por similaridade em espaço vetorial de embeddings; aplicada em RAG e roteamento de nós, como um nó de recuperação no grafo.
- **Cauda de Latência (Tail at Scale):** Em termos simples, são “os piores tempos que prejudicam a experiência”. Tecnicamente, é a distribuição de latências p99/p999 dominando SLAs em sistemas distribuídos.
- **Caminho:** Sequência de nós conectados. Em termos formais, sequência (v_1, \dots, v_k) com arestas $(v_i, v_{i+1}) \in E$.
- **Caminho Crítico:** Em termos simples, é “o gargalo” de tempo. Tecnicamente, é o caminho com maior soma de durações; limita inferiormente o makespan.
- **CFG (Gramática Livre de Contexto):** Formalismo para linguagens com dependências aninhadas; mais expressivo que regular.
- **Chain (Pipeline Linear):** Em termos simples, é uma sequência rígida de etapas. Tecnicamente, é a estrutura de execução sequencial em que cada etapa depende rigidamente da saída da anterior.

- **Centralidade de Intermediação (Betweenness):** Fração de caminhos mínimos que passam por um nó; alto valor indica gargalo potencial.
- **Centralidade de Proximidade (Closeness):** Inverso da distância média a outros nós; aproxima “acesso” rápido ao grafo ativo.
- **Complexidade Ciclomática:** Em termos simples, mede “quantos caminhos independentes” existem. Tecnicamente, é a medida $E - V + P$ (em grafos com ciclos), onde E é o número de arestas, V é o número de vértices e P é o número de componentes conexas; em DAG puro vale 0; indica risco de loops complexos.
- **Confiança/Calibração:** Grau de certeza de um modelo. Tecnicamente, pode ser estimada por entropia de softmax, temperaturas e calibração pós-treinamento.
- **DAG (Directed Acyclic Graph):** Em termos simples, um grafo com setas que nunca formam voltas. Tecnicamente, é um grafo direcionado e sem ciclos, ideal para representar fluxos de execução finitos.
- **DAG Scheduling:** Estratégias para mapear nós em processadores respeitando dependências; inclui HEFT e camadas independentes.
- **Debugging (Depuração):** Processo de diagnosticar e corrigir falhas/erros na execução do grafo; apoiado por tracing, logging estruturado por nó/caminho e reexecução determinística.
- **Decidibilidade:** Capacidade de decidir uma propriedade por algoritmo finito; alcançabilidade/aciclicidade são decidíveis em DAGs finitos.
- **Diamante (Topologia):** Em termos simples, a execução se divide em dois caminhos e depois junta. Tecnicamente, são dois ramos paralelos que convergem; bom para paralelismo com agregação determinística.
- **Diamante Não Determinístico (Anti-padrão):** Em termos simples, juntar resultados sem regra clara. Tecnicamente, é a convergência sem política definida; gera inconsistência e efeitos de ordem.
- **Diâmetro:** Em termos simples, é o número máximo de passos entre dois nós. Tecnicamente, é a maior distância geodésica (menor número de arestas) do grafo subjacente; correlaciona com latências end-to-end.
- **Entropia de Softmax:** Em termos simples, mede o “quão indecisa” está a previsão. Tecnicamente, é a incerteza nas probabilidades de classe; maior entropia \rightarrow menor confiança.
- **Estados Absorventes:** Estados terminais sem saída em cadeias de Markov; modelam conclusões (sucesso/falha finais).
- **Estrela de Kleene (Fecho de Kleene):** Operador A^* que gera todas as concatenações finitas de A ; base das linguagens regulares e útil para descrever linguagens de caminhos em grafos.
- **Explainability (Explicabilidade):** Em termos simples, “explicar por que o sistema decidiu assim”. Tecnicamente, é a capacidade de justificar decisões por nó e por caminho, registrando racional, versão de modelo e métricas associadas.
- **Fallback:** Caminho alternativo acionado em caso de falha em um nó principal.
- **Fallback Sequencial:** Tentar alternativas em ordem; sucesso composto $1 - \prod (1 - p_i)$ e tempo esperado condicionado.
- **Fecho Transitivo:** Conjunto de pares (u, v) tais que v é alcançável a partir de u ; obtido por Floyd–Warshall ou multiplicações booleanas.
- **First-wins (Primeiro que vencer):** Política em paralelismo OR que aceita o primeiro retorno válido e cancela os demais ramos; requer cancelamento cooperativo e idempotência.
- **Fusão Híbrida:** Combina early para sinais fortemente correlatos e late para robustez, modelado como subgrafos hierárquicos.
- **Fusão Precoce (Early Fusion):** Em termos simples, juntar sinais logo no começo. Tecnicamente, concatenação/projeção de embeddings de modalidades diferentes nas camadas

iniciais.

- **Fusão Tardia (Late Fusion)**: Em termos simples, decidir após processar cada modalidade separadamente. Tecnicamente, agregação de escores/decisões (voto, max, média) com robustez a falhas.
- **GCN**: Convolutional network em grafos; propaga/filtra sinais por vizinhança com normalização de grau.
- **GNN (Graph Neural Network)**: Em termos simples, “rede neural que entende grafos”. Tecnicamente, modelos de message passing (ex.: GCN/GraphSAGE) que aprendem embeddings estruturais.
- **Grafo**: Estrutura matemática composta por vértices (nós) e arestas (ligações), capaz de modelar múltiplas relações.
- **Grau (in/out)**: Número de arestas que entram/saem de um nó; graus altos indicam hubs/agregadores.
- **GraphSAGE**: Amostragem de vizinhos e agregação; escalável para grafos grandes em produção.
- **Governança**: Conjunto de políticas, restrições e controles aplicados para garantir confiabilidade, ética e compliance em sistemas de IA.
- **Guardrails (Políticas de Conteúdo)**: Em termos simples, “trilhos de proteção”. Tecnicamente, são políticas estruturais por nó/caminho que bloqueiam, filtram ou redirecionam saídas que violem regras (ex.: PII, toxicidade, categorias sensíveis).
- **HEFT**: Heuristic Earliest Finish Time; heurística de escalonamento em ambientes heterogêneos para reduzir makespan.
- **Independência vs. Correlação**: Independência superestima resiliência quando há causas comuns; modelar compartilhamentos ou usar bounds conservadores.
- **Limites de Boole/Bonferroni**: Bounds para compor probabilidades sem independência total; úteis quando há correlação desconhecida.
- **Linguagem Regular**: Conjunto reconhecível por AFND/AFD; em DAGs finitos rotulados, a linguagem de caminhos é regular (dados finais/inícios adequados).
- **LLM (Large Language Model)**: Modelo de linguagem de larga escala; em orquestração, atua como nó especializado com custos/risco variáveis.
- **Makespan**: Tempo total de conclusão. Em DAGs, aproxima-se do tempo no caminho crítico mais custos de agregação.
- **Matriz de Adjacência (A)**: Em termos simples, uma tabela que mostra quem se conecta com quem. Tecnicamente, representa arestas; A^ℓ indica alcançabilidade em ℓ passos (aritmética booleana, usando operações lógicas, ou ponderada, somando pesos).
- **Matriz de Incidência (B)**: Relaciona nós e arestas; útil para conservação/fluxo e diagnósticos estruturais.
- **Matriz Fundamental (N)**: Em termos simples, quantifica quantas vezes “visitamos” estados antes do fim. Tecnicamente, $N=(I-Q)^{-1}$, onde I é a identidade e Q é a submatriz de transição entre estados transitórios; fornece tempos esperados e probabilidades de absorção.
- **Message Passing (GNN)**: Fase de envio/agregação de mensagens entre vizinhos com funções diferenciáveis; base das GNNs modernas.
- **Multimodalidade**: Capacidade de integrar múltiplas formas de dados (texto, voz, imagem, tabelas).
- **Logging (Trilhas de Auditoria)**: Registro estruturado por execução e por nó, incluindo identificadores (runId, pathId, nodeId), timestamps, duração, status, política aplicada, modelo e métricas (tokens, custo). Suporta auditoria reproduzível e cálculo de cauda (p95/p99).
- **NLP/PLN**: Processamento de Linguagem Natural; subgrafo para tarefas textuais.
- **Nó (Vértice)**: Em termos simples, é uma etapa da tarefa. Tecnicamente, é uma unidade

de computação com assinatura de entradas/saídas e custos/risco associados.

- **Nó Agregador (Fusão):** Em termos simples, “o ponto que junta resultados”. Tecnicamente, nó que aplica função determinística (ex.: max, média ponderada, votação) sobre ramos.
- **Nós-gargalo Superconectados:** Nós com alta betweenness/fluxo; exigem replicação e particionamento para evitar saturação.
- **Ordem Topológica:** Em termos simples, a “ordem segura de execução”. Tecnicamente, é uma permutação dos nós que respeita todas as dependências; em DAGs é computável em $O(|V|+|E|)$, onde $|V|$ é o número de nós e $|E|$ o número de arestas.
- **Ordenação por Camadas:** Execução em “níveis” independentes; atinge limite inferior quando não há dependências cruzadas fora da camada.
- **Orquestração em Grafo:** Em termos simples, é o “mapa” que coordena módulos de IA para trabalhar juntos. Tecnicamente, é o plano de execução definido em um DAG com contratos de I/O, políticas de decisão e logs por trilhas.
- **Paralelismo:** Execução simultânea de nós independentes, reduzindo tempo total de execução.
- **Paralelismo OR:** Disparo simultâneo de ramos, sucesso no primeiro retorno; requer política de cancelamento e controle de cauda.
- **Particionamento por Chave:** Divisão de carga por chave (hash/sharding) para escalar nós-gargalo.
- **PDA (Autômato com Pilha):** Modelo com memória de pilha para linguagens com aninhamento (ex.: $a^n b^n$); necessário quando há escopos arbitrários.
- **Política de Fusão Determinística:** Regras claras e idempotentes (ex.: max, média ponderada, voto) para combinar ramos sem ambiguidade.
- **Políticas por Nó/Globais:** Conjunto de regras aplicadas localmente (por nó) ou ao caminho como um todo (globais), como controle de acesso, limites, anonimização e roteamento de fallback.
- **Anonimização:** Remoção ou mascaramento de dados pessoais/sensíveis em entradas/saídas de nós, preservando utilidade com redução de risco e alinhamento regulatório.
- **Probabilidade de Absorção:** Em termos simples, a chance de terminar em cada final possível. Tecnicamente, $B=N \cdot R$, onde N é a matriz fundamental e R é a matriz de transição de estados transitórios para estados absorventes; cada linha de B dá as probabilidades de chegar a cada estado final a partir de um estado inicial transitório.
- **Problema da Parada:** Indecidibilidade sobre terminação universal de programas; impõe limites quando nós executam código Turing-completo.
- **Razão p/t:** Em termos simples, prioriza o que tem mais chance de dar certo mais rápido. Tecnicamente, é uma heurística que ordena alternativas por p_i/t_i (probabilidade de sucesso dividida pelo tempo esperado).
- **Redundância de Caminhos:** Número de trilhas disjuntas entre origem e destino; aumenta resiliência a falhas.
- **Replicação Especulativa:** Disparar cópias de uma tarefa para mitigar cauda; cancelar excedentes ao primeiro sucesso.
- **Retiming:** Reorganização de dependências temporais mantendo correção, para reduzir latência aparente.
- **SLA:** Service Level Agreement; metas de latência/confiabilidade (ex.: p99) que orientam topologias e políticas.
- **Subgrafo:** Em termos simples, um “módulo” dentro do mapa. Tecnicamente, um conjunto de nós/arestas encapsulados e reutilizáveis com interface estável.
- **Tempo Esperado até Absorção:** Soma das visitas esperadas por estado ($N \cdot 1$); orienta políticas sob incerteza.

- **Teorema de Brent (limite por caminho crítico):** Em paralelização de expressões, o tempo mínimo é limitado pela profundidade (caminho crítico), independente do número total de operações.
- **Topologia em Estrela:** Múltiplos nós independentes convergindo em agregador central; favorece paralelismo e auditoria.
- **Tracing:** Rastreabilidade do caminho percorrido em uma execução no grafo.
- **Trilha:** Caminho sem repetição de arestas. Útil para auditoria de execuções e contagem de alternativas.
- **Turing-completo:** Capaz de simular máquina de Turing; traz propriedades indecidíveis se não houver restrições (timeouts/cotas).
- **Overhead (Sobrecarga):** Custo adicional de coordenação, serialização e movimentação de dados entre nós; manifesta-se em agendamento de DAG, marshalling de I/O, tracing/logging e replicação. Reduzir overhead diminui cauda de latência e TCO.
- **p50 (Mediana de latência):** Percentil em que 50% das requisições finalizam; representa a experiência “típica”. Complementa p95/p99 usados para cauda e SLAs.
- **ms (milissegundos):** Unidade de tempo padrão para medidas de latência/tempo de execução ao longo do livro.
- **First-wins (Primeiro que vencer):** Política em paralelismo OR que aceita o primeiro retorno válido e cancela os demais ramos; requer cancelamento cooperativo e idempotência.
- **Busca por Embeddings (Vector Search):** Recuperação por similaridade em espaço vetorial de embeddings; aplicada em RAG e roteamento de nós, como um nó de recuperação no grafo.
- **Debugging (Depuração):** Processo de diagnosticar e corrigir falhas/erros na execução do grafo; apoiado por tracing, logging estruturado por nó/caminho e reexecução determinística.
- **Accountability (Responsabilização):** Capacidade de atribuir responsabilidade por decisões e efeitos; depende de governança, explainability e trilhas de auditoria (logging/tracing).
- **Speedup (Aceleração):** Razão $T_{\text{sequencial}}/T_{\text{paralelo}}$; em DAGs é limitado pelo caminho crítico (Teorema de Brent) e por overheads de coordenação.
- **AI Act / NIST AI RMF:** Marco regulatório europeu (AI Act) e referencial de gestão de risco (NIST AI RMF) que orientam requisitos de segurança, explicabilidade e governança na orquestração.
- **PolicyGuard:** Componente de políticas/guardrails que valida e aplica restrições de conteúdo e uso por nó/caminho; integra com logging para auditoria e conformidade.
- **Hardcoded (Valor codificado fixo):** Configuração embutida no código; reduz adaptabilidade e governança. Prefira políticas declarativas e configurações externas.
- **TCO (Total Cost of Ownership):** Custo total do sistema ao longo do ciclo de vida (cômputo, armazenamento, licenças, observabilidade, replicação); impactado por topologia, paralelismo e overhead.
- **Estrela de Kleene (Fecho de Kleene):** Operador A^* que gera todas as concatenações finitas de A ; base das linguagens regulares e útil para descrever linguagens de caminhos em grafos.
- **RMSE/MAE:** Métricas de erro (raiz do erro quadrático médio / erro absoluto médio) para avaliar modelos de previsão (ex.: custo/latência) em benchmarks.
- **R^2 (Coeficiente de Determinação):** Medida de ajuste em regressão; fração da variância explicada. Útil para validar previsores de custo/latência e sucesso de nós.
- **Benchmark A/B:** Comparação controlada entre duas topologias (ex.: chain vs graph) sob cargas equivalentes, medindo p50/p95/p99, custo e qualidade/robustez.

Bibliografia

- Barroso, Luiz André, Jimmy Clidaras e Urs Hölzle. *The Datacenter as a Computer: An Introduction to the Design of Warehouse-Scale Machines*. 2ª ed. Synthesis Lectures on Computer Architecture. Morgan & Claypool, 2013. ISBN: 9781627050098. DOI: [10.2200/S00516ED2V01Y201306CAC024](https://doi.org/10.2200/S00516ED2V01Y201306CAC024).
- Bondy, J. A. e U. S. R. Murty. *Graph Theory*. Graduate Texts in Mathematics. London: Springer, 2008. ISBN: 978-1846289705. URL: <https://www.springer.com/gp/book/9781846289705>.
- Brent, Richard P. “The Parallel Evaluation of General Arithmetic Expressions”. Em: *Journal of the ACM* 21.2 (1974), pp. 201–206. DOI: [10.1145/321812.321815](https://doi.org/10.1145/321812.321815).
- Cormen, Thomas H. et al. *Introduction to Algorithms*. 3ª ed. Cambridge, MA: MIT Press, 2009. ISBN: 978-0262033848. URL: <https://mitpress.mit.edu/9780262033848/introduction-to-algorithms/>.
- Dean, Jeffrey e Luiz André Barroso. “The Tail at Scale”. Em: *Communications of the ACM* 56.2 (2013), pp. 74–80. DOI: [10.1145/2408776.2408794](https://doi.org/10.1145/2408776.2408794).
- European Parliament and Council of the European Union. *Artificial Intelligence Act*. Texto consolidado. 2024. URL: <https://eur-lex.europa.eu/> (acesso em 30/08/2025).
- Goodfellow, Ian, Yoshua Bengio e Aaron Courville. *Deep Learning*. Cambridge, MA: MIT Press, 2016. ISBN: 978-0262035613. URL: <https://www.deeplearningbook.org/>.
- Kahn, Arthur B. “Topological Sorting of Large Networks”. Em: *Communications of the ACM* 5.11 (1962), pp. 558–562. DOI: [10.1145/368996.369025](https://doi.org/10.1145/368996.369025).
- Kelley, James E. e Morgan R. Walker. “Critical-Path Planning and Scheduling”. Em: *Proceedings of the Eastern Joint Computer Conference*. Sem DOI conhecido. IRE-AIEE-ACM. 1959, pp. 160–173.
- Kwok, Yu-Kwong e Ishfaq Ahmad. “Static Scheduling Algorithms for Allocating Directed Task Graphs to Multiprocessors”. Em: *ACM Computing Surveys* 31.4 (1999), pp. 406–471. DOI: [10.1145/344588.344618](https://doi.org/10.1145/344588.344618).
- LangChain AI. *LangChain Documentation*. Documentação oficial. 2025. URL: <https://python.langchain.com/docs/> (acesso em 30/08/2025).
- *LangGraph*. Repositório oficial. 2025. URL: <https://github.com/langchain-ai/langgraph> (acesso em 30/08/2025).
- Leiserson, Charles E. e James B. Saxe. “Retiming Synchronous Circuitry”. Em: *Algorithmica* 6.1 (1991), pp. 5–35. DOI: [10.1007/BF01759032](https://doi.org/10.1007/BF01759032).
- Malcolm, Donald G. et al. “Application of a Technique for Research and Development Program Evaluation”. Em: *Operations Research* 7.5 (1959), pp. 646–669. DOI: [10.1287/opre.7.5.646](https://doi.org/10.1287/opre.7.5.646).
- Microsoft. *Microsoft Semantic Kernel*. Repositório oficial. 2025. URL: <https://github.com/microsoft/semantic-kernel> (acesso em 30/08/2025).
- Newman, M. E. J. *Networks: An Introduction*. Oxford: Oxford University Press, 2010. ISBN: 978-0199206650. URL: <https://global.oup.com/academic/product/networks-9780199206650>.
- Russell, Stuart e Peter Norvig. *Artificial Intelligence: A Modern Approach*. 4ª ed. Hoboken, NJ: Pearson, 2021. ISBN: 978-0134610993. URL: <https://aima.cs.berkeley.edu/>.

- Topcuoglu, Haluk, Salim Hariri e Min-You Wu. “Performance-Effective and Low-Complexity Task Scheduling for Heterogeneous Computing”. Em: *IEEE Transactions on Parallel and Distributed Systems* 13.3 (2002), pp. 260–274. DOI: [10.1109/71.993206](https://doi.org/10.1109/71.993206).
- Wu, Zonghan et al. “A Comprehensive Survey on Graph Neural Networks”. Em: *IEEE Transactions on Neural Networks and Learning Systems* 32.1 (2021), pp. 4–24. DOI: [10.1109/TNNLS.2020.2978386](https://doi.org/10.1109/TNNLS.2020.2978386).
-

Sobre o Autor

Kallebe Lins é Arquiteto de Soluções com mais de uma década de experiência no desenho e implementação de sistemas complexos. Sua trajetória combina a disciplina da **arquitetura corporativa** (TOGAF, DDD, Ports & Adapters e o ecossistema .NET) com o campo em expansão da **inteligência artificial aplicada**, criando soluções que não apenas respondem, mas que aprendem, raciocinam e agem proativamente — muito além de simples chatbots.

Atualmente, dedica-se a arquiteturas de **IA orientadas a grafos**, explorando orquestração avançada com o **Microsoft Semantic Kernel** e o **Semantic Kernel Graph**, onde aplica conceitos como execução stateful, checkpointing, roteamento condicional, paralelismo, streaming de eventos e observabilidade ponta a ponta. Também pesquisa e implementa **agentes autônomos e multiagente**, dotados de memória e objetivos próprios, capazes de coordenar ferramentas, iniciar ações e entregar resultados de forma inteligente e proativa.

Sua atuação inclui ainda o desenvolvimento de **memórias estruturadas de longo prazo**, por meio de knowledge graphs que conectam pessoas, processos, projetos e objetivos; e a aplicação de técnicas de **raciocínio causal e explicabilidade** (ReAct, Chain-of-Thought, Multi-Hop RAG) para que sistemas respondam não apenas “o quê”, mas também “por quê”.

Com sólida base em engenharia de software, domina **microsserviços, DDD, integração corporativa e segurança**, sempre com foco em qualidade, escalabilidade e confiabilidade — pilares que sustentam a construção de IAs realmente úteis para o negócio.

Além do trabalho técnico, é ativo na comunidade open source, compartilhando bibliotecas, exemplos e boas práticas no GitHub, NuGet e VS Marketplace. É **mantenedor do projeto Semantic Kernel Graph** e autor da documentação oficial publicada em [SKGraph.dev](https://skgraph.dev).

Em seus projetos, artigos e palestras, Kallebe convida profissionais e empresas a explorarem como **arquitetura e inteligência artificial** podem acelerar o roadmap digital, desde a automação inteligente até a criação de sistemas verdadeiramente autônomos.

Mais informações, projetos e artigos estão disponíveis em: [SKGraph.dev](https://skgraph.dev) | [MVP24Hours.dev](https://mvp24hours.dev)

Apêndice

A. Formalizações Matemáticas

1. Definição de Grafo:

$$G = (V, E), \quad V = \{v_1, v_2, \dots, v_n\}, \quad E \subseteq V \times V$$

Onde V é o conjunto de vértices (ou nós) e E é o conjunto de arestas (conexões direcionadas ou não).

2. Definição de Multigrafo:

$$G_{multi} = (V, E), \quad E \subseteq V \times V \times M$$

Um **multigrafo** permite múltiplas arestas entre o mesmo par de vértices. O conjunto M representa identificadores ou rótulos distintos para cada aresta paralela, ou seja, E pode conter pares repetidos (u, v) diferenciados por $m \in M$.

3. Definição de Grafo Ponderado:

$$G_{pond} = (V, E, w), \quad w : E \rightarrow \mathbb{R}$$

Um **grafo ponderado** associa a cada aresta $e \in E$ um peso real $w(e)$, representando custo, tempo, capacidade, etc.

4. Notação para Subgrafos:

$$H = (V_H, E_H) \subseteq G = (V, E), \quad V_H \subseteq V, \quad E_H \subseteq E \cap (V_H \times V_H)$$

Um **subgrafo** H de G é formado por subconjuntos de vértices e arestas do grafo original, preservando a incidência.

5. Definição de Chain (Pipeline Linear):

$$C_n = (V, E), \quad V = \{v_1, v_2, \dots, v_n\}, \quad E = \{(v_i, v_{i+1}) \mid 1 \leq i < n\}$$

6. Expressividade:

- Chains: apenas 1 caminho possível.
- Grafos direcionados simples: até $n(n-1)$ arestas possíveis.
- Multigrafos: número de arestas pode exceder $n(n-1)$ devido a múltiplas conexões entre pares de nós.

7. Tempo de Execução:

- Chains:

$$T_{chain} = \sum_{i=1}^n t_i$$

- Grafos:

$$T_{grafo} = \max_{p \in P} \sum_{v \in p} t_v$$

onde P é o conjunto de caminhos possíveis (caminho crítico).

- Grafos ponderados (tempo/custo por aresta):

$$T_{grafo,pond} = \max_{p \in P} \sum_{e \in p} w(e)$$

onde $w(e)$ é o peso (ex: tempo, custo) associado a cada aresta e no caminho p .

B. Leituras Recomendadas

- **Artigos recentes em IA Orquestrada por Grafos:**
 - Zhang, Y., et al. “Graph of Thoughts: Solving Elaborate Problems with Large Language Models.” arXiv:2310.01351 [cs.AI], 2023. <https://arxiv.org/abs/2310.01351>
 - Sun, Y., et al. “GraphRAG: Graph Retrieval-Augmented Generation for Large Language Models.” arXiv:2402.00832 [cs.CL], 2024. <https://arxiv.org/abs/2402.00832>
 - **Pesquisas em Graph Neural Networks (GNNs):**
 - Zhou, J., et al. “Graph Neural Networks: A Review of Methods and Applications.” AI Open, 2020. DOI: [10.1016/j.aiopen.2021.01.001](https://doi.org/10.1016/j.aiopen.2021.01.001)
 - Wu, Z., et al. “A Comprehensive Survey on Graph Neural Networks.” IEEE Transactions on Neural Networks and Learning Systems, 2021. DOI: [10.1109/TNNLS.2020.2978386](https://doi.org/10.1109/TNNLS.2020.2978386)
 - **Livros sobre Governança de IA:**
 - Leslie, D. “Understanding Artificial Intelligence Ethics and Safety: A Guide for the Responsible Design and Implementation of AI Systems in the Public Sector.” The Alan Turing Institute, 2019. DOI: [10.5281/zenodo.3240529](https://doi.org/10.5281/zenodo.3240529)
 - Mittelstadt, B., & Floridi, L. “The Ethics of Artificial Intelligence: Principles, Challenges and Opportunities.” In: The Oxford Handbook of Ethics of AI, 2020. DOI: [10.1093/oxfordhb/9780190067397.013.41](https://doi.org/10.1093/oxfordhb/9780190067397.013.41)
-

C. Provas Completas

1. **Inclusão Estrita** ($Chains \subsetneq DAGs$): Prova formal de que toda cadeia linear é um caso particular de DAG, mas nem todo DAG pode ser reduzido a uma cadeia. Diagramas de contraprova ilustram situações em que há múltiplos caminhos de saída a partir de um nó (ver Cap. 16).
 2. **Limite de Arestas em Digrafos Simples**: Demonstração de que, em um digrafo simples com n nós, o número máximo de arestas dirigidas sem laços é $|E| \leq n(n-1)$. Isso decorre do fato de que cada nó pode se conectar a todos os outros, exceto a si mesmo.
 3. **Caminho Crítico e Makespan**: Prova de que o tempo mínimo de execução (makespan) de um grafo é limitado inferiormente por $T \geq \max_{p \in P} \sum t_v$, onde P é o conjunto de todos os caminhos possíveis (caminho crítico). A resolução ótima pode ser obtida por programação dinâmica em DAGs.
-

D. Protocolo Experimental

1. Fixar tempos base dos nós: vetor t e custo de agregação t_{agg} .
 2. Variar latências com ruído controlado (seed fixa) e registrar makespan.
 3. Medir sucesso de fallback (plano alternativo) sob probabilidades definidas (seeds fixas).
 4. Reproduzir tabelas comparativas (Cap. 10) e exemplos (Cap. 6).
-

Posfácio

Chegamos ao fim desta jornada. Não apenas percorremos conceitos técnicos e provas formais, mas abrimos uma janela para enxergar o futuro da Inteligência Artificial sob uma nova lente: **a dos grafos**.

A história da tecnologia é marcada por mudanças de paradigma. No início, programávamos máquinas com códigos rígidos. Depois, aprendemos a criar arquiteturas modulares, distribuídas, escaláveis. Hoje, vivemos a era dos modelos de linguagem, que nos aproximam de sistemas cada vez mais inteligentes.

Mas o que sustenta a inteligência não é apenas o poder dos modelos, e sim **a forma como conectamos suas partes**. Assim como o cérebro humano não é apenas um conjunto de neurônios isolados, mas uma rede complexa de conexões, também a IA só se tornará realmente robusta quando organizada em **grafos dinâmicos e relacionais**.

Essa visão nos desafia a ir além do imediatismo das soluções rápidas. Ela nos convida a pensar em IA como algo que precisa ser **seguro, transparente, governável e humano em sua cognição**. Não basta que funcione: é preciso que inspire confiança, que se explique, que se adapte, que seja ética.

Ao longo deste livro, mostramos que os **grafos não são apenas uma escolha arquitetural**, mas uma **necessidade histórica** para que a Inteligência Artificial avance com solidez.

Seja você engenheiro, pesquisador, gestor ou leitor curioso, espero que estas páginas tenham despertado em você não apenas o entendimento técnico, mas também a visão de que **a IA pode e deve ser construída de forma mais próxima de nós — resiliente como nossas redes sociais, adaptativa como nossas relações, explicável como nossas escolhas**.

O futuro não será linear. Será relacional. Será orquestrado em grafos.

E talvez, ao olharmos para trás, possamos dizer que estivemos presentes no momento em que a Inteligência Artificial deixou os trilhos estreitos dos pipelines e encontrou o mapa infinito dos grafos.

Índice Remissivo

accountability, 139, 143
agregador, 142
AI Act, 139, 143
anonimização, 50
anti-padrão, 125

Benchmark A/B, 139, 143

caminho, 92, 139
caminho crítico, 6, 87, 92, 139
centralidade, 121, 140
chain, 4, 21, 54, 86
comparação, 54
complexidade ciclomática, 121, 140
compliance, 50
controle de acesso, 50

DAG, 5, 86, 140
DAG scheduling, 92
debugging, 140, 143
definição, 86, 92, 97
diamante, 125, 140
diâmetro, 121, 140

embedding, 139, 143
estados absorventes, 140
estrela de Kleene, 140, 143
explainability, 50, 140
explosão de estados, 21
expressividade, 86

fallback, 36
first-wins, 140, 143
fusão precoce, 41, 42
fusão tardia, 41, 42

governança, 50, 141
grafo, 54, 141
grau, 87, 141
guardrails, 50, 141

hardcoded, 143

inclusão estrita, 86

logging, 50

MAE, 143
makespan, 6
matriz de adjacência, 97
matriz de incidência, 97
modularidade, 21
ms, 143
multimodalidade, 41, 141

NIST AI RMF, 139, 143
nó, 142

ordem topológica, 5, 92, 142
overhead, 143

p50, 143
paralelismo, 87, 142
paralelismo OR, 142
particionamento, 142
pipeline linear, 4
PolicyGuard, 143

R2, 143
redundância de caminhos, 142
replicação especulativa, 142
resiliência, 36
RMSE, 143

speedup, 143

TCO, 143
topologia, 125
trilha, 92

álgebra de grafos, 97



A Inteligência Artificial vive um ponto de inflexão.

Pipelines lineares (chains), que marcaram a primeira onda de aplicações com modelos de linguagem, já não sustentam a complexidade de sistemas críticos.

Este livro apresenta, de forma didática e fundamentada, a tese de que os grafos são a arquitetura natural para a próxima geração de sistemas inteligentes.

Partindo da teoria de grafos e avançando para aplicações práticas em turismo, finanças e saúde, o autor mostra como estruturas em grafo oferecem:

- Modularidade e reutilização de componentes;
- Resiliência diante de falhas e recuperação parcial;
- Escalabilidade via execução paralela;
- Explicabilidade e auditoria em cada decisão;
- Integração multimodal (texto, voz, imagem e dados);
- Governança e conformidade regulatória;
- Base estrutural para agentes autônomos.

O resultado é um estudo profundo, com rigor acadêmico e linguagem acessível, que une matemática, ciência da computação e prática de engenharia.

Kallebe Lins é arquiteto de soluções em Inteligência Artificial, especialista em sistemas orquestrados com grafos e aplicações avançadas de modelos de linguagem. Autor de livros e obras de caráter didático, tem atuado no desenvolvimento de arquiteturas de IA robustas.